UNIVERSIDAD NACIONAL DE INGENIERÍA

FACULTAD DE CIENCAS



TESIS

"SEPARACIÓN SELECTIVA DE 99M0 EN MATRIZ DE QUITOSANO MODIFICADO CON GLUTARALDEHÍDO EN COLUMNA CROMATOGRÁFICA"

PARA OBTENER EL GRADO ACADÉMICO DE MAESTRO EN CIENCIAS EN QUÍMICA

ELABORADA POR:

ERIKA JULISA BARDALES ABANTO

ASESORA:

Dra. ANA CECILIA VALDERRAMA NEGRÓN

LIMA – PERÚ

2025

DEDICATORIA

A mi madre, María Abanto, por inculcarme la perseverancia y siempre decirme que puedo con todo, por ser mi cómplice, mi amiga y una maravillosa persona.

A mi pareja de toda la vida, Erick, por ser mi fortaleza en cada etapa que nos hemos propuesto y por apoyarme en las decisiones que tomo.

A mi hermano Gabriel, por ser mi motivación en la vida, por sorprenderme con sus ocurrencias y hacerme sonreír.

A Frank, por ser pieza fundamental en la familia y estar en cada etapa, siempre con un buen consejo y palabras de confianza.

A mi padre, Hermes Bardales, que estoy convencida que desde el cielo ha sabido guiarme y me ha cuidado mediante su luz espiritual.

AGRADECIMIENTOS

Mi gratitud eterna a las personas que me brindaron su apoyo a lo largo de esta gran travesía para el desarrollo de mi trabajo de tesis.

A mi asesora, la Dra. Ana Valderrama, de quien valoro la dedicación y motivación para orientarme en el desarrollo de mi tesis. Siempre ha estado presente en cualquier duda e inquietud que han surgido en este tiempo y a quien agradezco profundamente.

Agradecer al Msc. Victor Poma, por asesorarme en los conceptos de radiación y gestionar todo trámite necesario para el Instituto Peruano de Energía Nuclear, por convertirse en un amigo de quien estoy totalmente agradecida por su compromiso y dedicación en el proyecto.

Agradecer al personal de la Planta de Producción de Radioisótopos del Instituto Peruano de Energía Nuclear, especialmente a Tania Ñañez Champi, por suministrar las soluciones radiactivas para los ensayos y en el apoyo del control de calidad de las muestras.

Agradecer a Cynthia Cáceres, por su apoyo en las mediciones de difracción de Rayos X de las muestras analizadas en los laboratorios del Instituto Peruano de Energía Nuclear.

Agradecer al Laboratorio de Investigación en Biopolímeros y Metalofármacos (LIBIPMET) de la Universidad Nacional de Ingeniería, por permitirte realizar los ensayos necesarios para la finalización de mi tesis.

Agradecer a mis amistades y colaboradores que de alguna manera contribuyeron en las mediciones de caracterización de los materiales y por sus consejos para la culminación de esta tesis de posgrado, sus comentarios siempre redondearon la idea final de investigación.

Agradecer el apoyo financiero brindado por el gobierno peruano a través del financiamiento de PROCIENCIA con contrato N° PE501079985-2022-PROCIENCIA para el desarrollo de esta investigación.

ÍNDICE

ÍNDICE DE FIGURAS	VI
ÍNDICE DE TABLAS	IX
RESUMEN	XIII
ABSTRACT	XIV
CAPÍTULO I: INTRODUCCIÓN	1
1.1 INTRODUCCIÓN GENERAL	1
1.2 ESTADO DEL ARTE	2
1.3 PLANTEAMIENTO DEL PROBLEMA	7
1.4 JUSTIFICACIÓN DE LA INVESTIGACIÓN	8
1.4.1 Justificación Social	8
1.4.2 Justificación científica y técnica.	8
1.5 IDENTIFICACIÓN DEL APORTE CIENTIFICO	9
1.6 HIPÓTESIS	9
1.7 OBJETIVOS	10
1.7.1 OBJETIVO GENERAL	10
1.7.2 OBJETIVOS ESPECÍFICOS	10
CAPÍTULO II: FUNDAMENTO TEÓRICO	11
2.1 Quitosano	11
2.1.1. Propiedades Fisicoquímicas	11
2.1.2. Quitosano y glutaraldehído	12
2.2 Reacciones involucradas	13
2.2.1 Reacciones involucradas en la síntesis de los polímeros	13
2.2.2 Reacciones involucradas en la adsorción de ⁹⁹ Mo	14
2.3. Molibdeno-99 (⁹⁹ Mo)	15
2.4. Tecnecio-99m (^{99m} Tc)	15
2.4.1. Técnicas de Separación de ^{99m} Tc	16
2.5. Desintegración beta	19
CAPÍTULO III: PARTE EXPERIMENTAL	21
3.1. Materiales	
3.2. Metodología	23
3.2.1. Síntesis del polímero de quitosano modificado	24
3.3. Caracterización del quitosano y polímeros modificados	27
3.3.1. Determinación del grado de desacetilación por análisis del espectro infrarrojo (FT-IR)	27
3.3.2. Determinación del grado de desacetilación por titulación conductimétrica	28
3.3.3. Determinación del peso molecular por el método de viscosimetría	29
3.3.4. Caracterización por Espectroscopía infrarroja (FT-IR)	30
3.3.5. Caracterización por difracción de rayos X (DRX)	31
3.3.6. Caracterización por análisis termogravimétrico (TGA)	31
3.3.7. Caracterización por Microscopía electrónica de Barrido (MEB)	
3.3.8. Caracterización por Resonancia Magnética Nuclear de fase sólida (ss-RMN)	32
3.3.9. Caracterización por Espectroscopia FT- Raman	

3.3.10. Grado de entrecruzamiento de los polímeros	33
3.3.11. Determinación del punto de carga cero	34
3.4. Factores que influyen en el proceso de adsorción de ⁹⁹ Mo	34
3.4.1. Estudio del efecto de pH en el proceso de adsorción de ⁹⁹ Mo	37
3.4.2. Efecto de la variación de masa del polímero adsorbente sobre ⁹⁹ Mo	37
3.5. Estudio de la cinética de adsorción	37
3.6. Estudio de la isoterma de adsorción	38
3.7. Evaluación de la adsorción de ⁹⁹ Mo por columna cromatográfica	40
3.7.1. Optimización para el ensamblado de la columna cromatográfica	40
3.7.2. Ensamblado de columna cromatográfica	40
3.7.3. Determinación del porcentaje de adsorción de ⁹⁹ Mo	41
3.7.4. Determinación del rendimiento de elución del ^{99m} Tc	41
3.7.5. Control de calidad del Na ^{99m} TcO ₄ final	42
CAPÍTULO IV: DISCUSIONES DE RESULTADOS	43
4.1. Síntesis del polímero de quitosano entrecruzado	43
4.2. Caracterización de los polímeros	44
4.2.1. Determinación del grado de desacetilación por análisis FT-IR	44
4.2.2. Determinación del grado de desacetilación por titulación conductimétrica	46
4.2.3. Determinación del peso molecular por el método de viscosimetría	48
4.2.4. Espectro infrarrojo FT-IR	50
4.2.5. Caracterización por Difracción de rayos x (DRX)	54
4.2.6. Análisis termogravimétrico (TGA)	57
4.2.7. Microscopía electrónica de barrido (MEB)	61
4.2.8. Resonancia Magnética Nuclear de fase sólida (ssRMN)	
4.2.9. Espectroscopía FT-Raman	66
4.2.10 Determinación del grado de entrecruzamiento (G.E)	68
4.2.11 Análisis de punto de carga cero (pH _{PZC}).	68
4.3. Factores que influyen en el proceso de adsorción de ⁹⁹ Mo	69
4.3.1. Estudio del tiempo de contacto y cinética de adsorción	70
4.3.2. Estudio del efecto de pH en el proceso de adsorción de ⁹⁹ Mo	73
4.3.3. Estudio del efecto de la variación de masa del polímero adsorbente sobre ⁹⁹ Mo	74
4.4. Estudio de la isoterma de adsorción	75
4.5. Estudios de la columna cromatográfica	76
4.5.1. Optimización para el ensamblado de la columna cromatográfica	76
4.5.2. Método del ensamblado de la columna cromatográfica	77
4.5.3. Adsorción de ⁹⁹ Mo y desorción de ^{99m} Tc	78
CONCLUSIONES	82
RECOMENDACIONES	83
BIBLIOGRAFÍA	84
ANEXOS	93

ÍNDICE DE FIGURAS

Figura 1	Estructura química del quitosano	11		
Figura 2	Esquema del comportamiento del quitosano variando el pH			
Figura 3	Estructura química del glutaraldehído			
Figura 4	Reacciones involucradas en la síntesis de polímeros derivados de quitosano	13		
_	Interacción del quitosano entrecruzado con glutaraldehído y la especie de			
Figura 5	$^{99}\text{MoO}_4$ -2	14		
Figura 6	Producción de 99 Mo mediante activación neutrónica de 98 Mo	15		
Figura 7	Esquema de producción de 99m Tc a partir de la desintegración $\beta-$ del 99 Mo	16		
Figura 8	Esquema de producción de 99mTc por extracción con solvente MEK	17		
Figura 9	Esquema de producción de 99mTc mediante el generador 99Mo/99mTc	18		
Figura 10	Proceso general de elución del 99mTcO4 en la columna cromatográfica	19		
Figura 11	Esquema de decaimiento/crecimiento en el sistema del generador de $^{99}\text{Mo}/^{99\text{m}}\text{Tc}$	20		
Figura 12	Diagrama del proceso de síntesis de los polímeros de quitosano	25		
Figura 13	Polímeros sintetizados de QPCG y QCG	26		
Figura 14	Equipo de baño termostático empleado en el método viscosimétrico	30		
Figura 15	Espectro típico de ⁹⁹ Mo y ^{99m} Tc obtenido en el detector Canberra de	35		
	Germanio Hiperpuro			
Figura 16	Sistema de columna cromatográfica empleando la matriz de quitosano	40		
	con glutaraldehído			
Figura 17	Espectro infrarrojo de la película de QPC al 0,1 % con las líneas base de	44		
	Baxter			
Figura 18	Espectro infrarrojo de la película de QC al 0,1 % con las líneas base de	45		
	Baxter			
Figura 19	Valoración conductimétrica para QPC con NaOH	46		
Figura 20	Valoración conductimétrica para QC con NaOH	46		
Figura 21	Esquema de neutralización del quitosano por NaOH durante la titulación	47		
Figura 22	Curvas de viscosidad vs concentración para determinar el peso	48		
	molecular de QPC			
Figura 23	Curvas de viscosidad vs concentración para determinar el peso molecular	49		
	de QC			
Figura 24	Comparación de los espectros FT-IR de QPC y QC	51		
Figura 25	Comparación de los espectros FT-IR de QPC y QPCG-2	52		
Figura 26	Comparación de los espectros FT-IR de QC y QCG-2	52		
Figura 27	Comparación de los espectros FT-IT de los seis polímeros sintetizados	53		

Figura 28	Comparación de los patrones DRX de QPC y QC				
Figura 29	Comparación de los patrones DRX de los seis polímeros sintetizados				
Figura 30	Comparación de los patrones DRX antes y después del entrecruzamiento con glutaraldehído				
Figura 31	Curvas TGA y DTG para QPC				
Figura 32	Curvas TGA y DTG para QC				
Figura 33	Comparación de los termogramas antes y después del entrecruzamiento con glutaraldehído				
Figura 34	Curvas TGA y DTG para los polímeros entrecruzados derivados de QPCG				
Figura 35	Curvas TGA y DTG para los polímeros entrecruzados derivados de QCG	60			
Figura 36	Micrografías MEB de QPC y derivados	63			
Figura 37	Micrografías MEB de QC y derivados	64			
Figura 38	Análisis MEB-EDS de QPCG-2 y QCG-3 con adsorción de Molibdeno a pH 2	65			
Figura 39	Espectros RMN-13C de los polímeros antes y después del entrecruzamiento	66			
Figura 40	Espectros FT-Raman de los quitosanos antes y después del entrecruzamiento				
Figura 41	Curvas de pH _{PZC} para los seis polímeros sintetizados 6				
Figura 42	Tipo de vial empleado en la cuantificación de actividad de ⁹⁹ Mo en el	70			
Figura 43	detector Canberra de Germanio Hiperpuro Modelo cinético de pseudo primer orden para QPCG-1, QPCG-2 y QPCG-3	71			
Figura 44	Modelo cinético de pseudo segundo orden para QPCG-1, QPCG-2 y QPCG-3	71			
Figura 45	Modelo cinético de pseudo primer orden para QCG-1, QCG-2 y QCG-3	72			
Figura 46	Modelo cinético de pseudo segundo orden para QCG-1, QCG-2 y QCG-3	72			
Figura 47	Influencia del pH en la adsorción del ion ⁹⁹ MoO ₄ - ²	74			
Figura 48	Influencia de la masa – volumen para los polímeros entrecruzados				
Figura 49	Optimización de la columna cromatográfica 7				
Figura B.1	Isotermas obtenidas para los seis polímeros sintetizados 10				
Figura B.2	Parámetros evaluados para el control de calidad de los eluatos de Na ^{99m} TcO ₄				
Figura B.3	Informe de análisis del Na ^{99m} TcO ₄ en la elección del método de ensamblado	102			
Figura B.4	Informe de análisis del Na99mTcO4 en la matriz polimérica	103			
Figura B.5	Informe de análisis del Na ^{99m} TcO ₄ en la columna de alúmina ácida				
Figura B.6	Informe de análisis del Na ^{99m} TcO ₄ con mayor radiactividad				

Figura B.7	Artículo publicado en la revista Results in Chemistry	106
Figura B.8	Presentación de poster en el Congreso SILAE realizado en Octubre del 2023	107
Figura B.9	Presentación oral en el Congreso Internacional de Energía Nuclear (CIEN) realizado en Enero del 2025.	108
Figura B.10	Presentación de poster en el International Atomic Energy Agency (IAEA) realizado en Polonia en Setiembre del 2024, como parte de la difusión de investigación en el IPEN	109

ÍNDICE DE TABLAS

Tabla 1	Materiales adsorbentes empleados para la producción de 99mTc	6		
Tabla 2	Reactivos y materiales involucrados en la investigación			
Tabla 3	Equipos involucrados en la investigación			
Tabla 4	Fórmulas implicadas en el cálculo de la viscosidad intrínseca			
Tabla 5	Cantidades de quitosano para la síntesis de polímeros entrecruzados	43		
Tabla 6	Datos de cálculo para la determinación del grado de desacetilación	45		
	para QPC y QC mediante FT-IR			
Tabla 7	Datos para la determinación del grado de desacetilación de QPC	47		
Tabla 8	Datos para la determinación del grado de desacetilación de QC	47		
Tabla 9	Valores implicados en la determinación de la viscosidad intrínseca para	49		
	QPC			
Tabla 10	Fórmulas implicadas en la determinación de la viscosidad intrínseca	50		
	para QC			
Tabla 11	Resumen de los picos de absorción en FT-IR para QPC y QC	51		
Tabla 12	Porcentajes de cristalinidad calculados para QPC y QC	54		
Tabla 13	Porcentajes de cristalinidad calculados para los polímeros sintetizados	57		
Tabla 14	Resumen de los porcentajes de pérdida de peso en los polímeros	61		
	analizados por TGA			
Tabla 15	Grado de entrecruzamiento de los quitosanos entrecruzados con	68		
	glutaraldehído			
Tabla 16	Resultados de pH _{PZC} para los polímeros de QPC y QC	69		
Tabla 17	Datos de pseudo primer orden y pseudo segundo orden para QPCG y			
	QCG			
Tabla 18	Resumen de los valores obtenidos en los modelos de isotermas	76		
Tabla 19	Resultados del análisis del eluato de 99mTc obtenido por el método seco	77		
	con alúmina			
Tabla 20	Resultados del análisis del eluato de 99mTc obtenido por el	78		
	método húmedo con alúmina			
Tabla 21	Resultados del análisis del eluato de 99mTc obtenido por el	78		
	método húmedo sin alúmina			
Tabla 22	Porcentaje de adsorción de ⁹⁹ Mo	79		
Tabla 23	Rendimiento de elución del 99mTc en la columna cromatográfica	79		
Tabla 24	Resultados del análisis del 99mTc eluído de la matriz polimérica	80		
Tabla 25	Resultados del análisis del 99mTc eluído de la matriz polimérica y	80		
	pasado por alúmina ácida			

Tabla 26	Resultados del análisis del ^{99m} Tc eluído de la matriz polimérica con mayor		
	radiactividad		
Tabla A.1	Datos implicados en la optimización de la columna cromatográfica	93	
Tabla A.2	Datos implicados en el estudio de tiempo de contacto y cinética de	94	
	adsorción de QPCG		
Tabla A.3	Datos implicados en el estudio de tiempo de contacto y cinética de	95	
	adsorción de QCG		
Tabla A.4	Datos implicados en el estudio del efecto de pH de QPCG	96	
Tabla A.5	Datos implicados en el estudio del efecto de pH de QCG	97	
Tabla A.6	Datos implicados en el estudio de la variación de masa de QPCG	98	
Tabla A.7	Datos implicados en el estudio de la variación de masa de QCG	98	
Tabla A.8	Cálculo para determinar la actividad en el día de experimento a partir de	99	
	la actividad calculada en el equipo Gamma a 185 mm		
Tabla A.9	Cálculo para determinar la adsorción de 99MoO4-2 en el día del	99	
	experimento		

ABREVIATURAS

A₀ Actividad

BET Análisis de Brunauer, Emmett, Teller

C.A Concentración de actividad

DD Grado de desacetilación

DRX Difracción de rayos X

FT-IR Espectroscopía infrarroja con transformada de Fourier FT-Raman Espectroscopía Raman con transformada de Fourier

G.E Grado de entrecruzamiento

HAc Ácido acético

IAEA Agencia Internacional de Energía Atómica

IPEN Instituto Peruano de Energía Nuclear

IQUIMEFA Instituto de Química y Metabolismo del Fármaco

K_d Coeficiente de distribución

keV Kilo-electronvoltios

LABICER Laboratorio de investigación y certificaciones

LIBIPMET Laboratorio de Investigación en Biopolímeros y Metalofármacos

MA Alúmina mesoporosa

MEB Microscopia electrónica de barrido

MEB-EDS Microscopia electrónica de barrido acoplado a energía dispersiva de rayos X

MEK Metiletilcetona MoO₄⁻² Ion molibdato ⁹⁹Mo Molibdeno-99

⁹⁹Mo (n,y) Molibdeno-99 obtenido por activación neutrónica

NaAc Acetato de sodio

NaCA Laboratory of Nanomaterials and Advanced Ceramics

QC Quitosano comercial

QPC Quitosano de pluma de *Dosidicus gigas* (calamar)

QCG-1 Quitosano comercial entrecruzado con glutaraldehído 50 %
QCG-2 Quitosano comercial entrecruzado con glutaraldehído 40 %
QCG-3 Quitosano comercial entrecruzado con glutaraldehído 25 %

QPCG-1 Quitosano de pluma de *Dosidicus gigas* entrecruzado con glutaraldehído 50 % QPCG-2 Quitosano de pluma de *Dosidicus gigas* entrecruzado con glutaraldehído 40 % QPCG-3 Quitosano de pluma de *Dosidicus gigas* entrecruzado con glutaraldehído 25 %

PPRR Planta de Producción de Radioisótopos

PZC Punto de carga cero

RAC Concentración radiactiva

R_L Factor de separación

SPECT Tomografía computarizada por emisión de fotón único

ss-RMN Resonancia Magnética Nuclear de fase sólida

TcO₄⁻ Ion pertecnetato

99mTc Tecnecio-99 metaestable

TEAN Laboratorio de Técnicas Analíticas Nucleares

TGA Análisis termogravimétrico

U-235 Uranio-235

X_c Porcentaje de cristalinidad

XPS Espectroscopia fotoelectrónica de rayos X

RESUMEN

En esta investigación, se sintetizó quitosano a partir de pluma de calamar (Dosidicus gigas) (QPC) entrecruzados con soluciones de glutaraldehído a las concentraciones de 50, 40 y 25 % con la finalidad de optimizar la adsorción de ⁹⁹Mo y obtener un material adsorbente para su aplicación en la columna cromatográfica del generador de ⁹⁹Mo/^{99m}Tc. Se realizó la misma metodología de entrecruzamiento a partir de quitosano comercial Sigma-Aldrich (QC) como control. Se determinó un grado de desacetilación de 74,15 % para OPC y 77,65 % para OC. También se determinó el peso molecular que resultó ser de 990,72 kDa para QPC y 722,72 kDa para QC. La caracterización de los polímeros sintetizados se realizó por FT-IR donde se evidenció la reacciones de Schiff por la banda de 1639 cm⁻¹. Los resultados TGA exhibieron una estabilidad térmica de hasta ≈ 300 °C para QPC y QC, mientras que los polímeros entrecruzados presentaron una T_{max} de descomposición de 282 °C. Los resultados de DRX mostraron la disminución del índice de cristalinidad después del entrecruzamiento de 53,94 % a 37,58 % para QPC y de 57,87 % a 45,50 % para QC. Los resultados MEB y EDS evidenciaron la presencia del ⁹⁹Mo adsorbido sobre la superficie de los polímeros. Los espectros FT-Raman evidenciaron el entrecruzamiento mediante bases de Schiff. El análisis de pH_{PZC} confirmó la carga positiva de los polímeros entrecruzados favoreciendo la mayor capacidad de adsorción del anión ⁹⁹MoO₄-² a valores de pH bajos entre 2 a 4. Además, se determinó el grado de entrecruzamiento para los polímeros los cuales están alrededor del 80 %. También se evaluaron los factores que influyen en el proceso de adsorción del ⁹⁹MoO₄-2, tales como el tiempo de equilibrio, masa del adsorbente y efecto de pH. Con respecto a la cinética de adsorción el modelo que mejor se ajusta es el de pseudo segundo orden. En relación con las isotermas de adsorción exhiben valores máximos del ⁹⁹MoO₄-² de 482 mg g⁻¹ para QPCG-2 y 502 mg g⁻¹ para QCG-3 con un mejor ajuste al modelo teórico de Langmuir. La capacidad de adsorción del ⁹⁹MoO₄-² fue de 73,04 % para QPCG-2 y 80,58 % para QCG-3 con valores de desorción de ^{99m}TcO₄-2 superiores al 80 % (n=5).

Palabras clave: quitosano, glutaraldehído, adsorbente, generador ⁹⁹Mo/^{99m}Tc.

ABSTRACT

In this research, squid feather (*Dosidicus gigas*) chitosan polymers (QPC) were been synthesized cross-linked with glutaraldehyde solutions at concentrations of 50, 40 and 25% with the aim of optimizing the adsorption of ^{99}Mo and obtaining an adsorbent material for application in the chromatographic column the ⁹⁹Mo/^{99m}Tc generator. The same cross-linking methodology was performed using Sigma-Aldrich commercial chitosan (QC) as a control. A degree of deacetylation of 74.15 for QPC and 77.65% for QC was determined. The molecular weight was also determined, which turned out to be 990.72 kDa for QPC and 722.72 kDa for QC. The characterization of the synthesized polymers was carried out by FT-IR where the Schiff reactions were evidenced by the 1639 cm⁻¹ band. The TGA results exhibit a thermal stability of up to ≈ 300 °C for QPC and QC, while the cross-linked polymers presented a decomposition T_{max} of 282 °C. The XRD results showed the decrease of crystallinity index after cross-linking from 53.94% to 37.58% for QPC and from 57.87% to 45.50% for QC. The SEM and EDS results evidenced the presence of 99Mo adsorbed on the surface of the polymers. The FT-Raman spectra showed cross-linking through Schiff bases. The pH_{PZC} analysis confirms the positive charge of the cross-linked polymers, favoring the greater adsorption capacity of ⁹⁹MoO₄-² anion at low pH values between 2 to 4. In addition, the degree of cross-linking has been determined for the polymers, which are around 80 %. The factors that influence the adsorption process of ⁹⁹MoO₄⁻² were also evaluated, such as equilibrium time, adsorbent mass and pH effect. Regarding the adsorption kinetics, the model that best fits is the pseudo second order one. About the adsorption isotherms, they exhibit maximum values of ⁹⁹MoO₄-² of 482 mg g⁻¹ for OPCG-2 and 502 mg g⁻¹ for OCG-3 with a better fit to the Langmuir theoretical model. The adsorption capacity of 99MoO₄-2 was 73.04 % for OPCG-2 and 80.58 % for OCG-3 with desorption values of 99mTcO₄-2 higher than 80 % (n=5).

Keywords: chitosan, glutaraldehyde, adsorbent, 99Mo/99mTc generator.

CAPÍTULO I: INTRODUCCIÓN

1.1 INTRODUCCIÓN GENERAL

El ^{99m}Tc es el radioisótopo más utilizado en el diagnóstico de cáncer por imágenes en SPECT (Marlina et al., 2020); considerado como el radionucleido hijo del ⁹⁹Mo el cual presenta un tiempo de vida media de 66,7 h y emite rayos gamma de energías entre 739 a 780 keV. La alta energía de los rayos gamma emitidos provoca una dosis de radiación perjudicial para los pacientes en la toma de muestras, además de alteraciones en las imágenes que conlleva a un diagnóstico erróneo (Sarkodie, 2020). Por otro lado, el ^{99m}Tc presenta un tiempo de vida media de 6 h con rayos gamma puros de 140 keV, apropiados para ser fotografiados mediante SPECT, de ahí su importancia en la medicina nuclear (Saptiama et al., 2016). El ^{99m}Tc se obtiene de un generador de ⁹⁹Mo/^{99m}Tc basado en la cromatografía en columna, donde el radioisótopo es obtenido en el eluído en forma de pertecnetato de sodio (Na^{99m}TcO₄) mediante la desintegración beta (β⁻) del ⁹⁹Mo (Pimlott & Sutherland, 2011). La eficiencia en el proceso de elución y la calidad del ^{99m}Tc están determinadas por el uso del polímero adsorbente en la cromatografía en columna basado en quitosano de pluma de *Dosidicus gigas* entrecruzado con glutaraldehído, para contribuir con la detección de cáncer mediante imágenes SPECT en los diversos hospitales y centros de salud de todas las zonas del país (Chakravarty et al., 2019).

1.2 ESTADO DEL ARTE

Los radiofármacos son ampliamente utilizados en la medicina nuclear para la detección del cáncer mediante diagnóstico por imágenes de SPECT (Barca et al., 2022). El $^{99\text{m}}$ Tc es el radioisótopo de mayor importancia para la producción de radiofármacos considerado como el radionucleido hijo del 99 Mo obtenido mediante la desintegración β^- , con una eficiencia del 87,5 % (Marlina et al., 2020). Existen pocas formas de obtener $^{99\text{m}}$ Tc. En el Perú, se obtiene a partir de 99 Mo en grandes reactores nucleares de 10 MW de potencia mediante activación neutrónica en el IPEN y como medida de descentralizar la producción para proveer del radioisótopo a cualquier hora y lugar se están implementando generadores portátiles de 99 Mo/ $^{99\text{m}}$ Tc.

El generador de ⁹⁹Mo/^{99m}Tc se basa en la cromatografía en columna con un material adsorbente como alúmina, donde el ion ⁹⁹MoO₄-² (molibdato) y el agente adsorbente conforman la columna, mientras que el ^{99m}Tc se obtiene en el eluído como producto final luego de ~23 h (Marlina et al., 2020) utilizando una solución salina (NaCl 0,9 %) como eluyente (Hasan & Prelas, 2020). Sin embargo, la capacidad de adsorción de ⁹⁹Mo de alta actividad específica es de solo 20 mg g⁻¹ de alúmina en la columna cromatográfica, haciendo limitada su aplicación para ⁹⁹Mo (n,γ) de baja actividad específica obtenido por activación neutrónica.

Para mejorar la eficiencia del generador, el principal desafío radica en desarrollar materiales con alta capacidad de adsorción de ⁹⁹Mo (n,γ) de baja actividad específica (Chakravarty et al., 2019). Munir et al. (2020) han investigado la capacidad de adsorción de la alúmina mesoporosa (MA) obtenida de residuos de papel de aluminio la cual otorga una capacidad de adsorción de ⁹⁹Mo (n,γ) de 60,2 ± 1,5 mg g⁻¹ de MA con área superficial específica de 209,8 m² g⁻¹ y rendimiento de elución de ^{99m}Tc mayor al 98 % a pH de 5,5 siendo un método sencillo, ecológico y de alto rendimiento en la elución del ^{99m}Tc (Munir et al., 2020). La capacidad de adsorción de un material está influenciada por la estructura cristalina y área superficial específica (Suzuki et al., 2018). Se han investigado nanopartículas de alúmina (2 a 4 nm) como material adsorbente de ⁹⁹Mo (n,γ) para el generador de ⁹⁹Mo/^{99m}Tc, el material mesoporoso otorga una alta capacidad de adsorción de 230 mg g⁻¹ de alúmina con un rendimiento de elución del 80 % hasta dos semanas; además, la máxima adsorción del ⁹⁹Mo se dio a pH de 3,0 debido a la carga positiva que

adquiere la alúmina mesoporosa y que se atrae electrostáticamente con el ion cargado negativamente ⁹⁹MoO₄-² (Chakravarty et al., 2019).

Para conocer la capacidad de adsorción de ⁹⁹Mo (n,y) de diversos materiales, existen estudios con zirconio, donde los investigadores han evaluado la capacidad adsorbente de nanozirconio monoclínico, nanozirconio ortorrómbico, zirconio sulfatado y zirconio fosfatado los cuales han sido sintetizados por el método sol-gel y para determinar la capacidad de adsorción de 99Mo en la columna cromatográfica, los materiales de zirconio están en contacto con la solución de Na₂⁹⁹MoO₄ variando las condiciones de pH y temperatura. Los resultados exhiben que las capacidades de adsorción de ⁹⁹Mo son 76,9 mg g⁻¹; 150,1 mg g⁻¹; 15,58 mg g⁻¹ y 12,74 mg g⁻¹ respectivamente. El material de nanozirconio ortorrómbico exhibe la mayor capacidad de adsorción de 150,1 mg g⁻¹ a 90 °C a pH 3 y puede ser un buen candidato para el generador de ⁹⁹Mo/^{99m}Tc (Marlina et al., 2020). También, se ha estudiado acerca de la estructura metal orgánica (MOF, de las siglas en inglés, metal organic framework) de zirconio, conocida como UiO-66 otorgando una máxima capacidad de adsorción de ⁹⁹Mo (n,y) de 335 mg g⁻¹ a pH 3. El ^{99m}Tc eluído presenta una eficiencia de 60 a 70% durante seis días consecutivos, manteniendo ⁹⁹Mo por encima de los valores permitidos para su empleo en el generador (Ma & et al., 2022).

Por otra parte, los polímeros son considerados materiales con alta capacidad de adsorción. El quitosano es un biopolímero con gran capacidad adsorbente de metales (Begum et al., 2021), biodegradable (Priyadarshi & Rhim, 2020), biocompatible (Baharlouei & Rahman, 2022) y no tóxico (Abhinaya et al., 2021). El quitosano es insoluble en agua y solventes orgánicos pero es soluble en solución ácida; ya que, los grupos -NH2 presentan un pKa de 6,5 que en medio ácido se cargan positivamente (Martínez-Mejía et al., 2019) y tiende a formar un gel que limita su aplicación en la columna de adsorción del generador de ⁹⁹Mo/^{99m}Tc; sin embargo, muchas investigaciones informaron que la modificación química y física en la estructura molecular del quitosano mejora la resistencia frente a medios ácidos o básicos; tal como la modificación química por adición de agentes reticulantes. El entrecruzamiento de quitosano con glutaraldehído permite mejorar la estabilidad y resistencia mecánica en un amplio rango de pH (Galan et al., 2021). Debido al medio ácido, los grupos -NH2 del quitosano son protonados a -NH3+ favoreciendo la interacción electrostática con aniones.

Poon et al. (2014) han investigado el comportamiento del quitosano y glutaraldehído en solución de ácido acético (pH=3.3–3.9) y su capacidad de adsorción en tres soluciones con concentraciones fijas de p-nitrofenol a pH variable (4,6; 6,6 y 9,0). El análisis de potencial zeta del polímero de quitosano y glutaraldehído en medio ácido exhibe un punto isoeléctrico a pH 9,5; con ello se deduce que la carga superficial para las condiciones de trabajo a pH 4,6; 6,6 y 9,0 es positiva. También, el pKa informado del colorante de p-nitrofenol es 7,15; entonces a pH 4,6; existe su forma protonada, mientras que a pH 6,6 casi el 58% está protonada y lo restante está en forma neutra (por ser un pH cercano al pka) y a pH 9,0 predomina la forma aniónica del p-nitrofenol. Los estudios determinaron que la mayor capacidad de adsorción del anión fenolato se da a pH 9,0 mediante la interacción electrostática con los grupos NH₃⁺ del polímero reticulado en medio ácido (Poon et al., 2014).

Galan et al. (2021) han estudiado el polímero entrecruzado a base de perlas de quitosano y glutaraldehído en medio ácido para evaluar su capacidad de adsorción sobre el colorante RB4 (Reactive Blue 4). A pH 2, los grupos -NH₂ del quitosano se protonan, mientras que los grupos SO₃-2 del colorante se cargan negativamente favoreciendo la adsorción mediante la interacción electrostática; además mencionan que la adsorción se favorece a mayor cantidad del polímero debido al aumento de los sitios de adsorción en la superficie; sin embargo, cuando se incrementa la cantidad del colorante existe una saturación producto de la repulsión electrostática entre los grupos funcionales de la propia molécula provocando una baja adsorción de colorante (Galan et al., 2021).

También, Schio et al. (2022) han sintetizado quitosano (CS) a partir de camarones rosados (*Penaeus brasiliensis*) y lo ha entrecruzado con glutaraldehído (GLUT) o epiclorhidrina (EPIC) en medio ácido con una matriz polimérica de *Luffa cylindrica* (LC) para la inmovilización/soporte del quitosano reticulado y ha evaluado la capacidad de adsorción sobre el colorante FR17 (Food red 17) en un pH de trabajo de 2 a 5, determinando que el pH 2 favorece la remoción del colorante. El LC/CS/GLUT y el LC/CS/EPIC presentaron una adsorción eficiente del colorante FR17 de 77,66 mg g⁻¹ y 43,01 mg g⁻¹ de adsorbente, respectivamente, a pH 2, esto se debe a que los grupos amino del quitosano se protonan fácilmente a pH menor a su pH_{pzc}, la superficie del adsorbente está cargada positivamente e interactúan con especies negativas, logrando evidenciar la interacción electrostática (Schio et al., 2022). Por lo tanto, la interacción electrostática

que se logra entre especies negativas y los grupos amino protonados (NH₃⁺) del polímero de quitosano entrecruzado con glutaraldehído en medio ácido es aprovechado en la adsorción de ⁹⁹Mo que se encuentra en forma de MoO₄⁻² en el generador portátil basado en columna cromatográfica.

Hasan (2019) ha sintetizado quitosano entrecruzado con glutaraldehído (MPCM) en medio ácido a 70 °C. El MPCM resulta ser un cristal amorfo con área superficial de 25 m² g⁻¹, volumen de poro de 0,012 cm³ g⁻¹, punto de carga cero (PZC) de 8,8 con mayor resistencia a los ácidos y fuerza mecánica que el material sin modificación hasta la temperatura de 100°C. Presenta una capacidad de adsorción de ⁹⁹Mo de 700 mg g⁻¹ de adsorbente, con un rendimiento de ^{99m}Tc superior al 80%, siendo un material adecuado para su aplicación en el generador de ⁹⁹Mo/^{99m}Tc (Shameen Hasan, 2019). Además, se debe tener en cuenta que la separación y purificación de los radioisótopos en el generador de ⁹⁹Mo/^{99m}Tc es fundamental para el uso radiofarmacéutico e invección al paciente, el límite estándar de ⁹⁹Mo en el eluato debe ser inferior a 0,15 µCi ⁹⁹Mo por mCi ^{99m}Tc según la Farmacopea de Estados Unidos (Suzuki et al., 2018). De manera similar, Chattopadhyay et al. (2017) han analizado el polímero de quitosano comercial entrecruzado con glutaraldehído (CCM) en una columna cromatográfica obteniendo soluciones transparentes de Na^{99m}TcO₄ de pH 5-6 y pureza radioquímica de 99 %. La eficiencia de elución de ^{99m}Tc en la forma oxidada y no oxidada del polímero CCM es alrededor del 75 % y 40 %, respectivamente, con mínimas trazas inferiores a 10 µg mL⁻¹ de Al y Mo. El polímero de quitosano reticulado con glutaraldehído presenta una alta capacidad de adsorción de ⁹⁹Mo de ~500-600 mg g⁻¹ de CCM y puede utilizarse para preparar un generador de ⁹⁹Mo/^{99m}Tc utilizando ⁹⁹Mo de baja actividad específica. El entrecruzamiento con glutaraldehído mejora las propiedades del quitosano; ya que, la modificación química aumenta la accesibilidad de los sitios de unión del polímero CCM y ⁹⁹Mo (n,y) mejorando la calidad física, como la resistencia a los ácidos y la radiación (Chattopadhyay et al., 2017).

Las actuales investigaciones se centran en el desarrollo de materiales con alta capacidad de adsorción a base de quitosano en medio ácido y modificados químicamente con glutaraldehído para mejorar las propiedades físicas y químicas para su posterior aplicación en la adsorción de ⁹⁹Mo de baja actividad específica en el generador de ⁹⁹Mo/^{99m}Tc con la finalidad de obtener como eluato ^{99m}Tc, además el radiofármaco debe

cumplir con los estándares de pureza radioquímica y esterilidad para su uso en detección de cáncer.

La tabla 1 muestra algunos materiales adsorbentes aplicados en la cromatografía en columna del generador de 99 Mo/ 99m Tc reportados en la literatura.

Tabla 1 *Materiales adsorbentes empleados para la producción de* ^{99m}*Tc.*

Material	Capacidad de	Rendimiento	Tiempo de	Referencias
adsorbente	adsorción de	de Elución de	elución	
	⁹⁹ Mo (mg g ⁻¹)	^{99m} Tc (%)		
Alúmina	60,2	98	3 días	(Munir et al., 2020)
mesoporosa				
Alúmina en	230	80	2 semanas	(Chakravarty et al.,
nanopartículas				2019)
Nanozirconio	150,1	-	-	(Marlina et al., 2020)
ortorrómbico				
UiO-66	335	60-70	6 días	(Ma et al., 2022)
CCM oxidado	~500–600	75	-	(Chattopadhyay et
				al., 2017)
MPCM	700	80	-	(Shameen Hasan,
				2019)
QPCG-2	482,3	83	5 días	Esta investigación

1.3 PLANTEAMIENTO DEL PROBLEMA

El ⁹⁹Mo es generado en nuestro país por el Instituto Peruano de Energía Nuclear (IPEN) mediante activación neutrónica de ⁹⁸MoO₃ en grandes reactores nucleares de 10 MW de potencia; produciendo ⁹⁹Mo de baja actividad específica que mediante su desintegración β^- produce ^{99m}Tc (Gilmore, 2008). Debido a la importancia del ^{99m}Tc en la detección de cáncer (Vallejos-Sologuren et al., 2020) se debe realizar la separación radioquímica del ^{99m}Tc y ⁹⁹Mo, para ello se utiliza el método de extracción por solvente empleando metiletilectona (MEK) seguido de una columna de alúmina para la purificación del radioisótopo; sin embargo, como parte del método se requiere la evaporación del solvente dejando muchos residuos químicos volátiles. Para evitar esto, se buscan otras alternativas de separación radioquímica como la cromatografía en columna con alúmina, sin embargo, su capacidad de adsorción de ⁹⁹Mo es de 20 mg g⁻¹ cuando se emplea ⁹⁹Mo de alta actividad específica producido mediante fisión nuclear (Chakravarty et al., 2019). No obstante, la capacidad de adsorción se limita cuando se emplea ⁹⁹Mo de baja actividad específica obtenido por activación neutrónica en el IPEN; ya que, requiere una columna muy larga de alúmina para adsorber mínimas cantidades de ⁹⁹Mo y dejando enormes volúmenes de eluato para recuperar el ^{99m}Tc; además, la concentración radiactiva (RAC) del TcO₄ se vuelve inaceptablemente baja para su uso como radiofármaco. Para superar esto y hacer más eficiente la separación de los radioisótopos por cromatografía en columna con ⁹⁹Mo de baja actividad específica, se buscan materiales con alta capacidad de adsorción (Marlina et al., 2020) para ser implementados en generadores portátiles de ⁹⁹Mo/^{99m}Tc que ayuden a descentralizar la producción de los radioisótopos y proveer de ellos a cualquier hora y lugar.

Se han sintetizado polímeros de quitosano de *Dosidicus gigas* en medio ácido entrecruzados con glutaraldehído a las concentraciones de 50, 40 y 25 %. La presente investigación consiste en evaluar la capacidad de adsorción de ⁹⁹Mo y desorción de ^{99m}Tc de un material empleado en la cromatografía en columna del generador de ⁹⁹Mo/^{99m}Tc. Por lo tanto, se plantea la siguiente pregunta: ¿El polímero a base de quitosano será un material capaz de adsorber al molibdeno 99 (⁹⁹Mo) de baja actividad específica para su aplicación en la producción del radioisótopo de uso médico, tecnecio 99 metaestable (^{99m}Tc)?

1.4 JUSTIFICACIÓN DE LA INVESTIGACIÓN

1.4.1 Justificación Social.

El cáncer es la mayor causa de muerte a nivel mundial (Vallejos-Sologuren et al., 2020); sin embargo, con el uso de marcadores tumorales, tecnología de imágenes y otros métodos biológicos se puede lograr la detección del cáncer en su etapa temprana y evitar el deceso del paciente a causa de la enfermedad (Pei et al., 2021). El 99m Tc es el radioisótopo más utilizado en medicina nuclear con fines de diagnóstico de cáncer; ya que, a diferencia de otros radioisótopos producidos en ciclotrones, puede producirse por la desintegración β^- del 99 Mo ($t_{1/2}=67\,$ h, 739-780 keV) utilizando generadores disponibles comercialmente (Pimlott & Sutherland, 2011).

Actualmente, la mayoría de los hospitales presentan un rango de energía de 100-200 keV para las instalaciones de imágenes médicas. La energía del ^{99m}Tc es adecuada; ya que, presenta baja energía de rayos γ emitidos de 140 keV; los cuales escapan del cuerpo humano con facilidad (Mukiza et al., 2018). Además, el tiempo de vida media de 6 h es suficiente para ser detectados mediante cámaras gamma (SPECT) para obtener imágenes de enfermedades oncológicas, óseas, renales, hepáticas, hepatobiliares, cardíacas y otras patologías, causando muy poco daño al órgano fotografiado del paciente. Debido a ello, los generadores de ^{99m}Tc son de gran importancia en la medicina nuclear; sin embargo, su elevado costo de importación, dependiendo del país proveniente, contribuye a la necesidad de desarrollar generadores portátiles del radioisótopo en nuestro país, teniendo en cuenta la calidad del ^{99m}Tc.

1.4.2 Justificación científica y técnica.

El sistema de cromatografía en columna del generador de ⁹⁹Mo/^{99m}Tc está en constante mejora al investigar materiales con alta capacidad de adsorción de ⁹⁹Mo. Se plantea sintetizar un material con alta capacidad de adsorción de ⁹⁹Mo basado en quitosano (obtenido de pluma del calamar gigante) entrecruzado con glutaraldehído, donde la capacidad de adsorción del quitosano permite adsorber el ⁹⁹Mo en la columna cromatográfica para que pasado el tiempo de formación se eluya el ^{99m}Tc de alta calidad, aprovechando este sistema y evitando el método convencional de extracción Líquido-Líquido con solventes contaminantes para la obtención del ^{99m}Tc.

1.5 IDENTIFICACIÓN DEL APORTE CIENTIFICO

La literatura ha reportado el uso de quitosano comercial entrecruzado con glutaraldehído; sin embargo, en este trabajo se estudia el quitosano de pluma de *Dosidicus gigas* que no ha tenido aplicación en la columna cromatográfica para otorgarle un valor agregado a un residuo marino y que muchas veces puede causar enfermedades a la salud pública. Finalmente, en esta investigación se busca evaluar la capacidad de adsorción del polímero de quitosano de pluma de *Dosidicus gigas* entrecruzado con glutaraldehído para emplearlo como material adsorbente de ⁹⁹Mo de baja actividad específica en la columna cromatográfica implementado en los generadores portátiles, cuyo sistema se puede distribuir para los diversos centros médicos y hospitales encargados de realizar tomografías para detección de cáncer y mejorar la competitividad tecnológica de nuestro país.

1.6 HIPÓTESIS

Los generadores portátiles de ⁹⁹Mo/^{99m}Tc son esenciales en hospitales y centros de salud, estos suministran el ^{99m}Tc para el diagnóstico de cáncer por imágenes SPECT; por ello, es necesario optimizar la producción de este radioisótopo. Se emplea el polímero de quitosano entrecruzado con glutaraldehído debido a su alta capacidad de adsorción de ⁹⁹Mo (n,γ); este entrecruzamiento mejora las propiedades químicas y térmicas, la estabilidad, rigidez estructural y permeabilidad del biopolímero, entre otros (Pavoni et al., 2021); así como la resistencia a los ácidos y la fuerza mecánica de la partícula de quitosano (Shameen Hasan, 2019). Además, los grupos -OH y -NH₂ del polímero modificado facilitan la interacción con el ⁹⁹MoO₄-² en la columna cromatográfica del generador, mediante interacción electrostática con los grupos -NH₃+ del quitosano en medio ácido.

En esta investigación, se estudiará el entrecruzamiento del polímero de quitosano de pluma de calamar con glutaraldehído, para evaluar la capacidad de adsorción de ⁹⁹Mo de baja actividad específica, el polímero de quitosano entrecruzado presenta mayor capacidad de adsorción de ⁹⁹Mo con respecto al ^{99m}Tc (Shameen Hasan, 2019), disponiendo una alternativa de material adsorbente para su aplicación en la columna cromatográfica del generador portátil e implementarlos en hospitales y centros de salud para contribuir en el diagnóstico de cáncer.

1.7 OBJETIVOS

1.7.1 OBJETIVO GENERAL

Producir un polímero adsorbente de ⁹⁹Mo a partir de quitosano modificado con glutaraldehído para su posible aplicación en un generador de ⁹⁹Mo/^{99m}Tc para la producción de ^{99m}Tc como radioisótopo empleado en el diagnóstico de cáncer.

1.7.2 OBJETIVOS ESPECÍFICOS

- 1. Sintetizar los polímeros entrecruzados de quitosano de pluma de *Dosidicus* gigas en medio ácido con soluciones de glutaraldehído a las concentraciones de 50, 40 y 25 %.
- 2. Caracterizar los polímeros sintetizados mediante técnicas espectroscopía infrarroja, difracción de rayos X, análisis termogravimétrico, microscopía electrónica de barrido, resonancia magnética Nuclear de fase sólida y espectroscopía Raman.
- 3. Determinar los factores que influyen en el proceso de adsorción entre los polímeros de quitosano sintetizados y el ion MoO₄²⁻, tales como el tiempo de equilibrio, masa del adsorbente y efecto de pH.
- 4. Determinar la cinética de adsorción y las isotermas de adsorción para los polímeros de quitosano sintetizados.
- 5. Evaluar la capacidad de adsorción de MoO₄²⁻ mediante la cromatografía en columna empleando el polímero de quitosano óptimo y determinar el porcentaje de adsorción.
- 6. Determinar la eficiencia del proceso de elución y realizar las pruebas de control de calidad al producto final de pertecnetato [99mTc]TcO4⁻ producido en el generador 99Mo/99mTc aplicando el polímero de quitosano óptimo como material adsorbente en la columna cromatográfica.

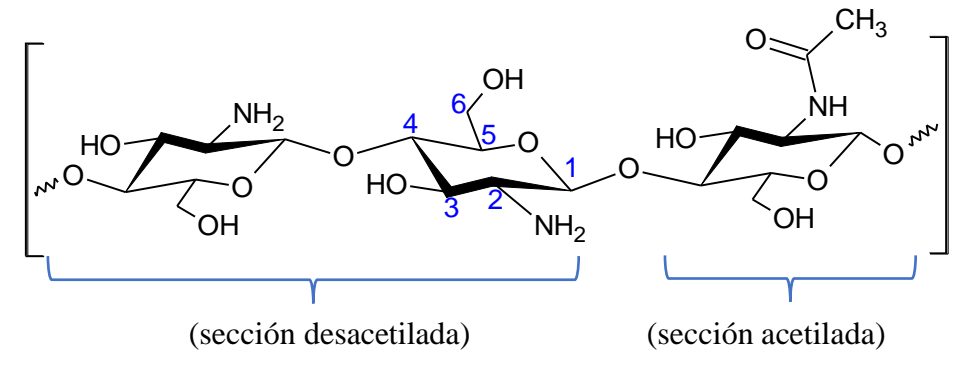
CAPÍTULO II: FUNDAMENTO TEÓRICO

2.1 Quitosano

El quitosano es un copolímero compuesto aleatoriamente de unidades de 2-acetilamina-2-desoxi-β-D-Glucopiranosa (sección acetilada) y 2-amino-2-desoxi-β-D-Glucopiranosa (sección desacetilada). Es considerado un polisacárido debido a que sus unidades monoméricas están unidas por enlaces β(1→4)-glucosídicos (Ardean et al., 2021). El quitosano se obtiene de la N-desacetilación de la quitina, que se encuentra en fuentes naturales como alas de insectos (escarabajos, cucarachas), paredes celulares de hongos y algas; así como también en el exoesqueleto o caparazón de muchos crustáceos o la pluma de calamar (Brion-Roby et al., 2018; Rico Rodriguez, 2013). Como se muestra en la figura 1, se denomina quitosano cuando la sección desacetilada o el grado de desacetilación de la quitina es mayor al 50 %. El grado de desacetilación le confiere a la molécula diferentes propiedades y es uno de los pasos fundamentales para determinar la calidad del quitosano (Giraldo, 2015). Se han numerado los carbonos en el esqueleto de quitosano, como se muestra a continuación:

Figura 1

Estructura química del quitosano



Fuente: Tomado de (Zargar et al., 2015)

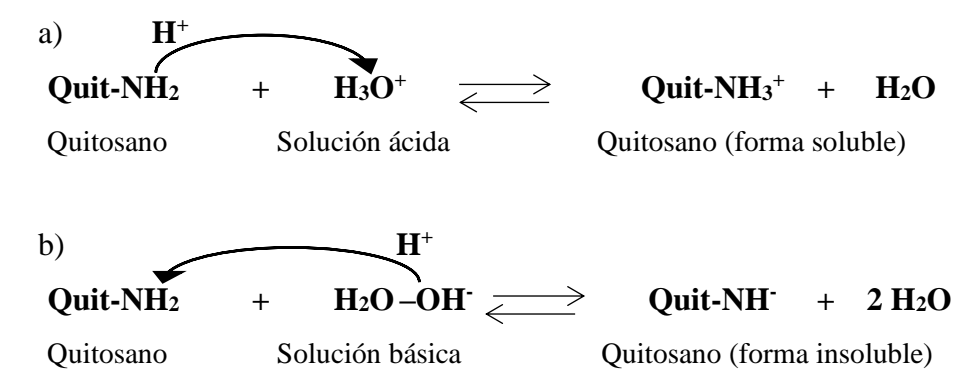
2.1.1. Propiedades Fisicoquímicas

El quitosano es un polisacárido que a diferencia de otros se comporta con carácter básico otorgándole propiedades únicas, donde los grupos –NH₂ y –OH le confieren la capacidad de adsorción de iones metálicos mediante interacciones electrostáticas o enlaces de coordinación (Brion-Roby et al., 2018). La solubilidad del quitosano está relacionada al grado de desacetilación y al peso molecular. Los grupos amino –NH₂ se protonan en medios ácidos de pH < 5 que incrementan la solubilidad, con poca

accesibilidad de sus grupos funcionales y favorecen la formación de geles (Galan et al., 2021; Shameen Hasan, 2019). La figura 2 muestra el comportamiento del quitosano en medio ácido o básico.

Figura 2

Esquema del comportamiento del quitosano variando el pH



Nota: A bajas condiciones de pH (a), altas condiciones de pH (b)

Fuente: Adaptado de (Wadhwa et al., 2010)

2.1.2. Quitosano y glutaraldehído

El quitosano puro es un material blando de baja resistencia mecánica y física. Para mejorar las propiedades del quitosano se requiere la modificación física o química. Las investigaciones se han centrado en estudiar quitosano entrecruzado químicamente con glutaraldehído debido a la disminución drástica de la solubilidad en medios ácidos al brindar estabilidad en un amplio rango de pH, resistencia a la radiación, mejora en las propiedades físicas y mecánicas (Brion-Roby et al., 2018; Chattopadhyay et al., 2017; Pighinelli & Kucharska, 2013).

La figura 3 muestra la estructura del glutaraldehído o 1,5-pentanodial, que es una molécula ampliamente utilizada en el entrecruzamiento de quitosano para la aplicación de la adsorción de metales pesados (Altun, 2020; Salehi et al., 2022), eliminación de colorantes (Khapre et al., 2021; Reghioua et al., 2021), inmovilización enzimática (Bui et al., 2020; Malhotra & Basir, 2020; Rafiee & Rezaee, 2021), entre otros.

Figura 3

Estructura química del glutaraldehído

Fuente: Tomado de (Sehmi et al., 2016)

2.2 Reacciones involucradas

Las posibles reacciones involucradas en esta investigación se han clasificado en dos etapas fundamentales. La primera etapa consiste en la síntesis de los polímeros de quitosano de pluma de *Dosidicus gigas* entrecruzado con glutaraldehído y la segunda etapa consiste en el mecanismo de adsorción propuesto para los polímeros modificados con respecto al ⁹⁹Mo que se encuentra como ion ⁹⁹MoO₄-².

2.2.1 Reacciones involucradas en la síntesis de los polímeros

La síntesis de los polímeros de quitosano entrecruzado con glutaraldehído se ha realizado en un medio ácido (HCl) a la temperatura de 70 °C bajo agitación constante. A estas condiciones de trabajo se espera que algunos grupos -NH₂ de los monómeros del quitosano se protonen hasta -NH₃⁺ y otros reaccionen mediante la clásica reacción de bases de Schiff como se presenta en la figura 4.

Figura 4

Reacciones involucradas en la síntesis de polímeros derivados de quitosano

a)

Nota: Estructura del quitosano protonado (a), Reacción entre el quitosano y glutaraldehído (b). Fuente: Tomado de (Shameen Hasan, 2019)

2.2.2 Reacciones involucradas en la adsorción de ⁹⁹Mo

El ⁹⁹Mo se encuentra como ion ⁹⁹MoO₄-² e interacciona con los polímeros de quitosano modificados. En el ion ⁹⁹MoO₄-², el molibdeno está unido a dos oxígenos mediante enlace doble y a otros dos oxígenos mediante enlace coordinado o dativo provocando la carga negativa de dos oxígenos en la estructura y favoreciendo la interacción electrostática con los grupos amino cargados positivamente (-NH₃⁺) de los polímeros de quitosano modificados en medio ácido. El quitosano entrecruzado con glutaraldehído en medio ácido sobresale como un material con alta capacidad de adsorción de sustancias cargadas negativamente (Saheed et al., 2021; Schio et al., 2022).

Figura 5Interacción del quitosano entrecruzado con glutaraldehído y la especie de ⁹⁹MoO4⁻²

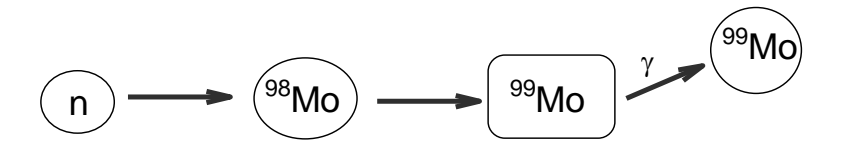
Fuente: Tomado de (Shameen Hasan, 2019)

2.3. Molibdeno-99 (⁹⁹Mo)

El molibdeno es un elemento químico de número atómico 42 que se encuentra en el grupo 6 de la tabla periódica. El molibdeno posee 35 isótopos conocidos con masas atómicas del 83 al 117, de los cuales solo siete son naturales, pero cinco son estables, de masas atómicas del 94 al 98. El ⁹⁸Mo es el isótopo estable más común que comprende el 24 % de abundancia en el planeta Tierra y es de gran interés para la producción de ^{99m}Tc; radioisótopo importante en el diagnóstico de cáncer por imágenes en medicina nuclear (Saptiama et al., 2021).

El ⁹⁹Mo se puede obtener por fisión nuclear de U-235 generando ⁹⁹Mo de alta actividad específica; sin embargo, el rendimiento de solo el 6% de ⁹⁹Mo como producto y la liberación de una serie de residuos, tales como: Sr-89, Sr-90, Ru-103, y I-131, I-132 y Te-132 (Ma & et al., 2022; Moreno, 2019), la disminución de la vida operativa de los reactores nucleares al estar en un mantenimiento periódico dificultan su aplicación (Ma et al., 2022). En el Perú, la producción de ⁹⁹Mo se lleva a cabo mediante la técnica de activación neutrónica empleando ⁹⁸MoO₃ el cual es irradiado con un flujo de neutrones térmicos (n) para generar ⁹⁹Mo y rayos gamma (\(\cap\)) como se muestra en la figura 6. A pesar de que, bajo esta ruta se obtiene ⁹⁹Mo de baja actividad específica el interés es cada vez mayor; ya que, es fácilmente producido en un reactor nuclear sin dejar residuos que generen altas energías y es empleado en generadores portátiles de ⁹⁹Mo/^{99m}Tc para contribuir a la descentralización de producción de ^{99m}Tc en nuestro país (Chakravarty et al., 2019).

Figura 6Producción de ⁹⁹Mo mediante activación neutrónica de ⁹⁸Mo



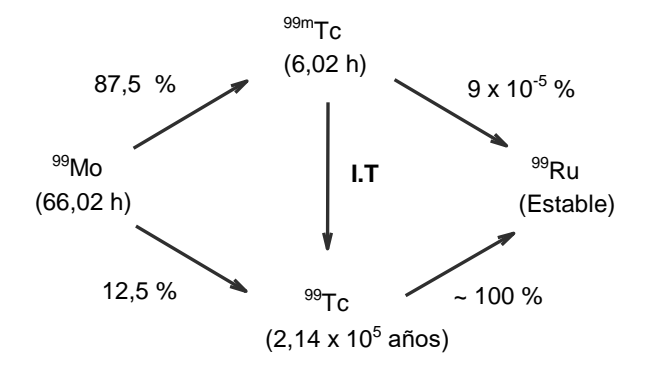
Fuente: Tomado de (Hasan & Prelas, 2020)

2.4. Tecnecio-99m (^{99m}Tc)

El tecnecio es el elemento químico más ligero con número atómico 43, primer elemento sintético reportado (Rathmann S. et al., 2019) y químicamente inerte con estados de oxidación del uno al siete (Shameen Hasan, 2019). Presenta 51 isótopos que

van desde el Tc-85 hasta el Tc-120, siendo los dos más investigados el 99 Tc y 99m Tc, este último debido a su aplicación en la medicina nuclear (Rathmann S. et al., 2019). Es considerado como el radioisótopo de diagnóstico ideal, porque presenta un tiempo de vida media de 6 h y emite rayos gamma de baja energía de 140 keV que escapan del cuerpo humano con facilidad y son ideales para la toma de imágenes por SPECT (Marlina et al., 2020; Uzunov et al., 2018). El 99m Tc es el radionucleido hijo del 99 Mo que se produce mediante la desintegración β^- con una eficiencia del 87,5 % (Ma & et al., 2022) como se muestra en la figura 7. También se obtiene 99 Tc con una eficiencia del 12,5 % y eventualmente estos radioisótopos se descomponen en 99 Ru estable (Saptiama et al., 2016).

Figura 7Esquema de producción de 99m Tc a partir de la desintegración β^- del 99 Mo.



Fuente: Tomado de (Saptiama et al., 2016).

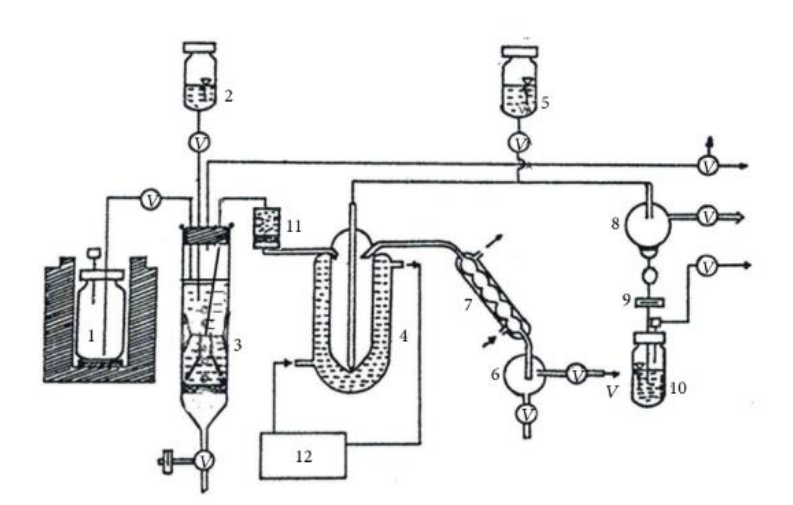
2.4.1. Técnicas de Separación de 99mTc

La separación del ⁹⁹Mo y ^{99m}Tc requiere métodos sencillos y con alta pureza radioquímica para su aplicación en medicina nuclear (Chakravarty et al., 2019). Existen dos técnicas ampliamente utilizadas para la producción de ^{99m}Tc empleando ⁹⁹Mo de baja actividad específica que son la extracción por solvente y el generador de ⁹⁹Mo/^{99m}Tc (M. Ahmad et al., 2014).

2.4.1.1 Extracción con solvente. Es la técnica más común para la separación de los radioisótopos ⁹⁹Mo y ^{99m}Tc, aplicada desde los años ochenta. Se investigaron varios solventes para la extracción de ^{99m}TcO₄- a partir de soluciones acuosas alcalinas de ⁹⁹Mo, como son las acetonas, trioctilamina, cloruro de tricaprilmetilamonio (Aliquat-336), éteres de corona; sin embargo, la metiletilcetona (MEK) resulta ser el mejor candidato para la extracción de ^{99m}TcO₄-, debido a su alta estabilidad a la radiación, superiores

rendimientos de extracción y bajo punto de ebullición de 79,64 °C. En la figura 8, se muestra el proceso de extracción por solvente que consiste en: añadir una mezcla de MEK y H₂O₂ acuoso al 1 % sobre la solución alcalina de ⁹⁹Mo objetivo preparado con NaOH al 5,0 mol L⁻¹ y llevar a agitación mecánica, luego el peróxido se añade para mantener al ^{99m}Tc del ^{99m}TcO₄ con estado de oxidación +7. El sobrenadante MEK/solución de ^{99m}Tc/fase orgánica que contiene al ^{99m}Tc extraído, se elimina mediante succión efectuada mediante una presión negativa y se pasa a través de una columna de alúmina ácida con el objetivo de eliminar restos de ⁹⁹Mo extraídos en la solución MEK. Seguidamente, la solución de ^{99m}Tc con MEK se transfiere a un evaporador que se calienta a 70 °C con agitación negativa leve para acelerar el proceso de evaporación del solvente. Eliminado el solvente, se procede a añadir la solución estéril de NaCl al 0,9 % para recuperar el ^{99m}Tc en forma de Na^{99m}TcO₄ disuelto en la solución salina, que finalmente se esteriliza al pasar a través del filtro Millipore y se reserva en un vial estéril para realizar el control de calidad final del producto (M. Ahmad et al., 2014).

Figura 8Esquema de producción de ^{99m}Tc por extracción con solvente MEK



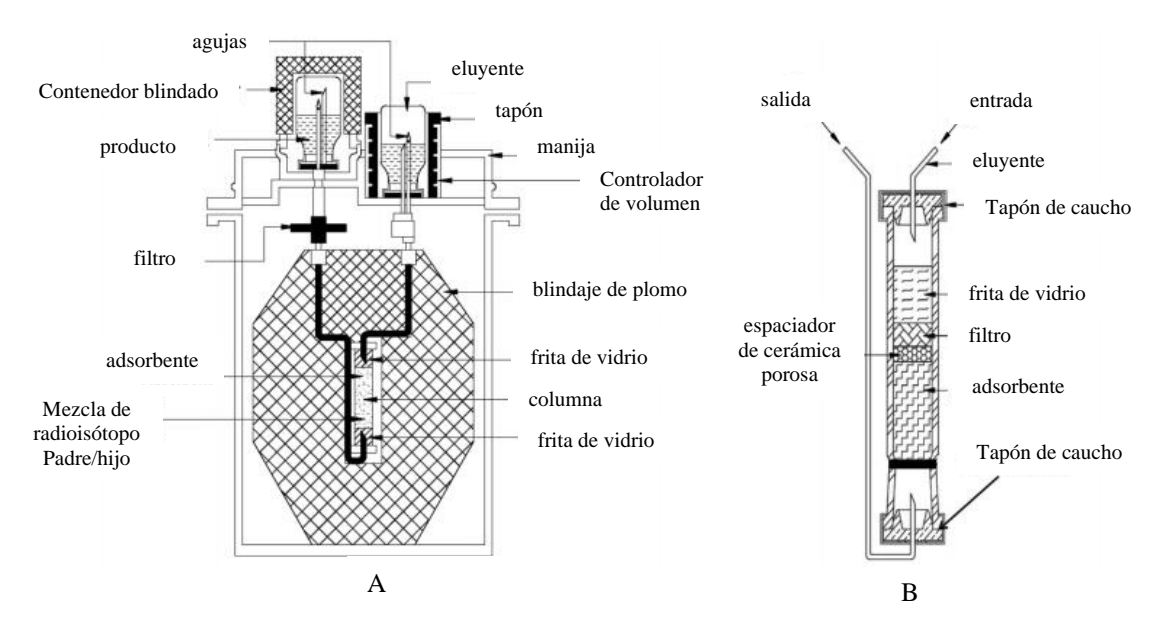
Nota: 1: solución alcalina de ⁹⁹MoO₄-², 2: disolvente MEK, 3: extractor, 4: evaporador MEK, 5: solución salina, 6: receptor MEK, 7: condensador, 8: receptor de solución de ^{99m}Tc, 9: filtro Millipore, 10: vial de solución final de ^{99m}TcO₄-, 11: columna de alúmina ácida, 12: circulador de agua 70 °C y V: válvula o línea de vacío.

Fuente: Tomado de (M. Ahmad et al., 2014).

2.4.1.2 Generador de ⁹⁹**Mo/**^{99m}**Tc.** Es otra técnica ampliamente utilizada para la producción de ^{99m}TcO₄ que se basa en la columna cromatográfica, cuyo principio de separación es la diferencia de afinidad de adsorción del ⁹⁹Mo y ^{99m}Tc (Dash et al., 2013).

El objetivo de este proceso es encontrar una alta adsorción del ⁹⁹MoO₄-² que es retenido por algunas resinas o materiales de adsorción, permitiendo que el ^{99m}TcO₄- quede separado selectivamente (Gumiela, 2018). La cromatografía en columna con alúmina ácida se diferencia de la extracción con solvente por ser más ecoamigable; debido a que no deja grandes cantidades de solventes tóxicos en evaporación, además de ser más sencilla. Sin embargo, la alúmina ácida presenta una limitada capacidad de adsorción de ⁹⁹Mo de solo 20 mg g⁻¹ de alúmina cuando se emplea ⁹⁹Mo de alta actividad específica (obtenido por fisión nuclear); lo que dificulta su uso solo como material adsorbente cuando se emplea ⁹⁹Mo de baja actividad específica (obtenido por activación neutrónica). Pero, la baja actividad específica se contrarresta empleando materiales de alta capacidad de adsorción en la columna cromatográfica del generador (Saptiama et al., 2021). La figura 9 muestra el esquema del generador ⁹⁹Mo/^{99m}Tc.

Figura 9Esquema de producción de ^{99m}Tc mediante el generador ⁹⁹Mo/^{99m}Tc



Nota: Esquema de un generador industrial (A), armado de la columna cromatográfica al interior del generador (B).

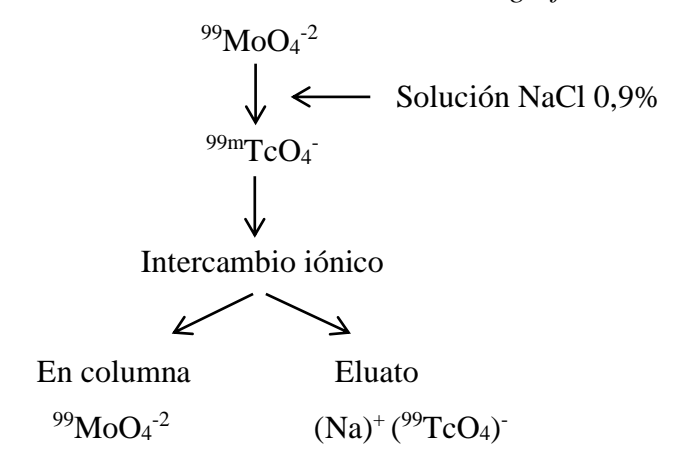
Fuente: Tomado de (Dash et al., 2013).

La figura 10 muestra el proceso de elución de ^{99m}Tc en el generador, la especie de ⁹⁹MoO₄-² está adsorbida en la columna cromatográfica y decae periódicamente hasta ^{99m}TcO₄-, luego es recuperado por intercambio iónico al inyectar una solución de NaCl 0,9 % como eluyente. El ^{99m}TcO₄- está menos unido a la columna por tener una sola carga y es eluído con mayor facilidad al aplicar la solución salina produciendo Na^{99m}TcO₄

(Uzunov et al., 2018). Además, el material adsorbente de quitosano ácido entrecruzado con glutaraldehído en la columna cromatográfica favorece la desorción del Na^{99m}TcO₄; ya que, la especie de ⁹⁹MoO₄⁻² es altamente soluble en medio básico y no en medio ácido, favoreciendo su retención en la parte superior de la columna (Hasan & Prelas, 2020).

Figura 10

Proceso general de elución del ^{99m}TcO₄ en la columna cromatográfica



Fuente: Tomado de (Hasan & Prelas, 2020)

2.5. Desintegración beta

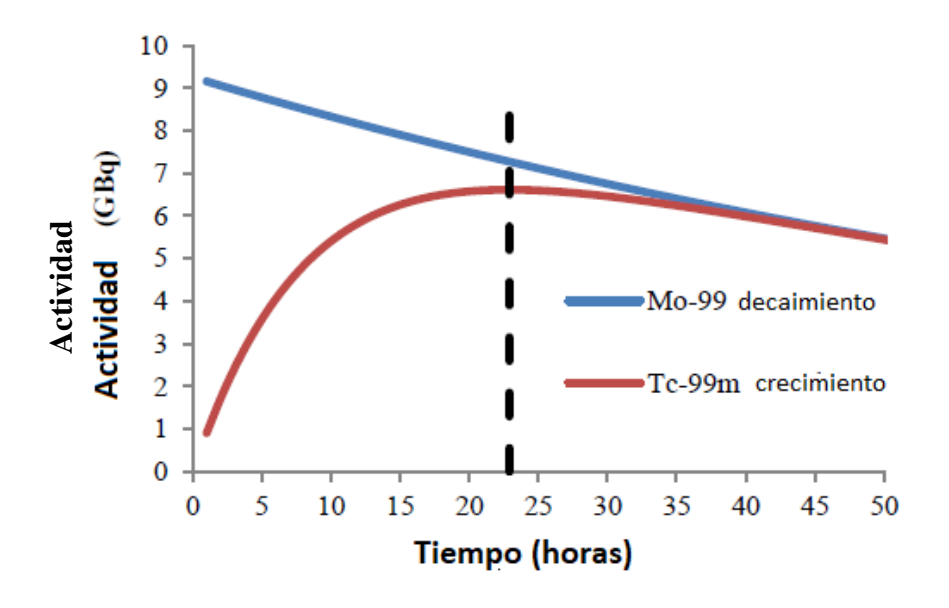
Es un tipo de desintegración radiactiva donde se da un cambio al interior del núcleo del átomo de manera espontánea emitiendo partículas o radiación electromagnética. La descomposición radiactiva está impulsada para mantener constante la masa del átomo (Gilmore, 2008). La desintegración β se refiere a la desintegración de un núcleo padre a un núcleo hijo mediante la emisión de partículas beta. Si un núcleo emite una partícula beta, puede liberar un electrón (desintegración β) o positrón (desintegración β). En ese sentido, el número másico del núcleo hijo sigue siendo igual al del padre, pero el núcleo hijo formará un elemento diferente. La desintegración β + se lleva a cabo cuando un protón se convierte en un neutrón al interior del núcleo del átomo; manteniendo el mismo número de masa, pero disminuyendo el número atómico del núcleo padre. A continuación, se muestra un ejemplo sobre desintegración β +:

La desintegración β ⁻ se lleva a cabo cuando un neutrón se convierte en un protón dentro del núcleo y se libera un electrón, manteniendo el mismo número de masa; a continuación, se muestra la desintegración β ⁻ del ⁹⁹Mo hacia ^{99m}Tc (Gilmore, 2008):

$$^{99}_{42}{
m Mo}$$
 $^{-1}e^-$ + $^{99}{}_{43}{
m Tc}$
Núcleo padre Partícula β^- Núcleo hijo

El 99 mTc se obtiene mediante la desintegración β^- del 99 Mo. La figura 11 muestra el decaimiento/crecimiento en el sistema del generador de 99 Mo/ 99 mTc donde la máxima actividad de 99 mTc se obtiene luego de 22,89 horas de tiempo de crecimiento. En general, para obtener 99 mTc con la máxima radiactividad, el sistema de generador de 99 Mo/ 99 mTc se debe eluir cada ~23 horas para lograr alcanzar una eficiencia del 87,5 % de 99 mTc (Ma & et al., 2022) partiendo desde 99 Mo de baja actividad específica.

Figura 11Esquema de decaimiento/crecimiento en el sistema del generador de ⁹⁹Mo/^{99m}Tc



Fuente: Adaptado de (Saptiama et al., 2016).

CAPÍTULO III: PARTE EXPERIMENTAL

3.1. Materiales

La Tabla 2 muestra los reactivos y materiales involucrados en la investigación.

Tabla 2Reactivos y materiales involucrados en la investigación

Compuesto	Especificaciones	Ubicación
Quitosano comercial de	(Sigma-Aldrich; CAS: 448877 - 50G, 77,65 %	IPEN
peso molecular medio	desacetilado; 722,72 kDa)	IPEN
Trióxido de Molibdeno	(Invadiada manta DDDD)	IDEN
(MoO ₃) activado	(Irradiado por la PPRR)	IPEN
Ácido clorhídrico (HCl)	(Sigma-Aldrich; 36,5-38,0 %; 1,18 g mL ⁻¹)	IPEN
Glutaraldehído	(Sigma-Aldrich; 100,12 g mol ⁻¹ ; solución 50 %;	IDEN
(OHC(CH ₂) ₃ CHO)	1,13 g cm ⁻³)	IPEN
Hidróxido de Sodio	(March, 40.00 a mall, CAS, 1210.72.2)	IDENI
(NaOH)	(Merck, 40,00 g mol ⁻¹ , CAS: 1310-73-2)	IPEN
Monoetanolamina	(March, 61.09 a molt) CAS, 141.42.5)	IDENI
$(HOCH_2CH_2NH_2)$	(Merck, 61,08 g mol ⁻¹ , CAS: 141-43-5)	IPEN
Etanol Absoluto	(March 46.07 a mal-l. CAS, 64.17.5, 00.5.0/)	IDENI
(CH ₃ CH ₂ OH)	(Merck, 46,07 g mol ⁻¹ ; CAS: 64-17-5; 99,5 %)	IPEN
Acetato de Sodio Anhidro	(Merck; 82,03 g mol ⁻¹ ; CAS: 127-09-3; 99,0 %)	IDEN
(CH ₃ COONa)	(Weick, 82,03 g iii01 -, CAS. 127-09-3, 99,0 %)	IPEN
Ácido acético	(Marali, 60.05 a mal-l, CAS, 64.10.7, 00.0.0)	IDEN
(CH ₃ COOH)	(Merck; 60,05 g mol ⁻¹ ; CAS: 64-19-7; 99,0 %)	IPEN
Cloruro de Sodio (NaCl)	(Merck; 58,44 g mol ⁻¹ ; CAS:7647-14-5; 99,0 %)	IPEN
Filtros Millipore	(Merck; 0,2 μm x 47 mm Φ)	IPEN
Viales de vidrio con tapa	(Enviplast; 5 mL)	IPEN
Viscosímetro capilar	(Ubbelohde; 10 mL)	LIBIPMET
Tubos cónicos para	(IZ + 1.15 - IX)	IDEN
centrífuga	(Kyntel; 15mL)	IPEN
Indicador de	(Machagas Nagal, 0.5, 2.5%)	***
glutaraldehído	(Macherey Nagel; 0,5 – 2,5 %)	IPEN

La Tabla 3 muestra los equipos involucrados en la presente investigación.

Tabla 3 *Equipos involucrados en la investigación*

Equipo	Modelo	Ubicación	
Detector Canberra de Germanio Hiperpuro	Mirion Technologies Modelo GC7019	TEAN/ Dirección de Investigación y Desarrollo / IPEN	
Espectrofotómetro infrarrojo con transformada de Fourier (FT-IR)	Shimadzu IR Prestige 21 por ATR	LIBIPMET/ Facultad de Ciencias/ UNI	
Espectrómetro de difracción de rayos X (DRX)	Rigaku Modelo Miniflex 2	TEAN / Dirección de Investigación y Desarrollo / IPEN	
Análisis Termogravimétrico	Perkin Elmer modelo STA	LABICER/ Facultad de	
(TGA)	6000	Ciencias/ UNI	
Microscopio de Barrido Electrónico (MEB-EDS)	Zeiss modelo Evo MA10	LABICER/ Facultad de Ciencias/ UNI	
Resonancia magnética Nuclear de estado sólido (ss-RMN)	Bruker UltraShield	NaCA / Sao Carlos Institute of Physics/ Brasil	
Espectroscopía Raman con Transformada de Fourier (FT-Raman)	Thermo Fisher Scientific modelo Nicolet iS50	CONICET / IQUIMEFA / Universidad de Buenos Aires / Argentina	

3.2. Metodología

Se propone sintetizar un polímero con alta capacidad de adsorción, utilizando quitosano de pluma de *Dosidicus gigas* proveniente del distrito de Pucusana (Lima-Perú) y quitosano comercial, modificado químicamente con glutaraldehído para evaluar su capacidad de adsorción ⁹⁹MoO₄-² en la columna cromatográfica del generador de ⁹⁹Mo/^{99m}Tc. El QPC fue adquirido de una previa investigación; para su obtención, se realizó la desproteinización de las plumas tratadas con NaOH 0,3 mol L⁻¹ en la relación de 1:10 (peso muestra/volumen de NaOH) a 80 °C por 1 h en agitación constante; seguidamente se lavó y filtró con agua desionizada hasta alcanzar el pH neutro y se secó a 60 °C en estufa hasta tener un peso constante. Se realizó la desacetilación de la β-quitina con NaOH al 40% a 80 °C por 3 h en agitación constante y atmósfera de N_{2(g)} ultrapuro. Finalmente, se lavó con agua desionizada hasta alcanzar el pH neutro y se secó con liofilizador para la obtención de QPC.

En esta investigación, se ha entrecruzado el quitosano en medio ácido con glutaraldehído mediante bases de Schiff que se forman entre el grupo -NH₂ del quitosano y -CHO del glutaraldehído. El grupo amina del quitosano se carga positivamente y puede interaccionar con el ⁹⁹MoO₄-² de la columna cromatográfica mediante interacción electrostática lo que permite la adsorción del ⁹⁹Mo, donde se ha evaluado la influencia del agente entrecruzante empleando soluciones de glutaraldehído a las concentraciones de 50%, 40% o 25%. La alta adsorción de ⁹⁹MoO₄-² en la columna cromatográfica favorece la eficiencia de elución de ^{99m}TcO₄- que es el radioisótopo de interés en la investigación por su aplicación en la medicina nuclear. Además, se formularon polímeros de QC entrecruzado con glutaraldehído a las mismas concentraciones como control. El trabajo de investigación se ha dividido en tres partes:

- 1) Sintetizar y caracterizar los polímeros entrecruzados con glutaraldehído a las concentraciones de 50, 40 o 25 % empleando el quitosano de *Dosidicus gigas* y el comercial.
- 2) Determinar los factores que influyen en el proceso de adsorción del ⁹⁹MoO₄-² empleando el polímero de quitosano entrecruzado de *Dosidicus gigas* y el quitosano comercial; tales como, el tiempo de equilibrio, efecto de pH, masa del adsorbente, cinética e isotermas de adsorción, para seleccionar un polímero de quitosano de *Dosidicus gigas* óptimo.

3) Evaluar la capacidad de adsorción y desorción de los polímeros en la columna cromatográfica y realizar las pruebas de control de calidad al producto final del ion ^{99m}TcO₄⁻ producido en el generador ⁹⁹Mo/^{99m}Tc.

3.2.1. Síntesis del polímero de quitosano modificado

La síntesis de los polímeros entrecruzados con glutaraldehído a partir de quitosano de pluma de *Dosidicus gigas* (QPC) y quitosano comercial (QC) se realiza siguiendo la metodología patentada por Hassan (Unites States Patente N° US 2013/0039822 A1, 2013), donde todas las reacciones son llevadas a cabo bajo condiciones atmosféricas.

En la figura 12 se muestra el diagrama del proceso de síntesis para los polímeros entrecruzados donde se utilizó una masa inicial de 12 g para QPC y 8 g para QC para generar los seis polímeros en estudio. La metodología consiste en colocar 4 g de quitosano puro (QPC o QC) con 300 mL de agua bidestilada y 1 mL de CH₃COOH glacial en un balón y luego se mantiene bajo agitación a 350 rpm por 2 h a 70 °C para favorecer la solubilidad del quitosano. Posteriormente, se dejó enfriar por 20 min y se adicionó gota a gota 4 mL de HCl_(cc) manteniendo la agitación por 1 h a 70 °C para la acidificación del gel; completado el tiempo se añadió 6 mL de la solución de glutaraldehído de concentraciones de 50, 40 o 25 % v/v según sea el caso, bajo agitación a 450 rpm por 1 h a 70 °C observándose la formación de un gel semi-sólido.

El producto final se lavó con una solución de monoetanolamina al 2% para quitar el glutaraldehído residual y la masa resultante se dejó sumergida en 1 L de solución de NaOH 0,1 mol L⁻¹ por 16 h. Después de ello, la masa resultante fue lavada con HCl 0,1 mol L⁻¹ y finalmente con agua bidestilada hasta obtener un pH neutro. Finalmente, se generaron los seis polímeros detallados a continuación:

QPCG-1: Quitosano de pluma de *Dosidicus gigas* entrecruzado con glutaraldehído 50 %.

QPCG-2: Quitosano de pluma de *Dosidicus gigas* entrecruzado con glutaraldehído 40 %.

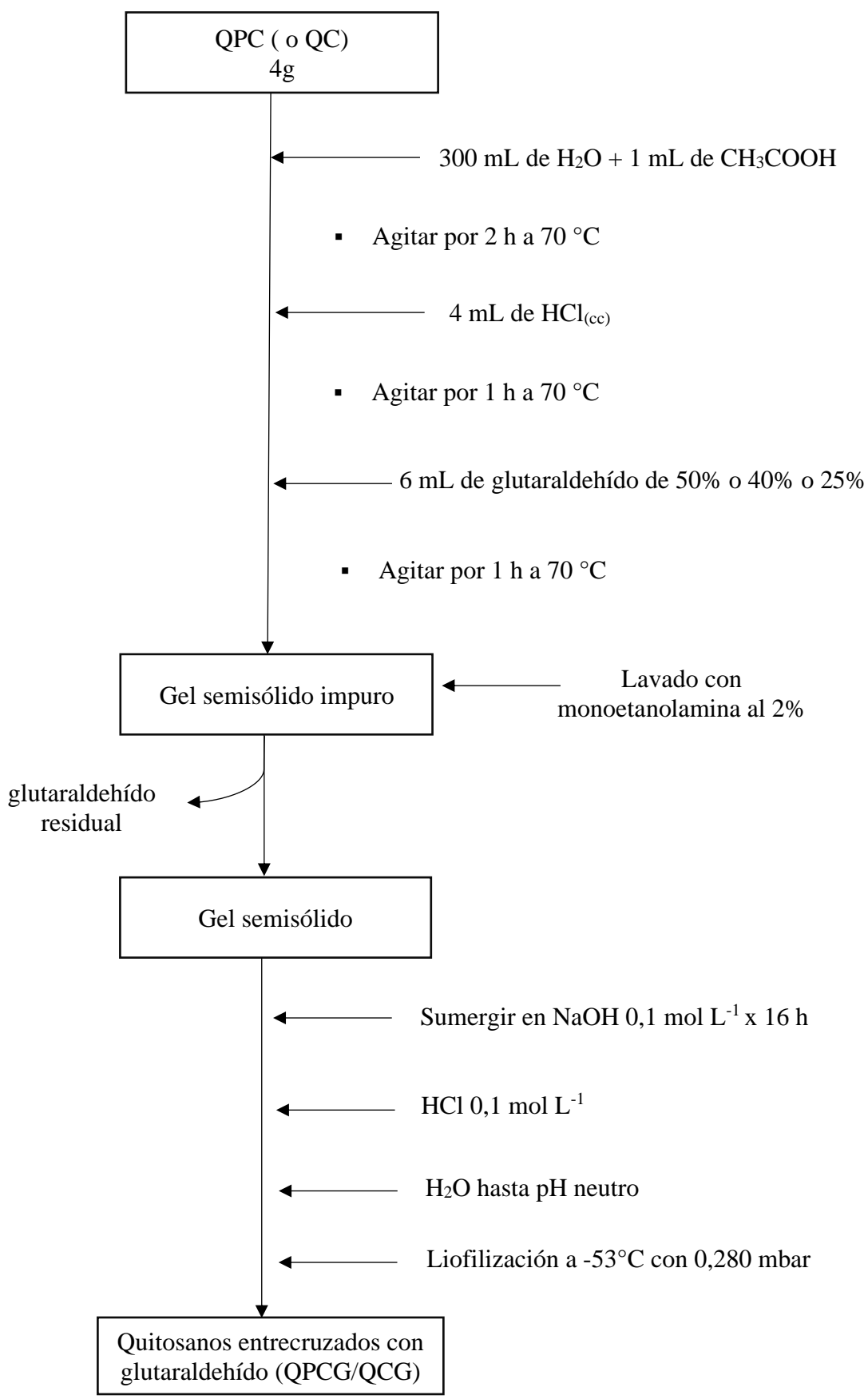
QPCG-3: Quitosano de pluma de *Dosidicus gigas* entrecruzado con glutaraldehído 25 %.

QCG-1: Quitosano comercial entrecruzado con glutaraldehído 50 %.

QCG-2: Quitosano comercial entrecruzado con glutaraldehído 40 %.

QCG-3: Quitosano comercial entrecruzado con glutaraldehído 25 %.

Figura 12Diagrama del proceso de síntesis de los polímeros de quitosano

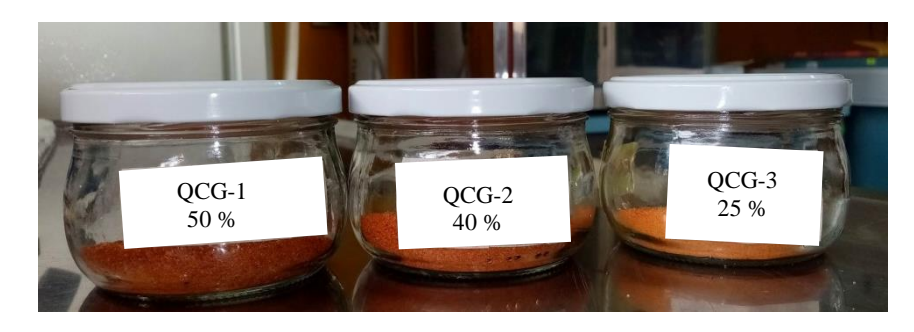


Finalmente, como pretratamiento para el secado de las muestras los polímeros sintetizados fueron congelados a -70°C en la ultra congeladora, luego se secaron las muestras en el liofilizador de marca LABCONCO ubicado en la Universidad Nacional de Ingeniería (UNI) a -53°C con 0,280 mbar hasta sequedad; para posteriormente moler las muestras en el mortero de ágata y tamizarlas en malla # 35, proporcionando las muestras finales de QPCG-1, QPCG-2, QPCG-3, QCG-1, QCG-2 y QCG-3 como se muestra en la figura 13.

Figura 13 *Polímeros sintetizados de QPCG y QCG*



B)



Nota: Quitosano entrecruzado con glutaraldehído de (A) pluma de *Dosidicus* gigas, (B) comercial.

3.3. Caracterización del quitosano y polímeros modificados

Las técnicas de caracterización que se muestran a continuación se han realizado a los polímeros de quitosano antes y después del entrecruzamiento con glutaraldehído con la finalidad de identificar la obtención de quitosano de la fuente marina y evidenciar el entrecruzamiento. Se detalla las muestras analizadas en cada sección, según se indica.

3.3.1. Determinación del grado de desacetilación por análisis del espectro infrarrojo (FT-IR)

El grado de desacetilación (DD) es uno de los parámetros más importantes en la caracterización del quitosano ya que afecta sus propiedades fisicoquímicas. La desacetilación es la conversión de quitina en quitosano y se refiere a la proporción de unidades d-glucosamina (Sánchez-Machado et al., 2018). Muchos investigadores disciernen el quitosano de la quitina cuando el grado de desacetilación es mayor o igual al 50% (Giraldo, 2015). El grado de desacetilación de los quitosanos comerciales se encuentra en el rango de 70 a 90 % (Hussain et al., 2013) y se clasifican como quitosanos de parcial hacia altamente desacetilados. A mayor grado de desacetilación se tiene mayor disponibilidad de los grupos NH₂, que permiten la protonación hasta -NH₃⁺ en medios ácidos favoreciendo la adsorción de especies cargadas negativamente (Mathaba & Daramola, 2020; Saheed et al., 2021).

El análisis del espectro infrarrojo es un método relativamente sencillo, rápido, de bajo costo para la determinación del grado de desacetilación (Camarotti et al., 2022), pero presenta una desventaja; ya que el quitosano es de naturaleza higroscópica y puede otorgar errores por la adsorción de la humedad; sin embargo, esto se supera generando una película quitosano. Por ello, el análisis del espectro infrarrojo en películas de quitosano es un método adecuado para la determinación del grado de desacetilación en polímeros. La metodología consiste en elaborar una película de quitosano y determinar los grupos funcionales mediante FT-IR. Soluciones de QPC y QC al 0,1 % m v⁻¹ con CH₃COOH al 1,0 % fueron preparadas. Se pesó 0,1 g de los quitosanos en polvo para cada caso, se enrasó en una fiola de 100 mL y se agitó hasta disolución. La solución se esparció en una placa petri y se secó en estufa a 60 °C por 5 h, luego se lavó dos veces con una solución amoniacal al 8 %, dos veces con agua desionizada y finalmente con metanol. La película obtenida, se secó a 60 °C hasta peso constante (Khan et al., 2002). Se tomó la lectura con un espectrofotómetro Shimadzu IR modelo Prestige 21 localizado

en el Laboratorio de Fisicoquímica de la Facultad de Ciencias- UNI. Las lecturas se realizaron por ATR en modo de transmitancia en el rango de 4000 a 400 cm⁻¹. El grado de desacetilación se determinó mediante la fórmula de Baxter:

$$\% \overline{NH_2} = 100 - (\frac{A_{1655}}{A_{3450}}) \times 115 \tag{1}$$

$$\mathbf{A}_{\mathbf{1655}} = \operatorname{Log}\left(\frac{DF}{DE}\right) \tag{2}$$

$$\mathbf{A}_{3450} = \operatorname{Log}\left(\frac{AC}{AB}\right) \tag{3}$$

Donde; % $\overline{NH_2}$: representa el grado de desacetilación o el número de grupos amino; A_{1655} : absorbancia para los grupos C=O del N-acetilo; A_{3450} : absorbancia para los grupos -OH; DF y AC: corresponden a las distancias hasta las líneas base señaladas según la longitud de onda; DE y AB: distancias hasta los picos de absorción según el grupo funcional de interés.

3.3.2. Determinación del grado de desacetilación por titulación conductimétrica

Otro método muy utilizado para la determinación del % DD en quitosano, es el de titulación conductimétrica. La conductancia de una muestra está en función de la sumatoria de conductividad de los iones H⁺ y OH⁻ en solución; debido a que son los iones más conductores, además son directamente proporcionales a la temperatura y concentración (Chirinos, 2013). Para la metodología se disolvieron 250 mg de QPC o QC en 20 mL de HCl 0,05 mol L⁻¹ y se mantuvo bajo agitación constante a 300 rpm por 18 h a 25 °C. La solución obtenida se enrasó en una fiola de 250 mL con agua desionizada, se extrajeron 3 alícuotas de 50 mL que se titularon poco a poco con NaOH previamente estandarizado de 0,10 y 0,09 mol L⁻¹ para QPC y QC, respectivamente. Seguidamente se midió la conductividad en µS cm⁻¹ para cada volumen titulado repitiendo tres veces cada medida conductimétrica y se determinó el grado de desacetilación mediante la fórmula:

$$\% \overline{NH_2} = \frac{161 \times (V_2 - V_1) \times [\text{NaOH}] \times 100}{m}$$
 (4)

Donde; $\sqrt[6]{NH_2}$: representa el grado de desacetilación o el número de grupos amino, **Factor 161:** masa molecular de las unidades monoméricas del quitosano (g mol⁻¹); V_2 y V_1 : volúmenes de solución de NaOH correspondientes a los puntos de deflexión en litros (L), [NaOH]: molaridad de la solución NaOH (mol L⁻¹) y **m**: masa de la muestra en gramos (g).

3.3.3. Determinación del peso molecular por el método de viscosimetría

El peso molecular de un polímero brinda información de la distribución de los monómeros presentes; el tamaño de la cadena está directamente relacionada al peso molecular. El peso molecular de los polímeros es el peso promedio de los monómeros y brinda información de la longitud de la cadena. El peso molecular de los quitosanos comerciales oscilan entre 50 a 2000 kDa clasificándose como quitosano de peso molecular bajo (< 100 kDa), medio (100 a 1000 kDa) y alto (> 1000 kDa) (Mourya et al., 2011; Santoso et al., 2020). La viscosimetría es un método práctico y rápido que se utiliza para determinar el peso molecular promedio de un polímero. Cuando un polímero es disuelto en un líquido, ambos fluyen en la disolución aumentando la viscosidad que depende del peso molecular, la concentración, la temperatura y la fuerza iónica (Bégin & Van Calsteren, 1999).

El peso molecular promedio (\overline{M}_v) de un polímero está directamente relacionada a su viscosidad intrínseca [η] y se determina mediante la fórmula de Mark-Houwink-Sakurada con los valores de K y α que dependen de la temperatura, naturaleza del buffer y el grado de desacetilación de los quitosanos. Según el grado de desacetilación de QPC y QC obtenido previamente, se ha escogido el buffer de ácido acético/acetato de sodio (0,25 mol L⁻¹ HAc/0,25 mol L⁻¹ NaAc) y valores de K =1,57 x 10⁻⁵ L g⁻¹ y α = 0,79 (Kasaai, 2007). Para determinar el valor de [η] se recurre a las fórmulas mostradas en la tabla 4.

Tabla 4Fórmulas implicadas en el cálculo de la viscosidad intrínseca

Nombre común	Símbolo y ecuación que lo define
Viscosidad relativa (η _r)	$\eta_r = t / t_0$
Viscosidad específica (η_{sp})	$\eta_{\mathrm{sp}}=\eta_{\mathrm{r}}$ -1
Viscosidad reducida (η_{red})	$\eta_{\rm red} = \eta_{\rm sp} / { m C}$
Viscosidad inherente (η_{inh})	$\eta_{inh} = (Ln \ \eta_r) / \ C$
Viscosidad intrínseca (η)	$[\eta] = \lim_{c o 0} \eta_{red} = \lim_{c o 0} \eta_{inh}$

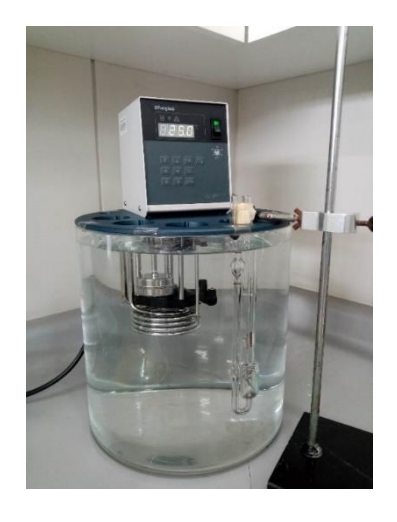
El peso molecular promedio del quitosano es calculado mediante la ecuación 5 de Mark-Houwink-Sakurada, como se muestra a continuación.

$$[\eta] = K. (\overline{M_V})^{\alpha} \tag{5}$$

Donde; $[\eta]$: viscosidad intrínseca del quitosano despolimerizado, "K" y " α " son constantes para un determinado de sistema (K = 1,57 x 10⁻⁵ L g⁻¹ y α = 0,79) (Arulmoorthy et al., 2019; Kasaai, 2007).

Para determinar los pesos moleculares de QPC y QC, se disolvió por separado 151,6 mg de QPC y 174,86 mg de QC con 50 mL de solución buffer para cada caso, por 400 rpm por 24 h a 25 °C. Se prepararon soluciones a distintas concentraciones de quitosano de ~ 1; 1,5; 2,0 y 3,0 g L⁻¹ para QPC y ~ 2; 2,5; 3,0 y 3,5 g L⁻¹ para QC en fiolas de 10 mL con el mismo buffer. Se midieron los tiempos de caída con un cronómetro, de 10 mL de cada solución sobre dos puntos fijos en el viscosímetro capilar de vidrio marca Ubbelohde (Costa et al., 2015) sumergido en el baño termostático de marca Fungilab como se muestra en la figura 14.

Figura 14Equipo de baño termostático empleado en el método viscosimétrico



3.3.4. Caracterización por Espectroscopía infrarroja (FT-IR)

Los espectros FT-IR confirman la presencia de grupos funcionales en la estructura de los polímeros. Las lecturas FT-IR de las ocho muestras fueron obtenidos con un espectrofotómetro Shimadzu IR modelo Prestige 21 con reflectancia total atenuada (ATR) en el rango de 4000-400 cm⁻¹ localizado en el Laboratorio de Fisicoquímica de la Facultad de Ciencias-UNI.

3.3.5. Caracterización por difracción de rayos X (DRX)

Los polímeros pueden ser semicristalinos o amorfos dependiendo de su peso molecular, los monómeros que lo conforman y su historial térmico. La cristalinidad de un polímero se refiere al grado de ordenamiento de las cadenas del polímero y se entiende como el empaquetamiento de largas cadenas moleculares para generar una disposición atómica ordenada en ciertas regiones (Crawford & Quinn, 2017). Las regiones ordenadas (cristalitos) tienen la propiedad de dispersar los rayos X que provienen de la fuente del equipo, estos ángulos de dispersión (2θ) son captados por el detector y generan el difractograma en el análisis DRX. El difractograma exhibe los picos de difracción o los denominados "halos" cuando se tratan de polímeros que ayudan a identificar la muestra analizada (Forsgren et al., 2013; Karava et al., 2020). El quitosano es un polímero semicristalino; ya que, presenta regiones cristalinas dispersas en un material amorfo. La cristalinidad del quitosano se debe a los fuertes puente de hidrógeno intramoleculares en sus grupos -OH e intermoleculares entre los grupos -NH₂ y -OH (Li et al., 2013; Saita et al., 2012).

Los difractogramas se realizan en función del ángulo de dispersión (2θ) versus la intensidad. El porcentaje de cristalinidad (X_c) de las muestras, se calcula con la ecuación 6, donde las áreas respectivas del difractograma se determinan a través del programa Origin 2023:

$$Xc (\%) = \frac{A_c}{A_t} \times 100$$
 (6)

Donde; Ac: Sumatoria de las áreas bajo los picos que representas la región cristalina y $A_{t:}$ área total de la región amorfa y cristalina.

Se utilizó un equipo difractómetro de rayos X marca Rigaku de modelo Miniflex 2, con tubo de cobre ubicado en el IPEN y las muestras se midieron con ángulo $5^{\circ} < 2\theta < 70^{\circ}$, longitud de onda de 1,54 Å, paso de 0,01 y 0,6 s (Moussout et al., 2016).

3.3.6. Caracterización por análisis termogravimétrico (TGA)

El análisis termogravimétrico (TGA) y termogravimetría diferencial (DTG) brindan información del comportamiento térmico de las muestras. Las curvas TGA de quitosano presentan dos principales intervalos de temperatura de pérdida de peso. El primero de 20 a 125 °C con 7 a 10 % en pérdida de peso, corresponde a la etapa de

evaporación de H₂O adsorbida en los quitosanos (deshidratación) (Wegrzynowska-Drzymalska et al., 2020). El segundo paso de 240 a 400 °C viene a ser la principal etapa de descomposición asociada a 40-60 % en pérdida de peso correspondiente a la despolimerización de cadenas poliméricas y la escisión de enlaces glucosídicos por la degradación térmica. A partir de 400°C ocurre la destrucción térmica del anillo de la piranosa en los quitosanos y la descomposición del carbono residual (Moussout et al., 2016). Adicionalmente, la primera derivada de la curva TGA se denomina DTG y se realiza para simplificar la lectura de los picos que aparecen muy cercanos en el termograma de pérdida de peso y temperatura. La curva DTG exhibe picos a la temperatura establecida y el pico máximo (T_{max}) (Singha & Thakur, 2008).

Las curvas TGA y DTG de las muestras de quitosano antes y después del entrecruzamiento con glutaraldehído se realizaron en el equipo analizador térmico simultáneo STA 6000 de marca Perkin Elmer ubicado en el Laboratorio de Fisicoquímica de la Facultad de Ciencias-UNI y se han estudiado muestras de 8 a 20 mg, en el rango de temperatura de 30 a 550 °C con una velocidad de calentamiento de 10 °C min⁻¹, el cual permitirá un mejor monitoreo de cambios físicos y químicos en los polímeros, con un flujo de N₂(g) a un caudal de 20 mL min⁻¹ (Gallardo et al., 2019).

3.3.7. Caracterización por Microscopía electrónica de Barrido (MEB)

Las micrografías brindan información de la superficie y morfología de los ocho polímeros de estudio. Para ello, se preparó una fiola de 100 mL que contenía 1mL ⁹⁹Mo de 4,03 mCi que se enrasó con HCl y NaOH al 0,1 mol L⁻¹ de pH 2, se tomó una alícuota de 10 mL de la solución y se añadió sobre 0,11 g de QPCG-2 o QCG-3 y se dejó agitando 5 y 100 min, respectivamente. Posteriormente, los polímeros con mayor porcentaje de adsorción del ⁹⁹MoO₄⁻² (QPCG-2 y QCG-3) determinados en los cálculos de actividad fueron analizados mediante MEB acoplado a Espectroscopía dispersiva de Rayos X (MEB-EDS) para evidenciar la presencia de molibdeno. Se ha empleado el equipo de MEB por emisión termoiónica marca Zeiss modelo Evo MA10 ubicado en el Laboratorio de Microscopia Electrónica de la Facultad de Ciencias-UNI.

3.3.8. Caracterización por Resonancia Magnética Nuclear de fase sólida (ss-RMN)

La Resonancia magnética Nuclear de estado sólido (ss-RMN) al igual que la RMN de muestras líquidas brinda información estructural de la molécula mediante las

interacciones magnéticas de los núcleos atómicos. Mediante el ss-RMN se puede estudiar diversos tipos de muestras sólidas como polvos, metales, vidrio, caucho y superconductores (Zwanziger & Spiess, 2005). Se analizaron las muestras QPC, QC, QPCG-2 y QCG-3 en un espectrómetro Bruker UltraShield de 600,13 MHz equipado con un imán de 14,1 T que funciona a frecuencias de Larmor de 150 MHz para ¹³C en el laboratorio CONICET de Universidad de Buenos Aires en Argentina. Los experimentos de ¹³C CP-MAS (polarización cruzada y giro de ángulo mágico) se realizaron en una sonda MAS de 3,2 mm. El tiempo de contacto durante la CP fue de 2 ms. La secuencia SPINAL64 (pequeña alternancia incremental de fase con 64 pasos) se utilizó para el desacoplamiento heteronuclear durante la adquisición. CT: 2 ms, frecuencia de repetición 5 s, NS: 4096.

3.3.9. Caracterización por Espectroscopia FT- Raman

Es una técnica espectroscópica que proporciona información estructural permitiendo identificar las moléculas. Se hace incidir luz monocromática (láser) a la muestras que generan vibraciones moleculares y excitaciones en el sistema, que alteran la energía de los fotones de incidencia. El cambio de energía proporciona el espectro Raman que brinda información similar y complementaria a la espectroscopia Infrarroja.

Las mediciones FT-Raman de QPC, QC, QPCG-2 y QCG-3 se obtuvieron empleado un rayo láser de excitación de 1064 nm usando una potencia de 0,5 W y acumulando 400 escaneos a la resolución de 8 cm⁻¹ con un espectrómetro avanzado Nicolet iS50 de la marca Thermo Fisher en el laboratorio CONICET de la Universidad de Buenos Aires en Argentina.

3.3.10. Grado de entrecruzamiento de los polímeros

El grado de entrecruzamiento (G.E) de los seis polímeros entrecruzados se han realizado mediante el método de extracción por Soxhlet (Hirschl et al., 2013) utilizando como solvente ácido acético al 5%, a esta baja concentración se solubiliza la fracción no entrecruzada, mientras que la fracción entrecruzada es la fracción insoluble determinada por los enlaces del quitosano y glutaraldehído. Finalizado el tiempo de reflujo, los geles son secados en la estufa por otras 24 horas a 60 °C para eliminar el solvente y realizar el posterior pesado de las muestras. Para la metodología se pesaron muestras de 0,5 g (W₁) de los polímeros entrecruzados, se colocaron en el cartucho y se extrajo en el equipo

Soxhlet con ácido acético al 5% a 70°C por 24 h. Luego del tratamiento, el residuo insoluble fue secado a 60°C por 24 h y pesado (W₂). El grado de entrecruzamiento (contenido de gel) se calculó siguiendo la ecuación:

G.E (%) =
$$\frac{W_2}{W_1} \times 100$$
 (7)

Donde; W2: peso luego de la extracción, W1: peso inicial de la muestra

3.3.11. Determinación del punto de carga cero

El punto de carga cero (pH_{PZC}) es un parámetro importante en la capacidad de adsorción de un material que estudia el efecto de pH (Mincke et al., 2019; Rawat & Maiti, 2021) y brinda información acerca de la estabilidad potencial de un polímero en solución. El pH_{PZC} se define como el pH donde la carga total neta (interna y externa) de las partículas del material adsorbente es neutra; es decir, donde el número de sitios positivos es igual al número de sitios negativos (Alarcón Barrón, 2019). A partir del valor del pH_{PZC} se puede establecer la carga que posee un material en variación al medio de pH que se emplea. Si la solución de pH es menor al valor del pH_{PZC}, los materiales polímeros tendrán carga positiva; por el contrario, si la solución de pH es mayor al valor del pH_{PZC}, los materiales tendrán carga negativa (Jawad et al., 2016; Velempini et al., 2019).

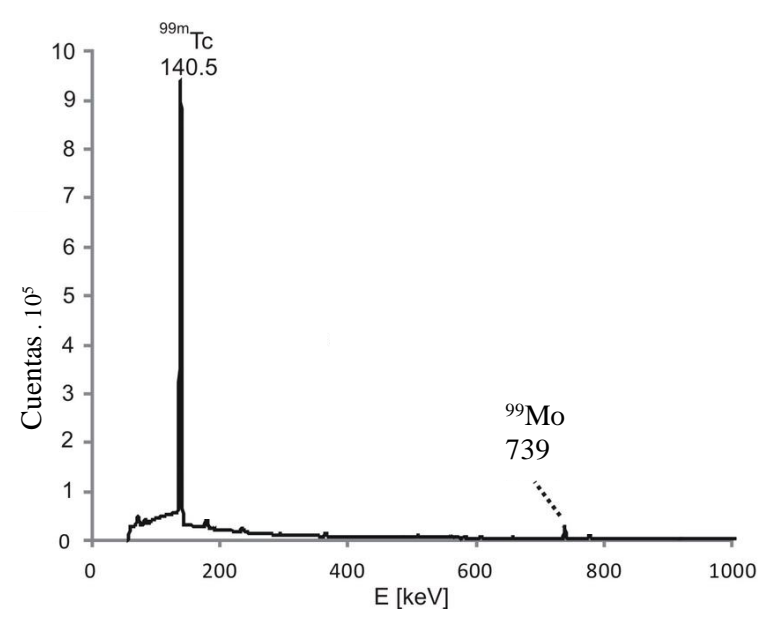
Para determinar el pH_{PZC} de los QPCG y QCG se utilizó el método de la derivada de pH simple. Se prepararon soluciones de HCl y NaOH al 0,1 mol L⁻¹ en el rango de pH de 2 a 12; luego se pesó 0,03 g de polímero adsorbente y se mezcló con 30 mL de cada solución preparada a determinado pH con una agitación constante de 120 rpm durante 48 h a temperatura ambiente (Islam et al., 2017). Finalmente, se filtró y se midió el pH de equilibrio de cada solución. Se realizó un gráfico entre la diferencia del (pH_{Final}- pH_{inicial}) vs pH_{inicial} para identificar el punto de intersección de la regresión lineal con el eje X; es decir, el pH en el que el pH_{inicial} = pH_{final} es el punto de carga cero (Rawat & Maiti, 2021).

3.4. Factores que influyen en el proceso de adsorción de ⁹⁹Mo

Los análisis de adsorción se realizaron con ⁹⁹Mo (n,y) irradiado en el reactor Nuclear RP-10 de 10 Megavatios de potencia y flujo de 10¹⁴ n cm⁻² s⁻¹ del IPEN ubicado en Huarangal, Carabayllo-Perú. En la figura 15, se muestra un espectro típico obtenido por espectroscopia gamma de alta resolución con detector de germanio de alta pureza, modelo GC7019 de la marca Mirion Technologies, Eficiencia 75 %, Resolución 22.2

keV; donde el eje Y corresponde a las cuentas en el equipo y el eje X corresponde a las energías en kilo-electronvoltios (keV) de los radioisótopos. En el pico de 739 keV aparece solo ⁹⁹Mo y en 140 keV aparece ^{99m}Tc y ⁹⁹Mo cuya actividad fue calculado con las ecuaciones del 8-11 y para determinar el área de ^{99m}Tc puro se ha restado la contribución del ⁹⁹Mo aplicando la fórmula 12 y 13.

Figura 15Espectro típico de ⁹⁹Mo y ^{99m}Tc obtenido en el detector Canberra de Germanio Hiperpuro



Fuente: Adaptado de (Bzymek et al., 2016)

A continuación, se presentan las ecuaciones para el cálculo de actividad de los radioisótopos:

• Cálculo de la actividad por espectrometría gamma:

$$A_O = \frac{P. e^{\lambda . t} d \cdot \frac{t_r}{t_v} \cdot \lambda}{\eta \cdot h \cdot (1 - e^{\lambda . t_r}) \cdot 37000}$$
(8)

Donde; **P:** Área neta del fotopico analizado en cuentas acumuladas, λ : Periodo de semidesintegración del radioisótopo (s⁻¹), t_d : tiempo de decaimiento (s), t_r : Tiempo real del contaje (s), t_r : Tiempo vivo del contaje (s), η : Eficiencia del detector, h: Abundancia absoluta del rayo gamma en fotones emitidos por desintegración, A_0 : Actividad a tiempo de decaimiento cero (μ Ci).

• Cálculo de la concentración de actividad por espectrometría gamma:

$$C.A = \frac{A_0}{V} \tag{9}$$

Donde; C.A: concentración de la actividad, A₀: Actividad a tiempo de decaimiento cero (μCi) y V: volumen de la alícuota de la solución en contacto con el polímero (mL).

• Cálculo del porcentaje de adsorción por espectrometría gamma:

$$P(\%) = \frac{C.A (blanco) - C.A (polímero)}{C.A (blanco)} \times 100\%$$
 (10)

Donde; **C. A** (blanco): concentración de la actividad del radioisótopo sin contacto con el polímero (μCi mL⁻¹), **C. A** (polímero): concentración de la actividad del radioisótopo en contacto con el polímero (μCi mL⁻¹).

• Cálculo del coeficiente de distribución por espectrometría gamma:

$$K_{d} = \frac{C.A (blanco) - C.A (polímero)}{C.A (polímero)} \times \frac{V}{m}$$
 (11)

Donde; $\mathbf{K_d}$: coeficiente de distribución, \mathbf{C} . \mathbf{A} (blanco): concentración de la actividad del radioisótopo sin contacto con el polímero ($\mu \text{Ci mL}^{-1}$), \mathbf{C} . \mathbf{A} (polímero): concentración de la actividad del radioisótopo en contacto con el polímero ($\mu \text{Ci mL}^{-1}$), \mathbf{V} : volumen analizado (μL) y \mathbf{m} : masa del polímero (\mathbf{g}).

• Cálculo de la contribución de ⁹⁹Mo en el pico de 140 keV

$$\frac{A_1}{\eta_1 h_1} = \frac{A_2}{\eta_2 h_2} \tag{12}$$

Donde; **A**₁: área problema de ⁹⁹Mo en 140 keV, **η**₁: Eficiencia del vial calculado para ⁹⁹Mo en 140 keV, **h**₁: Abundancia absoluta del rayo gamma de ⁹⁹Mo a 140 keV. **A**₂: área calculada de ⁹⁹Mo en 739 keV, **η**₂: Eficiencia del vial calculado para ⁹⁹Mo en 739 keV, **h**₂: Abundancia absoluta del rayo gamma de ⁹⁹Mo a 739 keV.

• Cálculo de la contribución de ⁹⁹Mo en el pico de 140 keV

$$A = A_0 \times e^{-\lambda t} \tag{13}$$

Donde; A: actividad en el tiempo t, A_0 : actividad inicial, λ : Periodo de semidesintegración del radioisótopo (s⁻¹), t: Tiempo transcurrido(s).

3.4.1. Estudio del efecto de pH en el proceso de adsorción de 99 Mo

El pH es uno de los parámetros importantes, ya que, una variación puede afectar las cargas de los grupos funcionales de los materiales adsorbentes (Velempini et al., 2019). Se estudió el efecto de la variación de pH en la capacidad de adsorción de los QPCG y QCG sobre ⁹⁹MoO₄-²; para ello, se prepararon soluciones de HCl y NaOH al 0,1 mol L⁻¹ en el rango de pH de 2 a 13; luego se pesaron 0,1 g de QPCG y QCG, a los cuales se les añadió 9 mL de la solución correspondiente de pH con 1 mL de la solución de ⁹⁹MoO₄-² para cada muestra, finalmente se filtró y reservó 1 mL de la solución en viales con tapón de butilo para su posterior medición por espectrofotometría gamma.

3.4.2. Efecto de la variación de masa del polímero adsorbente sobre ⁹⁹Mo

Para este análisis, se pesaron réplicas de QPCG y QCG de 0,05; 0,1; 0,2 y 0,4 g en tubos cónicos; seguidamente se añadieron 10 mL de la solución ⁹⁹MoO₄-² previamente diluida en una fiola de 250 mL, cada muestra se llevó a agitación constante en el equipo orbital VXR basic Vibrax de la marca IKA a 600 rpm al tiempo óptimo de agitación obtenido en el estudio de tiempo de contacto para luego filtrar al vacío con filtros de 0,22 µm de porosidad y 47 µm de diámetro en embudo Büchner de vidrio y reservar 1 mL del filtrado en viales de vidrio con tapón de butilo para finalmente medir la actividad en el espectrómetro gamma.

3.5. Estudio de la cinética de adsorción

Se pesaron ocho réplicas de QPCG y QCG de 0,1 g; seguidamente se añadieron 10 mL de una solución de ⁹⁹MoO₄-² y se llevaron a agitación constante en el equipo orbital VXR basic Vibrax de la marca IKA, a diferentes tiempos de 5, 15, 30, 60, 100 y 120 min. Pasado el tiempo indicado, cada muestra era filtrada al vacío con filtros de 0,22 µm de porosidad y 47 µm de diámetro en embudo Büchner de vidrio para reservar 1 mL del filtrado en viales de vidrio con tapón de butilo para finalmente medir la actividad en el espectrómetro gamma. Se analizó si la cinética de adsorción rige un modelo de pseudo primer o segundo orden empleando las ecuaciones 14 y 15.

El modelo cinético de pseudo primer orden es un proceso rápido que se basa en la fisisorción, el cual está relacionada a enlace débiles como las fuerzas de Van der Waals que determinan la adsorción por difusión a través de la interfase. El modelo cinético de pseudo segundo orden es un proceso lento que se basa en la quimisorción, relacionado a

la adsorción del adsorbato en la superficie del adsorbente mediante enlaces fuertes como interacciones electrostáticas, quelación, enlaces de coordinación, enlaces covalentes, enlaces metálico y depende de la capacidad de adsorción del material y no de la concentración de adsorbato en la solución (Sahoo & Prelot, 2020).

Modelo de pseudo primer orden:

$$\log (q_e - q_t) = \log(q_e) - \frac{k_1}{2.303} t$$
 (14)

Donde $\mathbf{k_1}$: Constante cinética de velocidad de primer orden (min⁻¹), $\mathbf{q_t}$: Cantidad adsorbida de adsorbato en función al tiempo (mg g⁻¹), $\mathbf{q_c}$: Cantidad adsorbida de adsorbato en el equilibrio (mg g⁻¹), \mathbf{t} : Tiempo transcurrido (min).

Modelo de pseudo segundo orden:

$$\frac{t}{q_t} = \frac{1}{k_2 \ q_e^2} + \frac{1}{q_e} \ t \tag{15}$$

Donde; q_i : Cantidad adsorbida de adsorbato en función al tiempo (mg g^{-1}), k_2 : Constante cinética de velocidad de segundo orden (m $g^{-1}g$ min $^{-1}$), q_e : Cantidad adsorbida de adsorbato en el equilibrio (mg g^{-1}), t: Tiempo transcurrido (min).

3.6. Estudio de la isoterma de adsorción

La isoterma de adsorción es una herramienta que ayuda para describir la interacción entre el adsorbato y el adsorbente (Fu et al., 2021). Para ello, se prepararon diez soluciones del ion MoO₄-² a partir de la sal de molibdato de sodio dihidratado (Na₂MoO₄.2H₂O) con concentraciones de 4,2 mmol L⁻¹ hasta 167 mmol L⁻¹ en fiolas de 50 mL que contenían 10 mL de la solución de ⁹⁹Mo como radiotrazador a pH óptimo y se enrasó con buffer de ácido acético/acetato de sodio 0,1 mol L⁻¹. Se pesaron 10 réplicas de 0,1 g de los seis polímeros entrecruzados en tubos cónicos, se adicionaron 10 mL de la solución previamente preparada del ion ⁹⁹MoO₄-² y se dejó en agitación según el tiempo de contacto óptimo por grupo. Luego, se filtró y tomó una alícuota de 1 mL en viales de vidrio con tapón de butilo. Finalmente se medió la actividad de las muestras en un espectrómetro gamma para analizar los datos de equilibrio con ayuda de los modelos de isotermas teóricas de Langmuir, Freundlich, Temkin y Dubinin-Radushkevich mediante las ecuaciones del 16 al 22:

Modelo de Langmuir:

$$\frac{C_e}{q_e} = \frac{1}{K_L \cdot q_m} + \frac{C_e}{q_m} \tag{16}$$

$$R_{L} = \frac{1}{1 + K_{I}.C_{i}} \tag{17}$$

Donde; $\mathbf{C_e}$: concentración del adsorbato en el equilibrio en solución después de la adsorción (mg L⁻¹), $\mathbf{q_e}$: capacidad de adsorción en el equilibrio (mg g⁻¹), $\mathbf{K_L}$: constante de Langmuir relacionada a la energía de adsorción (L mg⁻¹), $\mathbf{q_m}$: máxima capacidad de adsorción teórica de Langmuir (mg g⁻¹), $\mathbf{C_i}$: concentración inicial de iones metálicos (mg⁻¹L) y $\mathbf{R_L}$: factor de separación.

• Modelo de Freundlich:

$$ln(q_e) = \frac{1}{n} lnC_e + lnK_f$$
 (18)

Donde; C_e : concentración del adsorbato en el equilibrio en solución después de la adsorción (mg L^{-1}), q_e : capacidad de adsorción en el equilibrio (mg g^{-1}), K_f : constante de Freundlich de capacidad de adsorción $1/\eta$: constante de Freundlich de intensidad de adsorción.

• Modelo de Temkin:

$$q_{e} = B \ln A + B \ln C_{e} \tag{19}$$

Donde; C_e : concentración del adsorbato en el equilibrio en solución después de la adsorción (mg L⁻¹), q_e : capacidad de adsorción en el equilibrio (mg g⁻¹), A: es la constante de unión en equilibrio correspondiente a la máxima energía de unión (L mg⁻¹) y B: constante relacionada al calor de adsorción.

Modelo de Dubinin-Radushkevich:

$$ln(q_e) = ln(q_m) - \beta \mathcal{E}^2 \tag{20}$$

$$\mathcal{E} = RTLn \left(1 + \frac{1}{c_e}\right) \tag{21}$$

$$E = \frac{1}{\sqrt{2\beta}} \tag{22}$$

Donde; $\mathbf{q_e}$: cantidad de adsorbato adsorbido por unidad de peso de adsorbente en el equilibrio (mg g⁻¹); $\mathbf{q_m}$: máxima capacidad de adsorción del adsorbente (mg g⁻¹); $\boldsymbol{\beta}$: constante relacionada a la capacidad de adsorción; $\boldsymbol{\epsilon}$: potencial de Polanyi relacionado a la concentración de equilibrio (kJ² mol⁻²); \mathbf{R} : constante de los gases (8,314 J mol⁻¹ K⁻¹), \mathbf{T} : temperatura del proceso (K), $\mathbf{C_e}$: concentración del adsorbato en el equilibrio en solución luego de la adsorción (mg L⁻¹), \mathbf{E} : es la constante de energía libre media, indica la capacidad de adsorción por molécula de adsorbato cuando es transferido a la superficie de la matriz sólida desde el infinito de la solución (kJ mol⁻¹).

3.7. Evaluación de la adsorción de ⁹⁹Mo por columna cromatográfica

3.7.1. Optimización para el ensamblado de la columna cromatográfica

El ⁹⁹MoO₄-² en forma de Na₂MoO₄, se obtuvo por irradiación de MoO₃ natural en el reactor Nuclear RP-10 de 10 Megavatios de potencia y flujo de 10¹⁴ cm⁻² s⁻¹ del IPEN. La optimización de la columna cromatográfica se llevó a cabo diluyendo soluciones de ⁹⁹Mo proporcionados por la PPRR y sometiendo a la adsorción de los polímeros entrecruzados óptimos. Se tomaron volúmenes de 10; 5; 2; 1,6; 1,2; 0,9; 0,6 y 0,3 mL; se enrasaron con HCl y NaOH al 0,1 mol L⁻¹ de pH 2 en fiolas de 25 mL. Se agitaron ocho réplicas de 0,4 g de QPCG-2 o QCG-3 con 10 mL de solución del ion ⁹⁹MoO4⁻² por 5 y 100 min respectivamente, luego se filtró y se tomó una alícuota de 1 mL de la solución inicial y del filtrado (rotulados con F, tabla A.1 véase anexo) en viales de vidrio con tapón de butilo para finalmente medir la actividad en el espectrómetro gamma mediante las ecuaciones del 8 al 10.

3.7.2. Ensamblado de columna cromatográfica

El proceso de adsorción se desarrolló en columna cromatográfica o buretas acondicionadas con "frita de vidrio" en la punta; seguidamente se colocó el polímero adsorbente y luego en la parte superior se rellena con "frita de vidrio" nuevamente. Se colocó la solución de iones ⁹⁹MoO₄-² con actividad inicial conocida y se eluyó con NaCl 0,9 % a las ~23 horas para lograr alcanzar una eficiencia del 87,5 % de ^{99m}Tc (Ma & et al., 2022). La elución debe contener el Na ^{99m}TcO₄-, donde el ^{99m}Tc fue detectado a 140 keV y cuantificado en el detector Canberra de Germanio Hiperpuro con la ecuación 8.

Figura 16

Sistema de Columna cromatográfica empleando la matriz de quitosano con glutaraldehído



Fuente: Elaboración propia

Para el empaquetado de la columna cromatográfica del generador ⁹⁹Mo/^{99m}Tc se probaron dos metodologías. Se ha evaluado empaquetar el polímero en seco o húmedo para garantizar una mayor pureza radioquímica de los eluatos mediante las pruebas del control de calidad realizados por la PPRR del IPEN. Se ha empleado 0,4 g de QPCG-2 con 10 mL de la solución de ⁹⁹MoO₄-² previamente diluida a la relación de 1,2 mL del ⁹⁹MoO₄-² en solución de HCl y NaOH al 0,1 mol L-¹ de pH 2 en fiolas de 25 mL.

Para el primer método, se pesaron 0,4 g de QPCG-2 y se trasvasó con 100 mL de agua desionizada a la columna cromatográfica, se secó la columna por presión y se añadieron los 10 mL de la solución de ⁹⁹MoO₄-² previamente diluida. Para el segundo método, se trasvasaron 0,4 g de QPCG-2 en seco a la columna y se añadieron los 10 mL de la ⁹⁹MoO₄-² previamente diluida. Pasada las 23 horas se eluyeron ambas columnas y los eluatos se hacen pasar por una columna de 5 g de alúmina ácida activada (50–200 mesh) como protocolo para el control de calidad realizado por la PPRR.

3.7.3. Determinación del porcentaje de adsorción de ⁹⁹Mo

El porcentaje de adsorción del ion ⁹⁹MoO₄-² se ha determinado agitando 0,4 g de QPCG-2 o QCG-3 con 10 mL de la solución de ⁹⁹MoO₄-² de cierta actividad previamente diluida a la relación de 1,2 mL del ⁹⁹MoO₄-² en solución de HCl y NaOH al 0,1 mol L⁻¹ de pH 2 en una fiola de 25 mL. Luego de la agitación, se filtró y se midió la actividad de 1 mL la solución filtrada de ambos polímeros y de la solución inicial de ⁹⁹MoO₄-².

3.7.4. Determinación del rendimiento de elución del 99mTc

El ⁹⁹Mo (n,y) se encuentra como la especie de ion ⁹⁹MoO₄-², este se adsorbe en la columna cromatográfica y decae periódicamente hasta ^{99m}TcO₄-, luego es recuperado por intercambio iónico al inyectar una solución de NaCl 0,9 % produciendo Na^{99m}TcO₄ como eluído (Uzunov et al., 2018). El rendimiento de elución del ^{99m}TcO₄- se estudió por cinco días cada 23 h para las dos columna ensamblada con QPCG-2 y QCG-3 empleando la solución de ⁹⁹MoO₄-² de cierta actividad previamente diluida a la relación de 1,2 mL del ⁹⁹MoO₄-² en solución de HCl y NaOH al 0,1 mol L-¹ de pH 2 en una fiola de 25 mL. Se añadió 20 mL de la solución sobre 0,8 g de polímero entrecruzado.

3.7.5. Control de calidad del Na^{99m}TcO₄ final

El control de calidad de los eluatos fue reportado por la PPRR del IPEN, quienes realizaron ensayos fisicoquímicos y nucleares, tales como: aspecto, pH, determinación de alúmina, identificación y pureza radionucleídica, relación radiactiva ⁹⁹Mo/^{99m}Tc e identificación de otros radionúclidos emisores gamma (figura B.1, véase anexo). Esto con la finalidad de cumplir con los estándares de calidad para radioisótopos direccionados a la medicina nuclear. Se colocó una alícuota de muestra de cada fracción de eluato en un trozo de papel de filtro y se midió en el espectrómetro gamma acoplado con el detector Canberra de Germanio Hiperpuro calibrado y un analizador multicanal (MCA). Se utilizó un contenedor de plomo para eliminar claramente un fotón de ^{99m}Tc de 140 keV. La actividad de ruptura del ⁹⁹Mo se medió en un pico de rayos gamma de 739 keV (Saptiama et al., 2016). El sistema de generador de ⁹⁹Mo/^{99m}Tc fue eluído cada 23 h y la calidad de los eluatos se ha determinado mediante las ecuaciones 23 y 24 (Chakravarty et al., 2019).

Porcentaje de elución (%) =
$$\frac{A_S}{A_2}$$
 x 100 (23)

Donde; A_S : actividad experimental del ^{99m}Tc eluído de la columna cromatográfica, A_2 : actividad teórica esperada del ^{99m}Tc y se calcula con la siguiente ecuación :

$$A_2 = A_1 \times 0.875 \times \frac{\lambda_2}{\lambda_2 - \lambda_1} \times (e - \lambda_1 t - e - \lambda_2 t)$$
 (24)

Donde; A_1 : actividad del ⁹⁹Mo, λ_1 : constante de decaimiento del ⁹⁹Mo, λ_2 : constante de decaimiento del ⁹⁹mTc y t: tiempo permitido para el crecimiento del eluato.

CAPÍTULO IV: DISCUSIONES DE RESULTADOS

4.1. Síntesis del polímero de quitosano entrecruzado

La tabla 5 muestra las masas iniciales de quitosanos empleados y las masas finales de los polímeros obtenidos luego de la liofilización.

Tabla 5Cantidades de quitosano para la síntesis de polímeros entrecruzados

Código de polímeros	Concentración de glutaraldehído	Masa inicial de quitosano	Masa final de quitosano	Rendimiento
•	(%)	(g)	entrecruzado (g)	
QPCG-1	50	12	10,91	90,92
QPCG-2	40	12	10,64	88,67
QPCG-3	25	12	8,07	67,25
QCG-1	50	8	7,88	98,5
QCG-2	40	8	7,55	94,38
QCG-3	25	8	6,00	75,00

El rendimiento en la síntesis de los polímeros es superior para los derivados de QC, debido a mayor porcentaje de grupos -NH₂ disponibles para entrecruzar con el glutaraldehído. En la síntesis, el CH₃COOH glacial juega un papel importante en la solubilidad del quitosano; ya que posee grupos –COOH que interactúan con los grupos -NH₂ del quitosano mediante puentes de hidrógeno facilitando su disolución (Huang & Tsai, 2020). También la adición del HCl concentrado puede protonar los grupos -NH₂ del quitosano hasta -NH₃⁺ dejándolo cargado para una posible interacción electrostática. La incorporación de la solución de glutaraldehído sea al 50, 40 o 25 % permite la formación de un gel semi-sólido que intensifica su color con el aumento de la concentración del glutaraldehído desde un amarillo tenue a rojo ladrillo (Monteiro & Airoldi, 1999). El gel se forma por la reacción de bases de Schiff entre los grupos -NH2 del quitosano y -OH del glutaraldehído (Martínez-Mejía et al., 2019). El producto final se lavó con una solución de monoetanolamina al 2% para eliminar el glutaraldehído que no ha reaccionado previamente; es decir, el glutaraldehído residual (Levy et al., 2001); ya que los grupos -NH2 de la monoetanolamina interactúan con los grupos -OH del glutaraldehído y así eliminar el glutaraldehído residual (Shameen Hasan, 2019).

4.2. Caracterización de los polímeros

4.2.1. Determinación del grado de desacetilación por análisis FT-IR

El grado de desacetilación de QPC y QC se ha calculado con la ecuación propuesta por Baxter (1992) que involucra la banda de 3450 cm⁻¹ para los grupos -OH y la banda de amida I a 1655 cm⁻¹ que corresponde al contenido de grupos C=O del N-acetilo (Brugnerotto et al., 2001), como fórmula mejorada de la propuesta por Domszy y Roberts (1985). Domszy y Roberts proponen otra línea base para el cálculo del contenido de amidas I que otros investigadores habían sugerido para la banda de amida II (1560 cm⁻¹); además, cuando se analizaban muestras completamente desacetiladas en el que la banda de amida I está ausente, se obtiene un valor de N-acetilación del 3 a 5% haciéndolo un cálculo inexacto (Baxter et al., 1992); por esto, se ha elegido las líneas base propuestas por Baxter como se muestran en la figura 17 y 18 donde se toma la línea base para la banda de amida I a 1655 cm⁻¹ (Chirinos, 2013; Rondón Millán, 2013). El espectro infrarrojo de las películas de quitosano nos permite calcular el grado de desacetilación de las muestras.

Figura 17

Espectro infrarrojo de la película de QPC al 0,1 % con las líneas base de Baxter

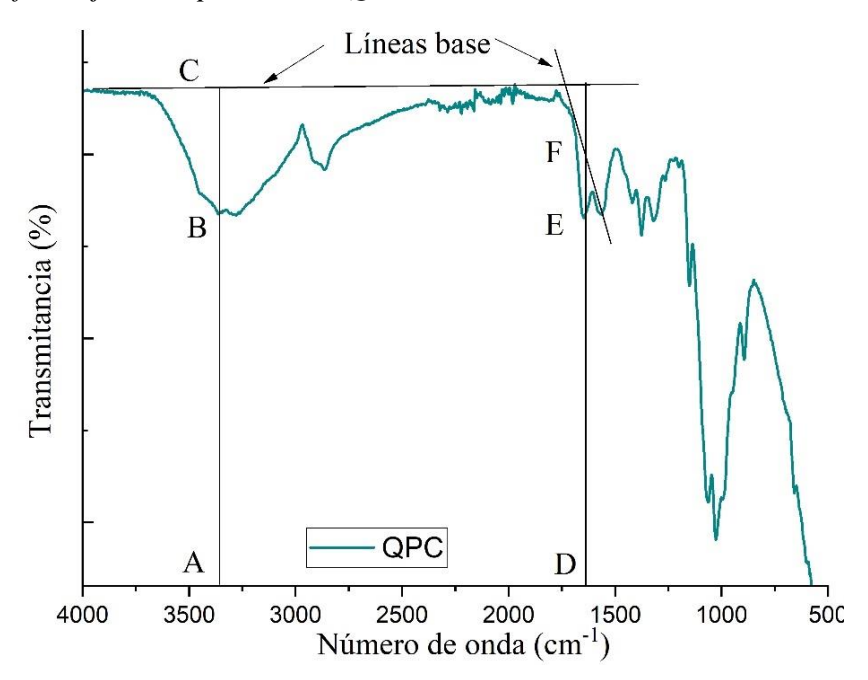
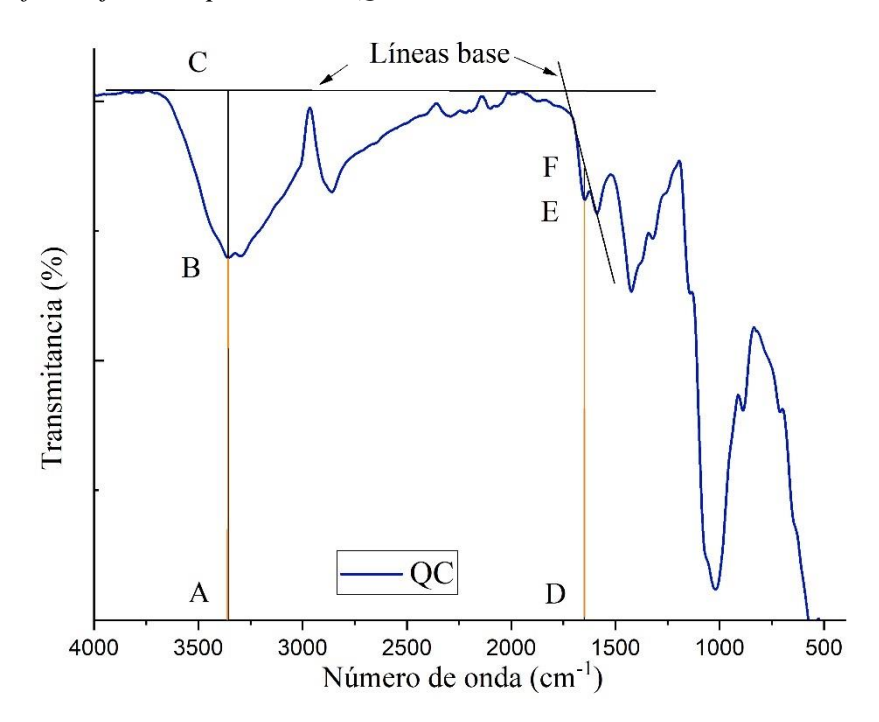


Figura 18

Espectro infrarrojo de la película de QC al 0,1 % con las líneas base de Baxter



Se han determinado los segmentos AB, AC, DE y DF como se muestra en la tabla 6 para emplearlos en las ecuaciones 2 y 3. Finalmente empleando la ecuación 1 se determinó el grado de desacetilación de 73,44 % para QPC y 77,65 % para QC.

Tabla 6Datos de cálculo para la determinación del grado de desacetilación para QPC y QC mediante FT-IR.

MUESTRA SEGMENTO	QPC	QC
DF	39,80	8,72
DE	29,89	8,10
AC	50,00	10,20
AB	14,47	6,98
$\log (DF/DE) = A1655$	0,12	0,03
$\log (AC/AB) = A3450$	0,54	0,16
Grado de desacetilación (%NH2)	73,44	77,65

4.2.2. Determinación del grado de desacetilación por titulación conductimétrica

Las figuras 19 y 20 corresponden a las curvas generadas por el volumen titulado versus la conductividad para QPC y QC, respectivamente. Las curvas presentan buena linealidad antes y después del punto de equivalencia presentando tres segmentos marcados como puntos A, B y C.

Figura 19Valoración conductimétrica para QPC con NaOH

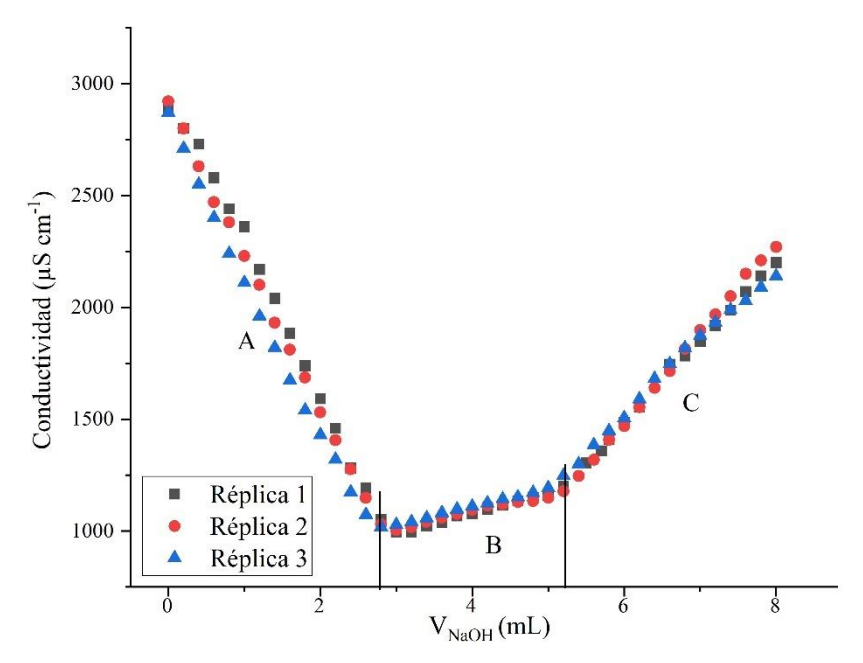
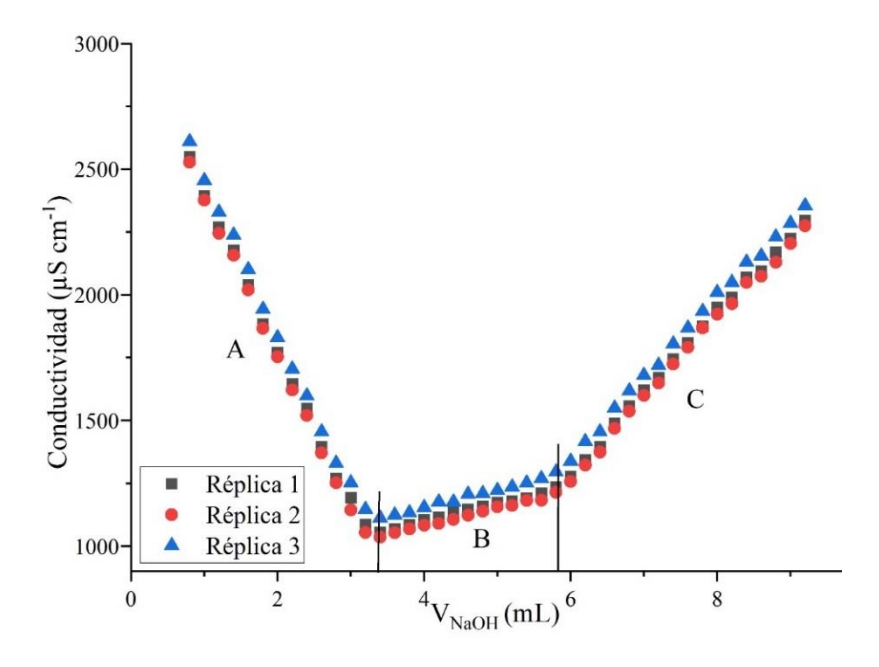


Figura 20Valoración conductimétrica para QC con NaOH



El tramo A representa la neutralización del exceso de HCl incorporado inicialmente para la disolución de los quitosanos, el tramo B representa la neutralización de los grupos amonio, el tramo C representa el exceso de NaOH en la solución (de Alvarenga et al., 2010). El proceso de neutralización se muestra en la figura 21.

Figura 21Esquema de neutralización del quitosano por NaOH durante la titulación

$$\begin{array}{c} \text{OH} \\ \text{NH}_{3}^{+} \text{CI}^{-} \end{array} + \text{HCI} + 2 \text{ NaOH} \\ \begin{array}{c} \text{NAOH} \\ \text{NH}_{2} \end{array} + 2 \text{ NaCI} + 2 \text{ H}_{2}\text{O} \\ \text{NH}_{2} \end{array}$$

Los valores mostrados en la tabla 7 y 8 corresponden al grado de desacetilación ($\sqrt[8]{NH_2}$) de 74,60 % para QPC y 77,01 % para QC calculados mediante la fórmula 4.

Tabla 7Datos para la determinación del grado de desacetilación de QPC

N° réplica	Masa (g)	[NaOH] (mol L ⁻¹)	Tramo	intercepto b	pendiente m	V1 (mL)	V2 (mL)	ΔV (L)	% NH ₂	% NH ₂ promedio
			A	2985,7	-686,3					
1			В	711,22	91,84	2,924	5,172	0,0022	72,73	
			C	-634,04	354,99					
			A	2894,80	-665,19					
2	0,05006	0,10058	В	788,10	74,41	2,870	5,244	0,0023	76,81	74,60
			C	-774,19	377,88					
			A	2805,4	-675,88					
3			В	788,95	80,14	2,708	5,003	0.0023	74,26	
			C	-477,9	333,34					

Tabla 8Datos para la determinación del grado de desacetilación de QC.

N°	Masa	[NaOH]	Tramo	intercepto	pendiente	V1	V2	ΔV	%	% NH ₂
réplica	(g)	(mol L ⁻¹)		b	m	(mL)	(mL)	(L)	NH_2	promedio
			A	3015,20	-614,42					
1			В	823,96	69,21	3,205	5,782	0,0026	77,22	
			C	-603,25	316,08					
			Α	3075,60	-614,97					
2	0,0500	0,0935	В	869,47	71,12	3,216	5,762	0,0025	76,31	77,01
			C	-537,80	315,37					
			Α	3003,00	-620,11					
3			В	805,23	68,99	3,189	5,774	0,0026	77,48	
			C	-613,27	314,64					

Con estos valores, se deduce que el QC presenta mayor porcentaje de grupos -NH₂ disponibles en su estructura para reaccionar con el glutaraldehído, favoreciendo la formación de grupos -NH₃⁺ para la interacción electrostática con el ion MoO₄⁻², cuando se someten los polímeros al medio ácido.

4.2.3. Determinación del peso molecular por el método de viscosimetría

En las figuras 22 y 23 se muestran las curvas de viscosidad-concentración implicadas en el cálculo del peso molecular viscosimétrico de QPC y QC, respectivamente, donde se trazaron los conjuntos de datos para la viscosidad reducida (η_{red}) y para la viscosidad inherente (η_{inh}) en función a la concentración de los quitosanos. Se realiza la regresión lineal para η_{red} y η_{inh} generando ecuaciones de la recta del tipo Y=mX+b, donde b es el valor del intercepto para cada recta ajustada. La extrapolación cuando la concentración de quitosano es cero genera el valor de $[\eta]$ que es el promedio de los valores de b de η_{red} y η_{inh} (Czechowska-Biskup et al., 2018). Los valores de R^2 presentan valores superiores a0,98 indicando una buena correlación de la data.

Figura 22Curvas de viscosidad vs concentración para determinar el peso molecular de QPC

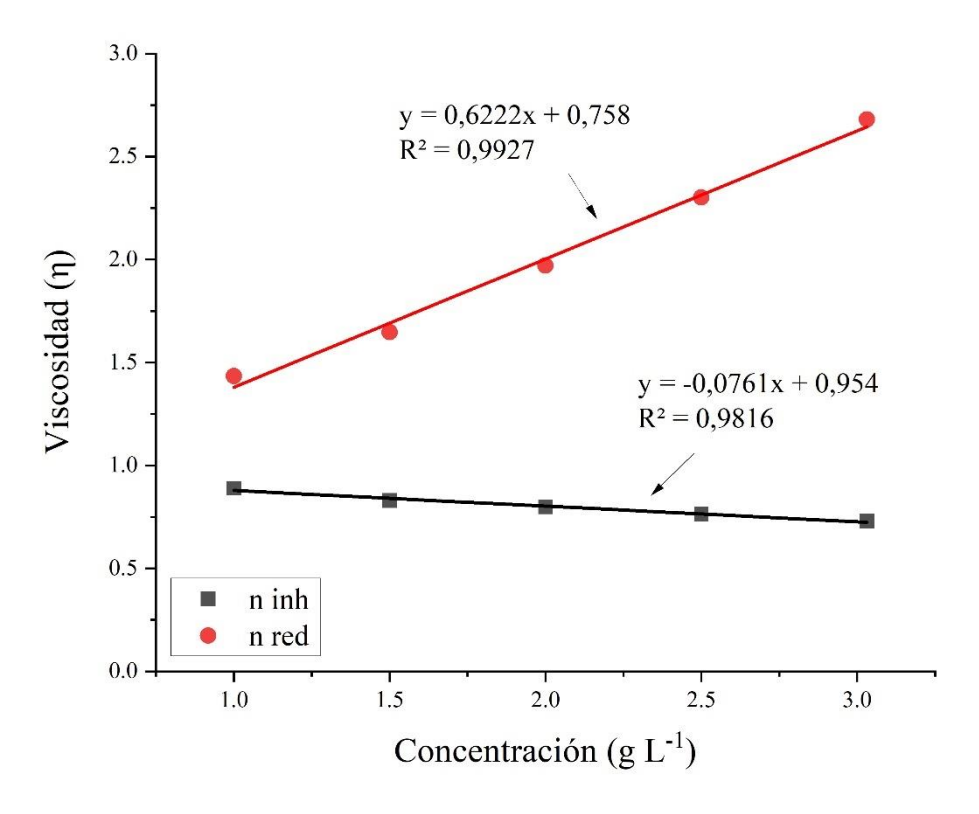
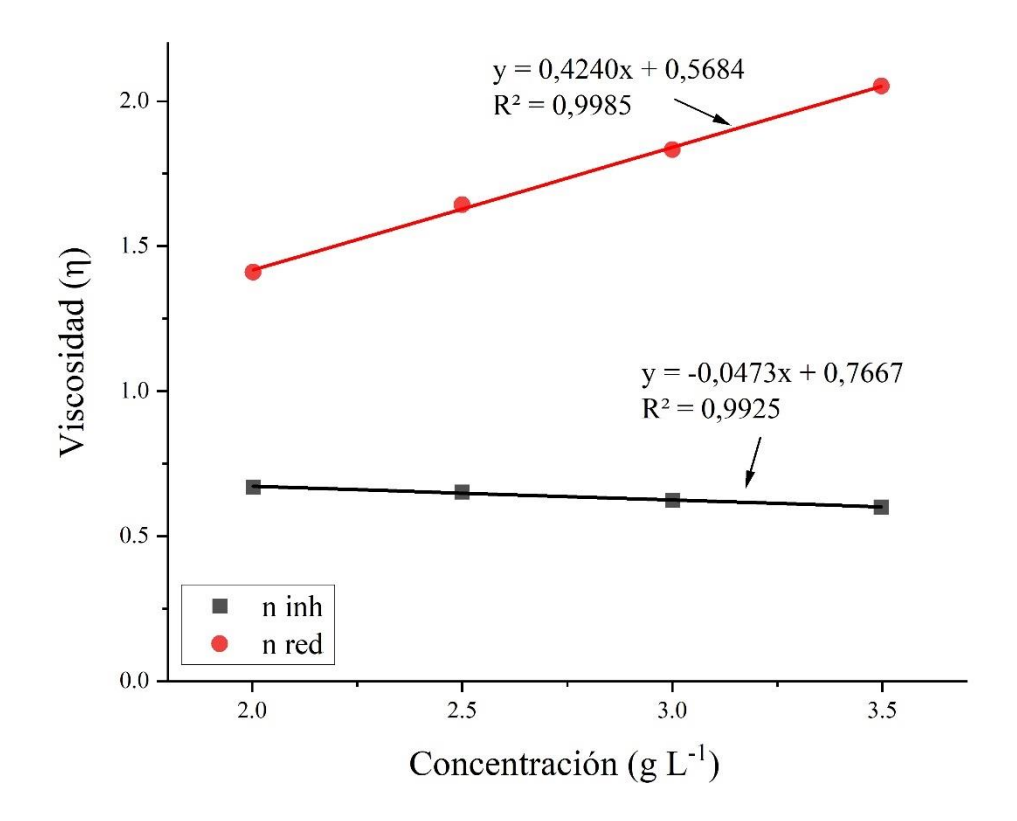


Figura 23Curvas de viscosidad vs concentración para determinar el peso molecular de QC



Las tablas 9 y 10 muestran los valores obtenidos para el cálculo de $[\eta]$ empleando las fórmulas de la tabla 4. Se ha utilizado la ecuación 5 de Mark-Houwink-Sakurada para determinar el peso molecular promedio que resulta ser de 990,72 para QPC y 722,72 para QC. Según la referencia de Kassai (2007) el peso molecular para el buffer escogido oscila desde 25 a 2220 kDa haciendo coherente los resultados obtenidos y clasificando a los quitosanos con peso molecular medio.

Tabla 9Valores implicados en la determinación de la viscosidad intrínseca para QPC

Concentración (g L ⁻¹)	Tiempo promedio (s)	$\eta_{ m r}$	η_{sp}	$\eta_{ m red}$	η_{inh}	[η]	Mv (kDa)
0,0000	197,48	1,0000	0,0000				
1,0000	480,53	2,4333	1,4333	1,4333	0,8893		
1,5000	685,37	3,4706	2,4706	1,6471	0,8296		
2,0000	975,55	4,9401	3,9401	1,9700	0,7987	0,85645	990,72
2,5000	1333,55	6,7530	5,7530	2,3012	0,7640		
3,0320	1802,45	9,1274	8,1274	2,6806	0,7293		

Tabla 10Valores implicados en la determinación de la viscosidad intrínseca para QC

Concentración (g L ⁻¹)	Tiempo promedio (s)	$\eta_{ m r}$	η_{sp}	$\eta_{ m red}$	η_{inh}	[η]	Mv (kDa)
0,000	190,5940	1,0000	0,0000				
2,0030	729,1160	3,8255	2,8255	1,4106	0,6698		
2,4997	973,4360	5,1074	4,1074	1,6431	0,6524	0,66755	722,72
3,0005	1238,4425	6,4978	5,4978	1,8323	0,6237	,	,
3,4972	1558,3525	8,1763	7,1763	2,0520	0,6008		

4.2.4. Espectro infrarrojo FT-IR

La figura 24 muestra una comparación de los espectros FT-IR de QPC y QC con bandas características de 3600-3200 cm⁻¹ que se atribuyen a la vibración de estiramiento de O-H y N-H primarias (Mincke et al., 2019). Las bandas de 2930-2880 cm⁻¹ corresponden a la vibración de estiramiento del grupo C-H (Vijayalakshmi et al., 2016). La banda a 1650 cm⁻¹ corresponde a los grupos C=O del N-acetil residual en la amida I, la banda a 1550 cm⁻¹ se le atribuye a la flexión N-H en la amida II y 1320 cm⁻¹ corresponde al estiramiento C-N en la amida III (Dong et al., 2001; Hermiyati et al., 2019). La banda a 1420 cm⁻¹ se atribuye a la flexión de CH₂ y 1378 cm⁻¹ se atribuye a CH₂-OH o las deformaciones simétricas de CH₃ (Yasmeen et al., 2016). La banda a ~1260 cm⁻¹ hace referencia a la flexión O-H del quitosano (Queiroz et al., 2015). Además, las bandas de 1200-1020 cm⁻¹ corresponden a la vibración de estiramiento de los grupos C-O y C-O-C (Shavandi et al., 2016). La banda de 900-870 cm⁻¹ se atribuye a la absorción del β-(1,4) glucosídico en el quitosano (Abdelmalek et al., 2017).

Por otra parte, las bandas a ~1630 cm⁻¹ aparecen solo si el grado de desacetilación es superior al 50 % y alrededor de 1115 cm⁻¹ solo si es inferior al 50%; tanto para QPC y QC se evidencian bandas de 1640 y 1639 cm⁻¹, respectivamente y no se observan bandas presentes alrededor de 1115 cm⁻¹; esto confirma un valor superior de 50 % para el grado de desacetilación en las muestras (Dong et al., 2001). La tabla 11 muestra una comparación entre los picos de las señales FT-IR de QPC y QC evidenciando la obtención del quitosano a partir de la pluma de calamar y confirmando que se trata de la molécula en mención.

Figura 24

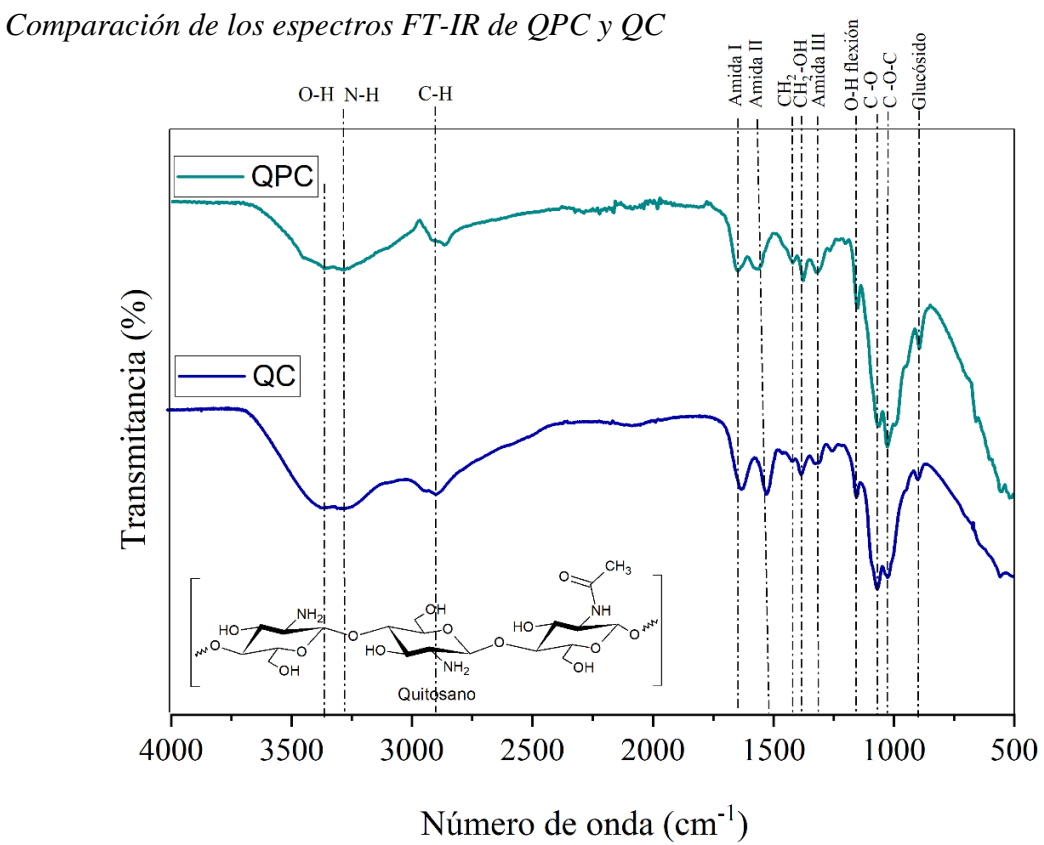


Tabla 11Resumen de las bandas de absorción en FT-IR para QPC y QC

Número de onda (cm ⁻¹)	Asignación	QPC Número de onda (cm ⁻¹)	QC Número de onda (cm ⁻¹)
3600 - 3200	О-Н	3353	3356
3450 - 3200	N-H	3290	3275
2930 - 2880	С-Н	2882	2882
1630	amidas I	1639	1629
1550	amidas II	1578	1544
1320	amidas III	1321	1319
1420	CH_2	1420	1419
1378	CH ₂ -OH	1377	1378
1260	О-Н	1260	1253
	$C \cap C$	1150	1151
1200 - 1020	C-0	1065	1065
	C-O-C	1030	1023
900 - 870	β-(1,4) glucosídico	895	896

Se ha seleccionado un polímero entrecruzado con glutaraldehído derivado de quitosano de pluma de calamar y uno derivado del quitosano comercial para compararlos con sus respectivos quitosanos prístinos. Las figuras 25 y 26 corresponden a las comparaciones entre QPC con QPCG-2 y QC con QCG-2, respectivamente.

Figura 25Comparación de los espectros FT-IR de QPC y QPCG-2

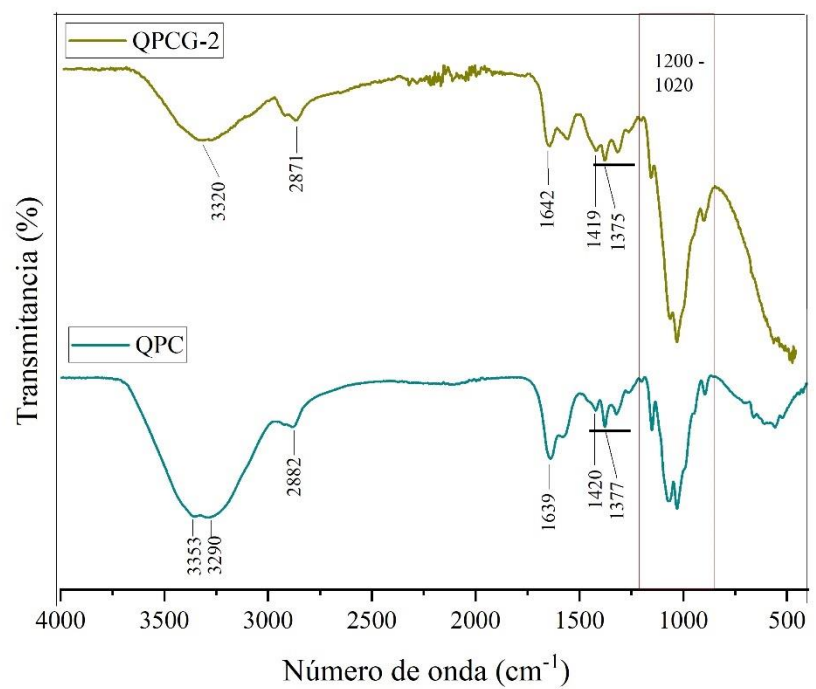
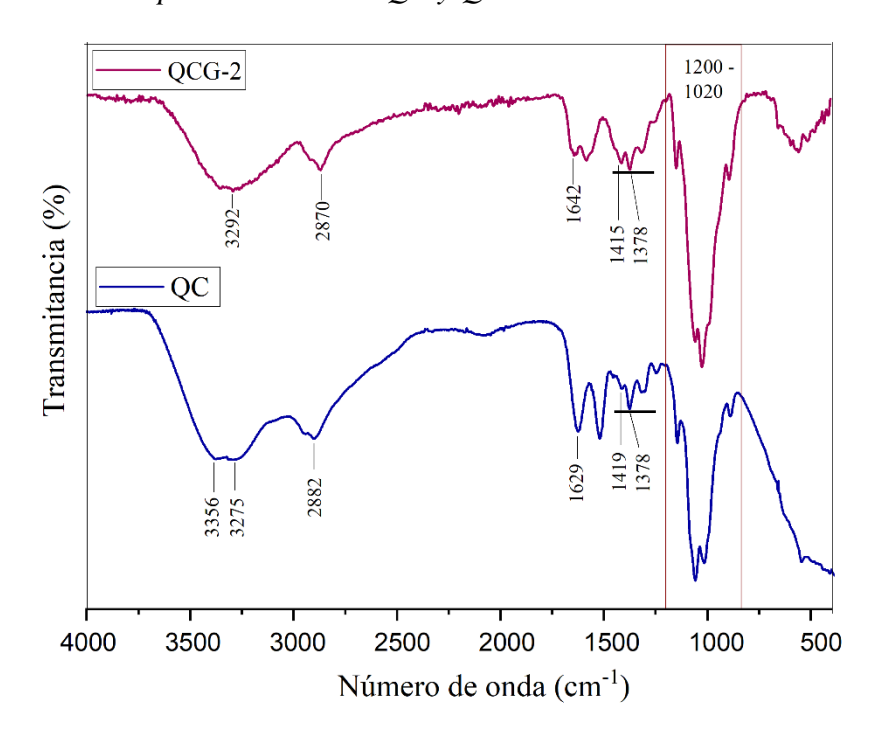


Figura 26Comparación de los espectros FT-IR de QC y QCG-2

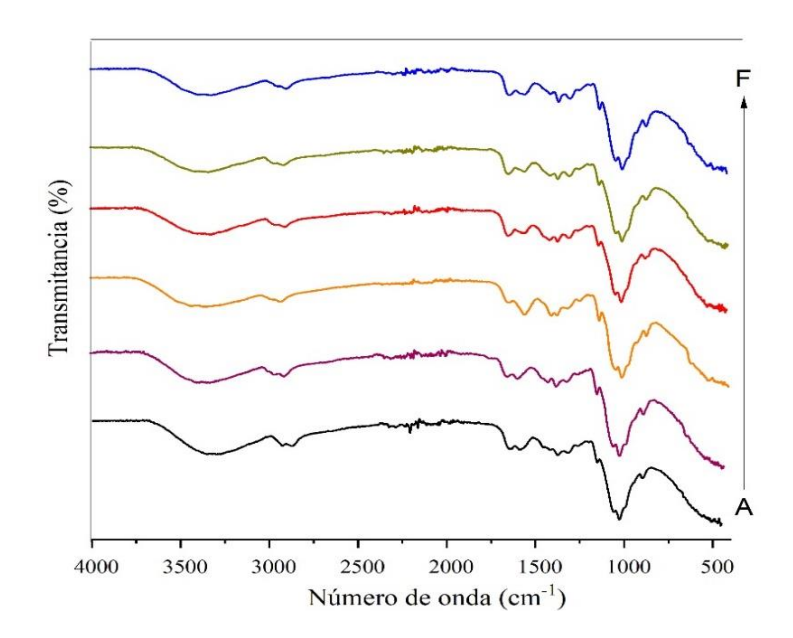


Los polímeros entrecruzados presentan una disminución de intensidad en las bandas de O-H y N-H primarias de 3600-3200 cm⁻¹ debido a que en el entrecruzamiento con glutaraldehído los grupos amino reaccionan con los aldehído del glutaraldehído formando bases de Schiff; así como se ha detallado en la figura 4, para las posibles reacciones involucradas en el entrecruzamiento. Por tal motivo, se observa una sola banda a 3320 cm⁻¹ para QPCG-2 (figura 25) y 3292 cm⁻¹ para QCG-2 (figura 26) probablemente por la vibración de estiramiento de N-H primarias que se traslapa sobre la banda de menor intensidad de los grupos –OH que están presentes sin reaccionar en C6 de la estructura del quitosano. También, se ha observado una mayor intensidad de las andas de 1200 a 1020 cm⁻¹ de QPCG-2 y QCG-2, esto podría atribuirse a la ruptura de algunos acetales entre los monómeros debido al medio ácido.

La incorporación del glutaraldehído adiciona enlaces -CH₂ en los polímeros entrecruzados, incrementando el pico a 1422 cm⁻¹ que se asigna a la flexión -CH₂ en QPC y QC. Cabe mencionar que cuando dos sustancias reaccionan entre sí, se presentan desplazamientos en los picos espectrales característicos (Ramasubramaniam et al., 2014), en todos los picos mencionados se ha observado ligeros desplazamientos de su número de onda luego del entrecruzamiento con glutaraldehído en comparación a los quitosanos sin modificación, concluyendo que se han generado los polímeros de quitosano entrecruzados con glutaraldehído.

El entrecruzamiento de QPC y QC con glutaraldehído a las diferentes concentraciones de 50, 40 y 25 % generaron los seis polímeros. Los espectros son similares ya que poseen los mismos grupos funcionales y se adjunta la figura 27 corroborando los espectros FT-IR obtenidos para cada una de las muestras.

Figura 27Comparación de los espectros FT-IR de los seis polímeros sintetizados



Nota: Espectro de los polímeros después del entrecruzamiento con glutaraldehído, como se indica a continuación: A) QCG-1, B) QCG-2, C) QCG-3, D) QPCG-1, E) QPCG-2 y F) QPCG-3.

4.2.5. Caracterización por Difracción de rayos x (DRX)

La tabla 12 presenta los porcentajes de cristalinidad de las muestras que otorgan valores de 53,94 % para QPC y 57,87 % para QC que han sido calculados mediante la ecuación 6; corroborando lo reportado en la literatura.

Tabla 12Porcentajes de cristalinidad calculados para QPC y QC

Muestras	Área 10	Área 20	Área total	Porcentaje de cristalinidad (%)
QPC	1580,52	5420,09	12976,15	53,94
QC	1584,35	6671,63	14266,05	57,87

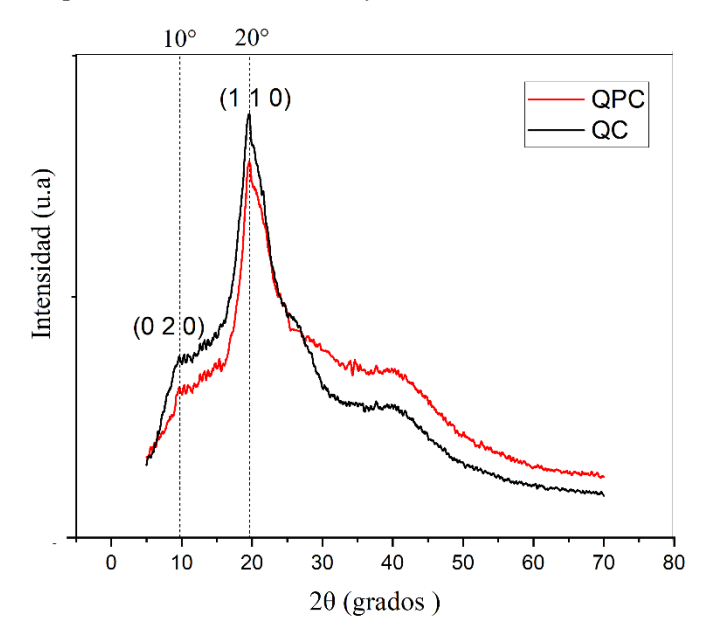
Donde: Área 10: es el área bajo el $2\theta \approx 10^{\circ}$ y Área 20: es el área bajo el $2\theta \approx 20^{\circ}$.

Además, el grado de cristalinidad del quitosano está relacionado a su grado de desacetilación: a mayor grado de desacetilación, mayor será su cristalinidad. En la tabla 6, se determinó un mayor grado de desacetilación para QC, siendo congruente con su valor superior para el grado de cristalinidad en comparación a QPC. Esto se relaciona a

que los monómeros de quitosano con mayor grado de desacetilación presentan menor contenido de grandes grupos acetilos que promueven la flexibilidad de las cadenas para interaccionar mediante fuerzas de puente de hidrógeno favoreciendo su cristalinidad (L. O. Ahmad et al., 2015).

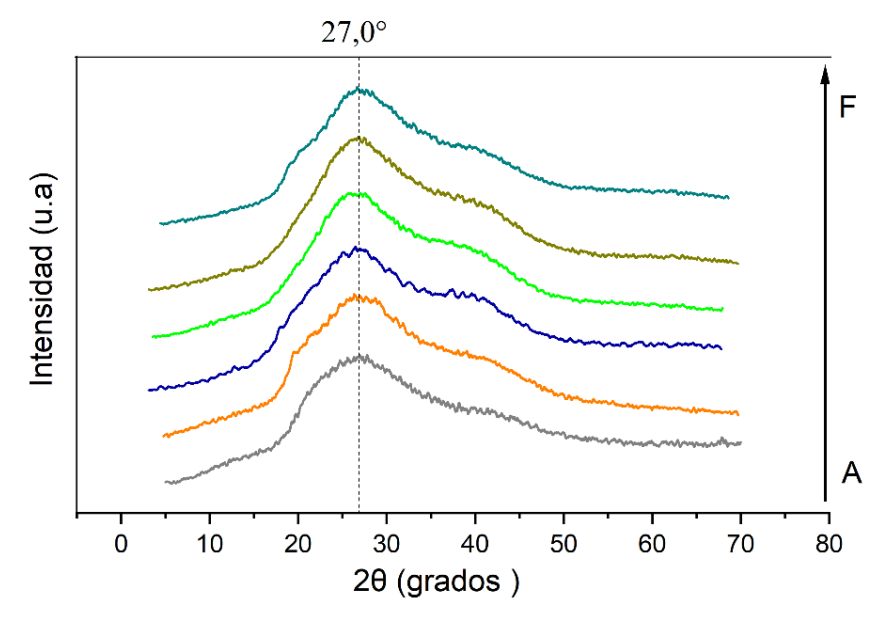
La figura 28 corresponde a los patrones DRX de QPC y QC; donde se observan los halos característicos de $2\theta \approx 9\text{-}10^\circ$ por la difracción de red (0 2 0) y de $2\theta \approx 19\text{-}20^\circ$ por la difracción de red (1 1 0) siendo este último de mayor intensidad. El primer halo se atribuye a la secuencia del N-acetil-glucosamina y el segundo es asignado por la secuencia de N-glucosamina en la cadena polimérica (Karava et al., 2020; Moussout et al., 2016; Raut et al., 2016). Según la literatura, el quitosano exhibe un porcentaje de cristalinidad de 38 a 80 % (Pires et al., 2014; Yuan et al., 2011).

Figura 28Comparación de los patrones DRX de QPC y QC



De igual manera, se analizó el comportamiento estructural de los quitosanos después del entrecruzamiento con glutaraldehído. En la figura 29, se han comparado los seis polímeros evidenciando la similitud entre ellos

Figura 29Comparación de los patrones DRX de los seis polímeros sintetizados

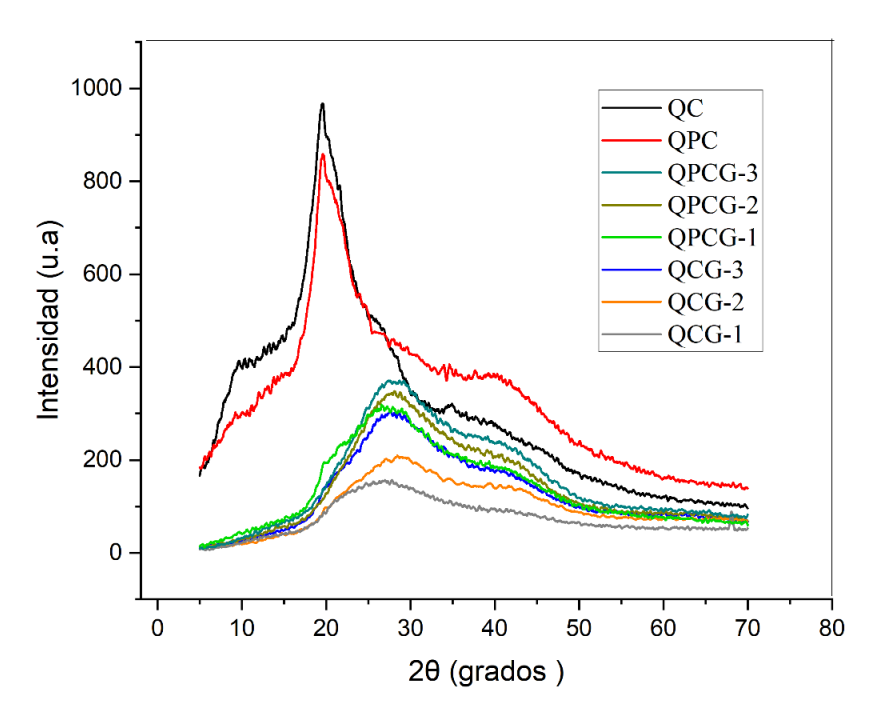


Nota: Patrones DRX de A) QCG-1, B) QCG-2, C) QCG-3, D) QPCG-1, E) QPCG-2 y F) QPCG-3.

En la figura 30, se evidencia el cambio estructural antes y después del entrecruzamiento observándose la desaparición del halo de $2\theta \approx 10^\circ$ en comparación a los patrones de difracción de QPC y QC.

Figura 30

Comparación de los patrones DRX antes y después del entrecruzamiento con glutaraldehído



Se observó una disminución de intensidad, ensanchamiento y un desplazamiento del halo de $2\theta \approx 20^\circ$ hasta 27° , también la disminución de intensidad y ensanchamiento en el halo de $2\theta \approx 40^\circ$ (Shameen Hasan, 2019), los cuales podrían corresponder a la deformación de los puentes de hidrógeno en el quitosano por la sustitución de los grupos -OH destruyendo las regiones cristalinas originadas por el empaquetamiento de las cadenas de quitosano y generando la formación de quitosano-glutaraldehído amorfo (Li et al., 2013; Sarathchandiran et al., 2019).

Finalmente, se calculó el porcentaje de cristalinidad de los polímeros entrecruzados con la ecuación 6 y se determinaron los valores mostrados en la tabla 13; con ello, se evidencia que el grado de cristalinidad disminuye con la adición del agente entrecruzante de glutaraldehído (López-Cervantes et al., 2018; Mahmoudian et al., 2020; Sánchez-Machado et al., 2018), a menor grado de cristalinidad se favorece la adsorción debido a una mayor accesibilidad del adsorbato para unirse a los sitios activos del adsorbente.

Tabla 13Grados de cristalinidad calculados para los polímeros sintetizados

Margataga	Área 20	Área total	Grado de
Muestras	Area 20	Area totai	cristalinidad (%)
QPCG-1	4051,16	9642,50	42,01
QPCG-2	3878,99	8477,63	45,76
QPCG-3	3675,18	7661,46	47,97
QCG-1	1877,73	4467,67	42,03
QCG-2	3687,28	8169,73	45,13
QCG-3	2746,93	5815,64	47,26

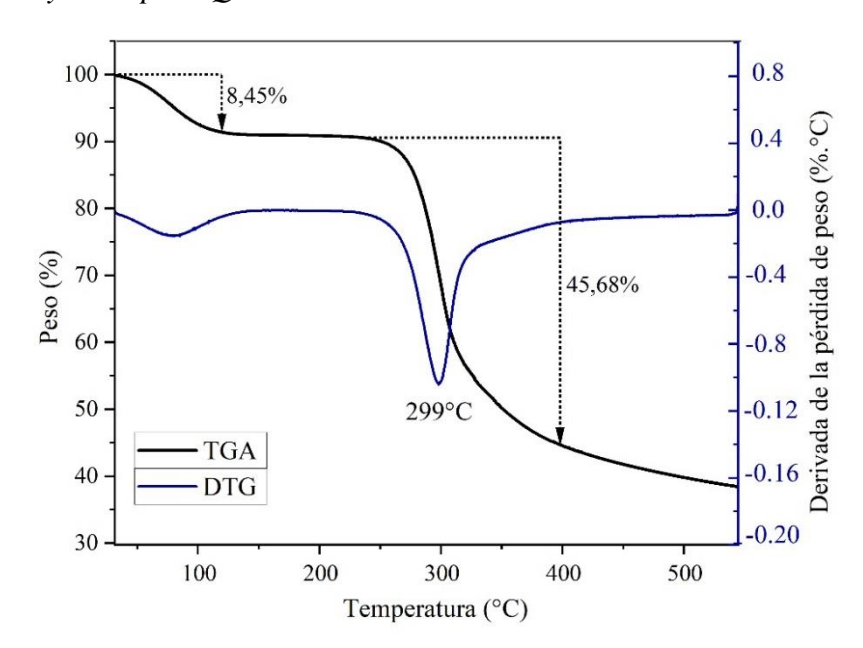
Donde; Área 20: es el área bajo el $2\theta \approx 20^{\circ}$.

4.2.6. Análisis termogravimétrico (TGA)

En la figura 31 se muestran las curvas TGA para QPC. Se tiene el paso I de 34 a 121 °C con 8,45 % en pérdida de peso y el paso II de descomposición de 240 a 399 °C con 45,68 % en pérdida de peso. En el caso de QC, en la figura 32 se muestra la curva TGA, se tiene el paso I de 33 a 122 °C con 8,14 % en pérdida de peso y el paso II de descomposición de 240 a 400 °C con 45,98 % en pérdida de peso. Además, con las curvas DTG se muestra la temperatura máxima de descomposición para QPC y QC a \approx 300 °C

(Wang et al., 2020; Wegrzynowska-Drzymalska et al., 2020) demostrando la similitud de los quitosanos y confirmando la presencia del polímero obtenido de la pluma de *Dosidicus gigas*.

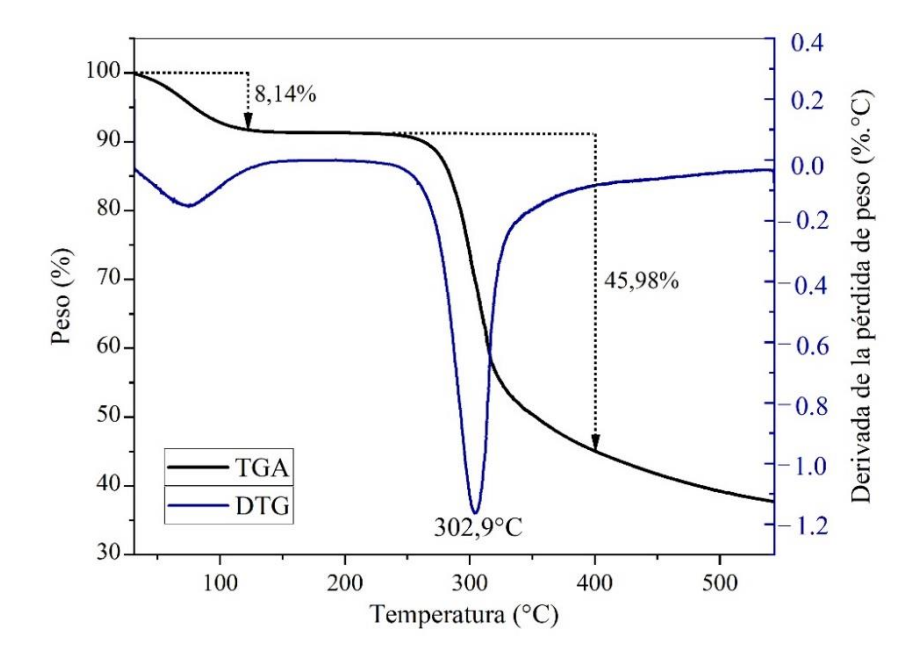
Figura 31Curvas TGA y DTG para QPC



Cabe resaltar que las mínimas variaciones en pérdida de peso de los quitosanos se deben a las diferencias en el peso molecular, grado desacetilación y otros factores que intervienen en el análisis termogravimétrico (Hemalatha et al., 2014).

Figura 32

Curvas TGA y DTG para QC

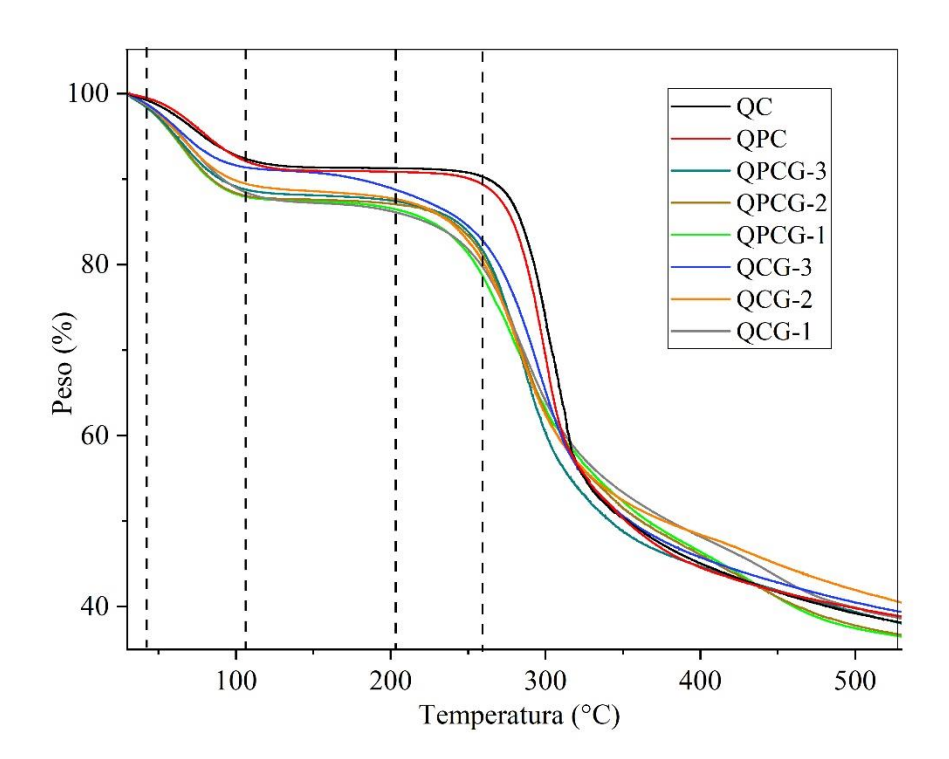


La diferencia de 3,9 °C de QPC y QC en las temperaturas máximas reportadas por la curva DTG, nos indica que el quitosano comercial presenta una ligera mayor estabilidad térmica que el quitosano obtenido de la pluma de *Dosidicus gigas*.

En la figura 33, se comparó la estabilidad térmica de los seis polímeros entrecruzados con los quitosanos antes de la modificación (QPC y QC) evidenciando que las pérdidas de peso se dan a un rango menor de temperatura en los polímeros modificados; esto se puede atribuir al efecto de la reticulación; ya que, reduce los enlaces de H intermoleculares entre los monómeros de quitosano adyacentes disminuyendo la estabilidad térmica (Beppu et al., 2007). El análisis TGA se realizó con el fin de conocer el comportamiento térmico de los polímeros para otras posibles aplicaciones, ya que en esta aplicación de adsorción no usamos calentamiento.

Figura 33

Comparación de los termogramas antes y después del entrecruzamiento con glutaraldehído



Las figuras 34 y 35 muestran los resultados termogravimétricos para los polímeros entrecruzados con glutaraldehído de QPCG y QCG, respectivamente.

Figura 34Curvas TGA y DTG para los polímeros entrecruzados derivados de QPCG

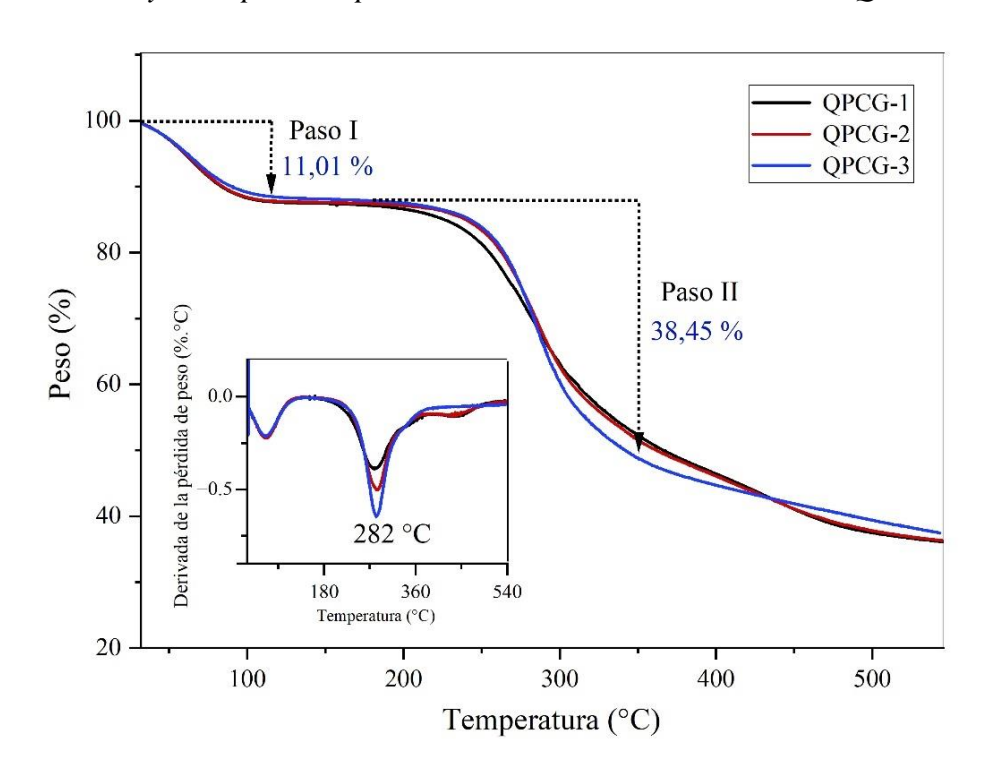
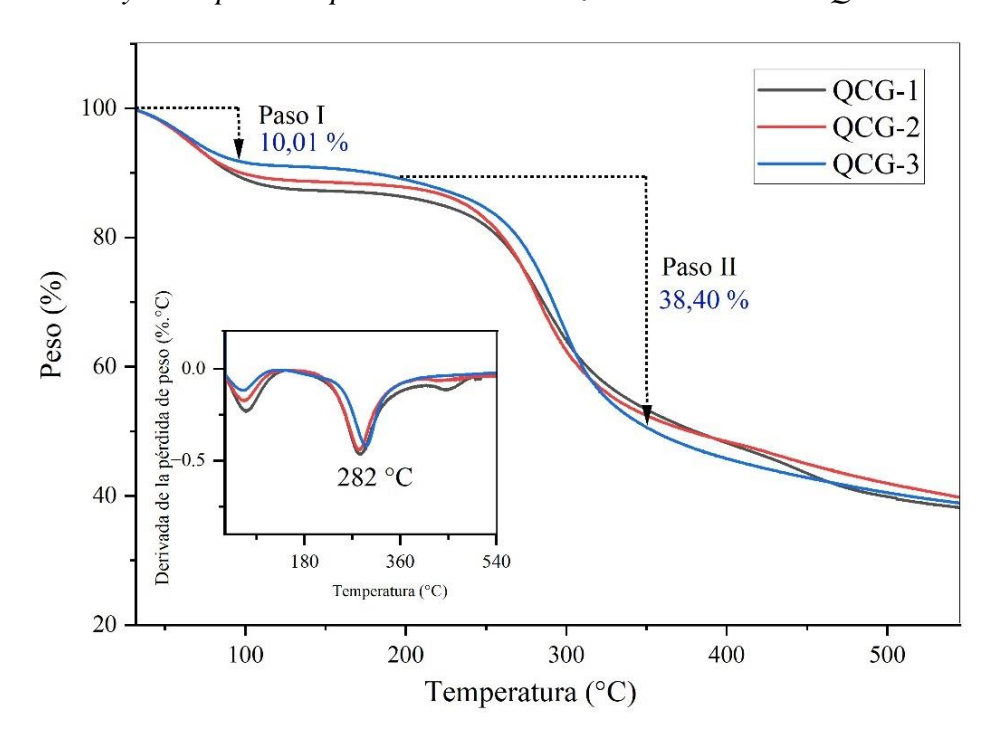


Figura 35Curvas TGA y DTG para los polímeros entrecruzados derivados de QCG



En la tabla 14 se han resumido los porcentajes de pérdidas de peso en los pasos I y II para los quitosanos y sus derivados entrecruzados.

Tabla 14Resumen de los porcentajes de pérdida de peso en los polímeros analizados por TGA

Managhan	Paso I	Paso II	Maragina	Paso I	Paso II
Muestra	(%)	(%)	Muestra	(%)	(%)
QPC	8,45	45,68	QC	8,14	45,98
QPCG-1	11,80	35,64	QCG-1	10,97	33,89
QPCG-2	11,69	36,01	QCG-2	10,39	35,41
QPCG-3	11,01	38,45	QCG-3	10,01	38,40

La deshidratación de los polímeros entrecruzados se dio a la temperatura entre 30 a 96°C y con mayores porcentajes de pérdidas de peso en comparación a los quitosanos sin modificación, indicando que los polímeros entrecruzados son más hidrofílicos, esto se puede atribuir a que el glutaraldehído tiene carácter hidrofílico y aumenta la capacidad higroscópica del quitosano. Además, debido a la carga electrostática de los grupos -NH $_3$ + de los polímeros entrecruzados las cadenas poliméricas se expandirían permitiendo una mayor interacción con las moléculas de agua. En el paso II, la temperatura máxima de descomposición de los polímeros entrecruzados de 282 °C es ligeramente inferior a la de los quitosanos sin modificación de \approx 300 °C. Esto puede asignarse a que la incorporación del HCl_(cc) en la síntesis de los polímeros entrecruzados hidroliza algunos enlaces glucosídicos entre las piranosas del quitosano disminuyendo la pérdida de peso a la temperatura de 180 a 350 °C (Aljbour et al., 2019).

Además, en las figuras 34 y 35 se ha observado una tendencia en los termogramas cuando se varía la concentración de la solución de glutaraldehído de 50, 40 y 25 %, donde los polímeros con mayor concentración de agente entrecruzante (QPCG-1 y QCG-1) poseen los termogramas más distantes a los quitosanos sin modificación (QPC y QC).

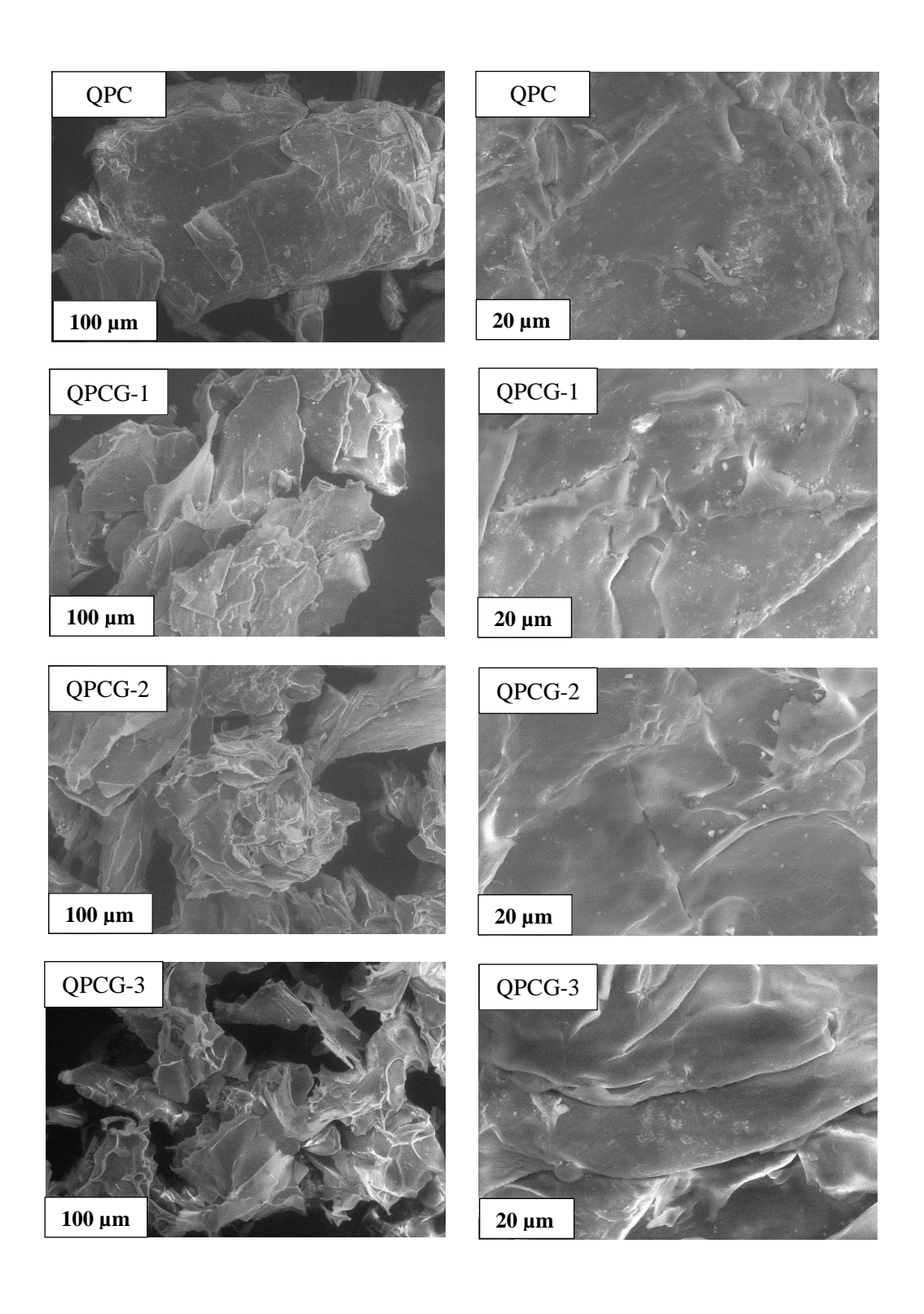
4.2.7. Microscopía electrónica de barrido (MEB)

La figura 36 y 37 muestra las micrografías MEB de las muestras antes y después del entrecruzamiento con glutaraldehído en dos aumentos diferentes (250x, 1500x). Las

imágenes MEB indicaron la diferencia en la morfología microscópica de las superficies entre los quitosanos y los polímeros entrecruzados con glutaraldehído al 50, 40 y 25 %. La literatura ha reportado para el quitosano una micrografía con superficie suave, lisa y plana; se ha observado una similitud morfológica entre QPC y QC como un material probablemente sin porosidad, liso, plano, casi circular confirmando la presencia de quitosano. Sin embargo, al aumento de 250X se observa para QPC una estructura laminada con un ligero incremento de pliegues y partículas granulares característico de un quitosano extraído de calamar (Huang & Tsai, 2020) similar a una nube (Li et al., 2013). Las diferencias morfológicas de las muestras se atribuyen al grado de desacetilación y grado de entrecruzamiento (Mirzaei B. et al., 2013)

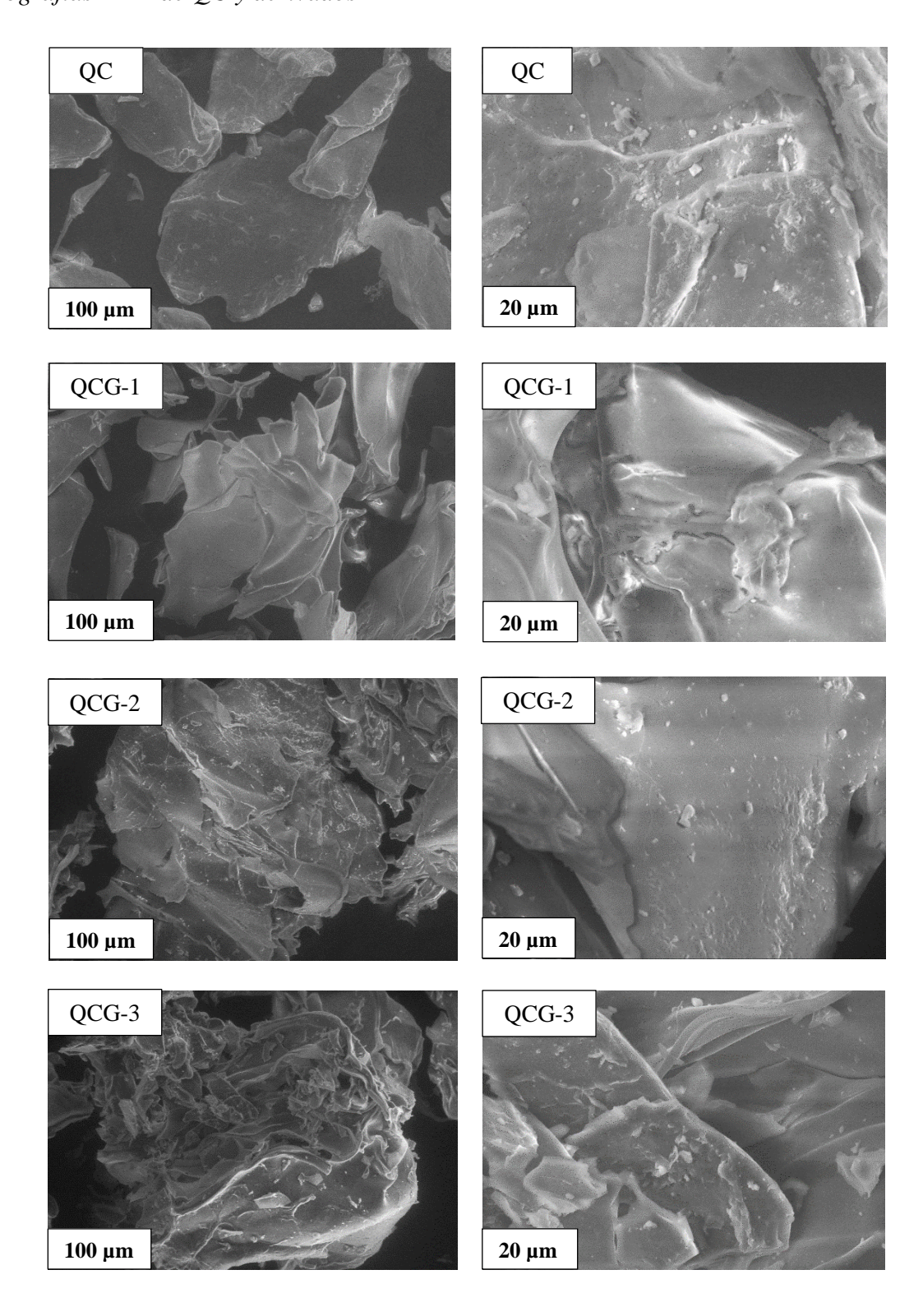
Por otra parte, los polímeros entrecruzados con glutaraldehído exhiben superficies ásperas, con mayor rugosidad y pliegues por la incorporación del agente entrecruzante (Galan et al., 2021) dando lugar a que el glutaraldehído ha reaccionado con el quitosano en la superficie y contribuye a una cinética de adsorción de pseudo segundo orden como se detalla más adelante en la tabla 17 donde se indica una adsorción de ⁹⁹Mo por quimisorción y no por fisisorción ; ya que, las micrografías a los aumentos de 1500X para los polímeros sintetizados no muestran materiales con porosidad.

Figura 36 *Micrografías MEB de QPC y derivados*



Nota: Micrografías de las muestras a los aumentos de 250X y 1500X.

Figura 37 *Micrografías MEB de QC y derivados*

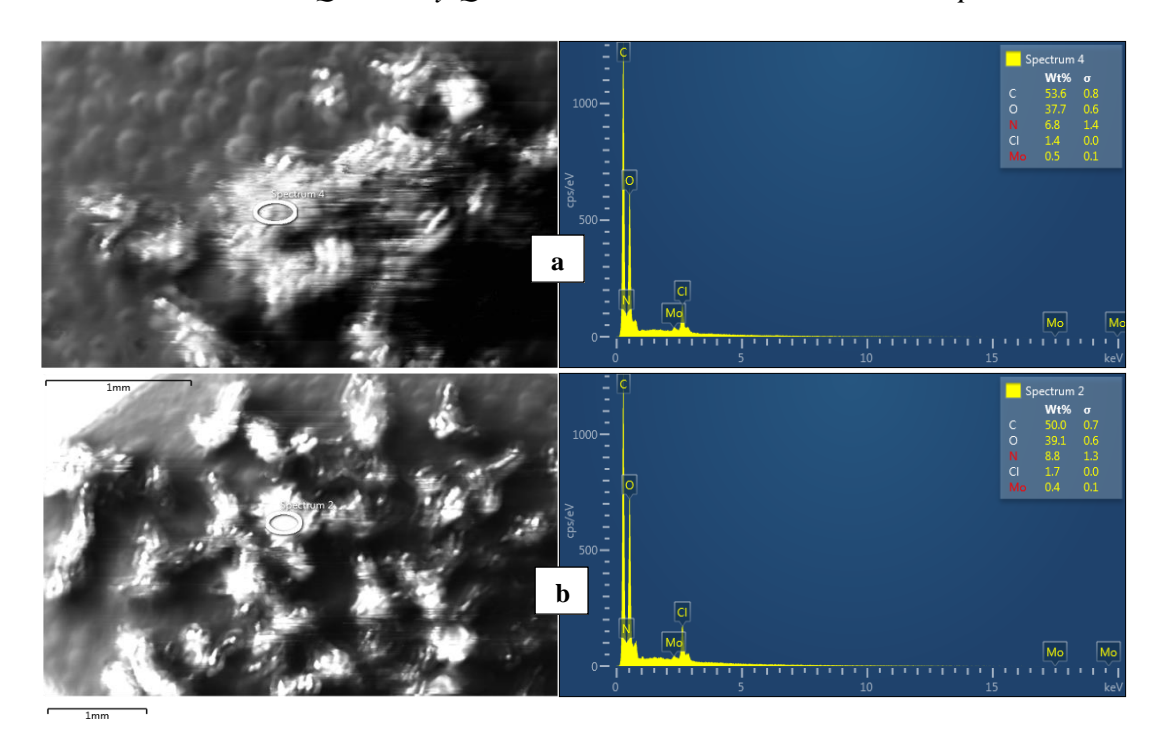


Nota: Micrografías de las muestras a los aumentos de 250X y 1500X.

Posteriormente, el análisis MEB-EDS confirmó la adsorción de molibdeno (Mo) por los polímeros de QPCG-2 y QCG-3 como se muestra en la figura 38. Las micrografías presentan un color brillante que evidencia la presencia de Mo adsorbido. En el análisis EDS se hace incidir electrones acelerados a la muestra que tienen la energía necesaria para arrancar un electrón de la capa interna atómica y dejar un agujero libre de electrón. Un electrón de la capa superior llena el agujero y emite rayos X que son propios de cada elemento (Hodoroaba, 2019), debido a esto se ha evidenciado la presencia de los picos de carbono (C), oxígeno (O), nitrógeno (N) y molibdeno (Mo), mientras que la presencia del cloro (Cl) es por el medio de trabajo a pH 2. En el análisis cualitativo de EDS, la radiación del ⁹⁹Mo se dejó decaer por un periodo de tiempo para evitar la exposición del analista instrumental disminuyendo la concentración del metal.

Figura 38

Análisis MEB-EDS de QPCG-2 y QCG-3 con adsorción de Molibdeno a pH 2



Nota : Análisis SEM-EDS de a) QPCG-2 and b) QCG-3 con adsorción de Molibdeno a pH 2.

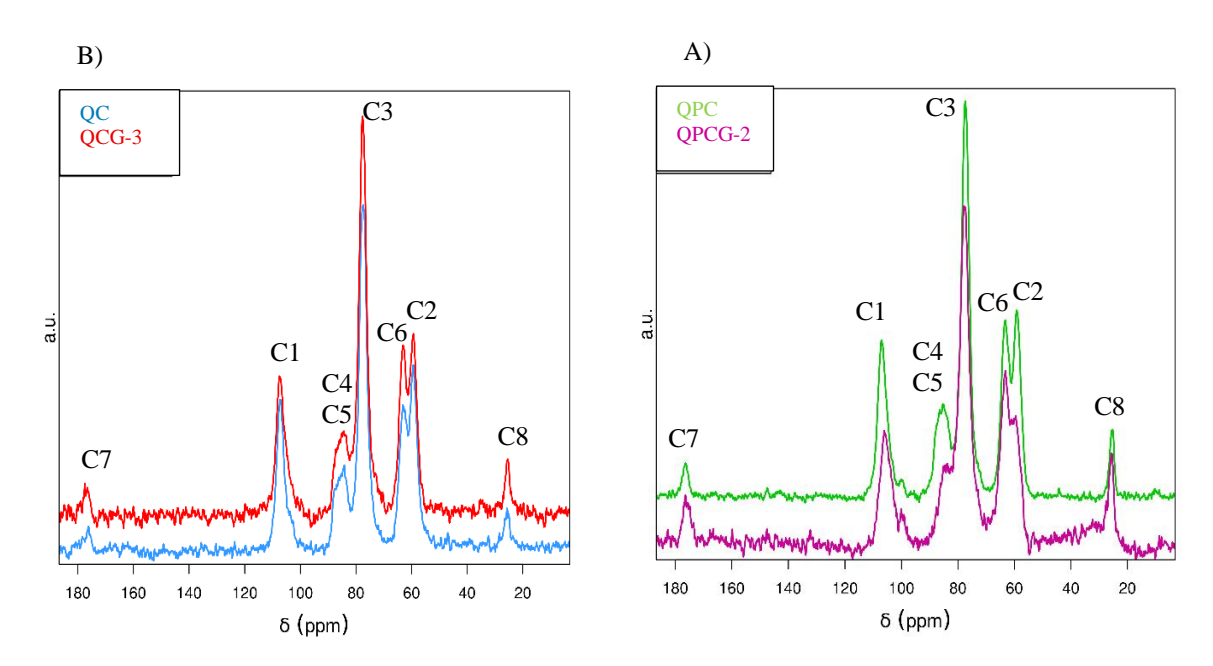
4.2.8. Resonancia Magnética Nuclear de fase sólida (ssRMN)

La figura 39 muestra el espectro RMN-¹³C de QPC y QC con señales de absorbancia características de quitosanos prístinos de C7, C1, C4, C5, C3, C6, C2 y C8 a 175,2, 101,1, 81,3, 79,5, 70,5, 58,2, 53,5 y 20,2 ppm (Bandara et al., 2018; Son et al., 2021). Luego del entrecruzamiento, los cambios más evidentes de QPCG-2 y QCG-3 son

los que se dan en el C2 del quitosano (59 ppm), el que tiene unido el resto -NH₂. Esta señal, está perturbada por la reacción de las bases de Schiff entre el grupo -NH₂ del quitosano y el grupo -C=O del glutaraldehído para la formación del nuevo enlace -C=N-(imina). También, se observa un ligero ensanchamiento en C1 (107 ppm) y C4 (85 ppm), podría interpretarse que, en medio ácido, los acetales se hidrolizan afectando el desplazamiento de esos carbonos. Sin embargo, no se observa una señal clara de la imina que se espera a 169 ppm como en otras investigaciones (Bradshaw et al., 2011) la intensidad relativa del carbono unido a una amina es más sensible que el unido a base de Schiff y a menor tiempo de relajación mayor es la intensidad.

Figura 39

Espectros RMN-¹³C de los polímeros antes y después del entrecruzamiento

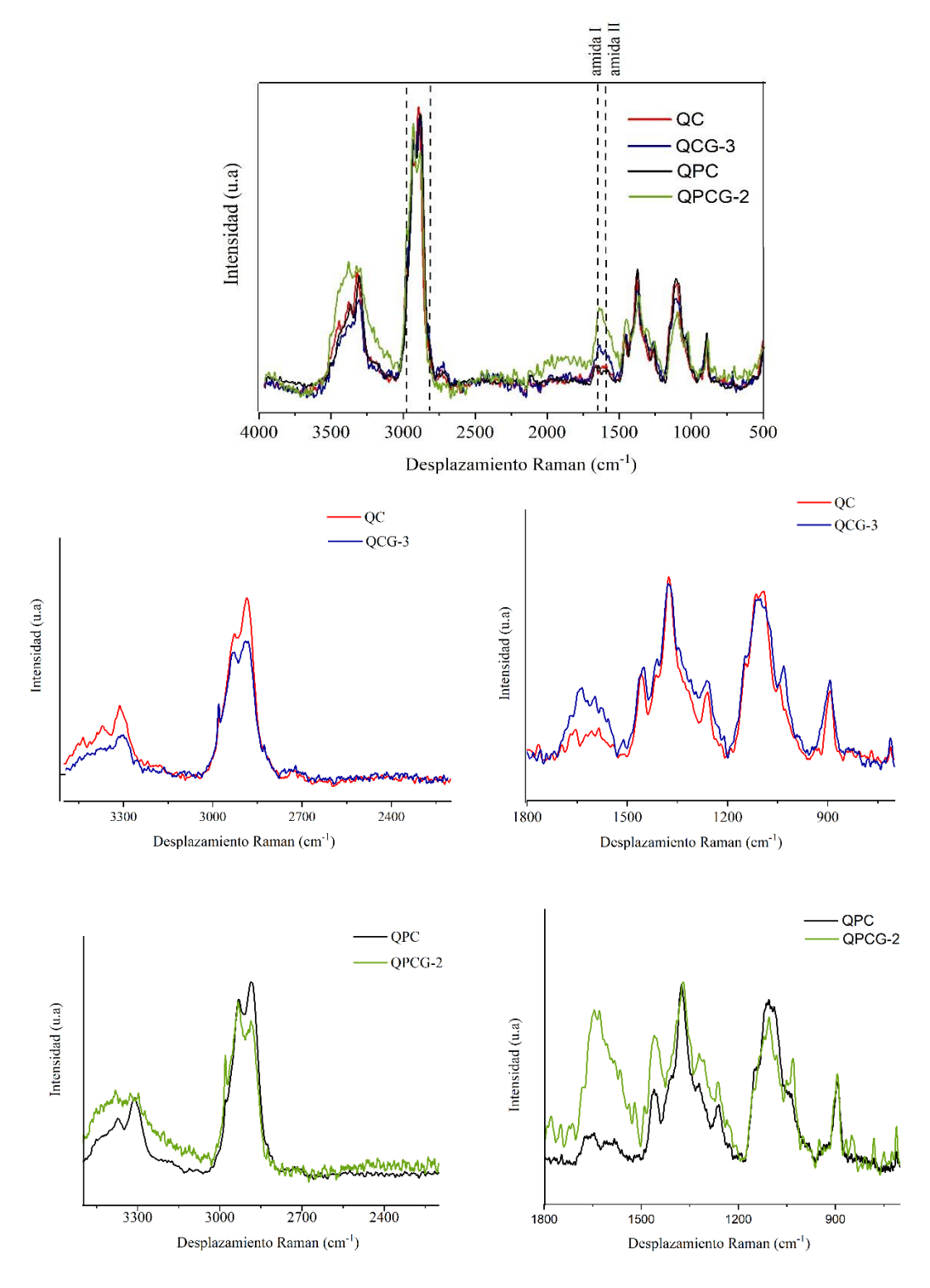


4.2.9. Espectroscopía FT-Raman

La espectroscopía Raman detecta cambios en las transiciones que son parte de la energía de una frecuencia excitante, responde a enlaces simétricos o apolares y diatómicas homonucleares que son inactivas en el FT-IR. Los rangos en los que aparecen las señales en el espectro FT-Raman son comparables al FT-IR. Las comparaciones de los espectros FT-Raman de los derivados de quitosano comercial y de pluma de calamar se observan en la figura 40. El cociente 2931/2884 aumenta luego de entrecruzamiento en ambos casos. En QPCG-2 se invierte, pero QPC ya tiene una relación 2931/2884 mayor que QC. Esto demostraría la adición de un esqueleto carbonado insaturado al material; dado que estas señales corresponden a carbonos simétricos y asimétricos que se asignan a los -CH₂-de la cadena del glutaraldehído. La zona de amida I (1680-1620 cm⁻¹) y amida II (1600-

1560 cm⁻¹), ligeramente diferenciables en los espectros de los quitosanos prístinos, se superponen por el aumento de intensidad de una señal ancha con un centro cercano a los 1640 cm⁻¹. Esta estaría asociada al enlace formado (-C=N-) en el entrecruzamiento del quitosano y glutaraldehído.

Figura 40Espectros FT-Raman de los quitosanos antes y después del entrecruzamiento



4.2.10 Determinación del grado de entrecruzamiento (G.E)

La tabla 15 resume el G.E de los polímeros de quitosano entrecruzados con glutaraldehído, que han sido calculados con la ecuación 7, demostrando que a mayor concentración de glutaraldehído mayor será el entrecruzamiento.

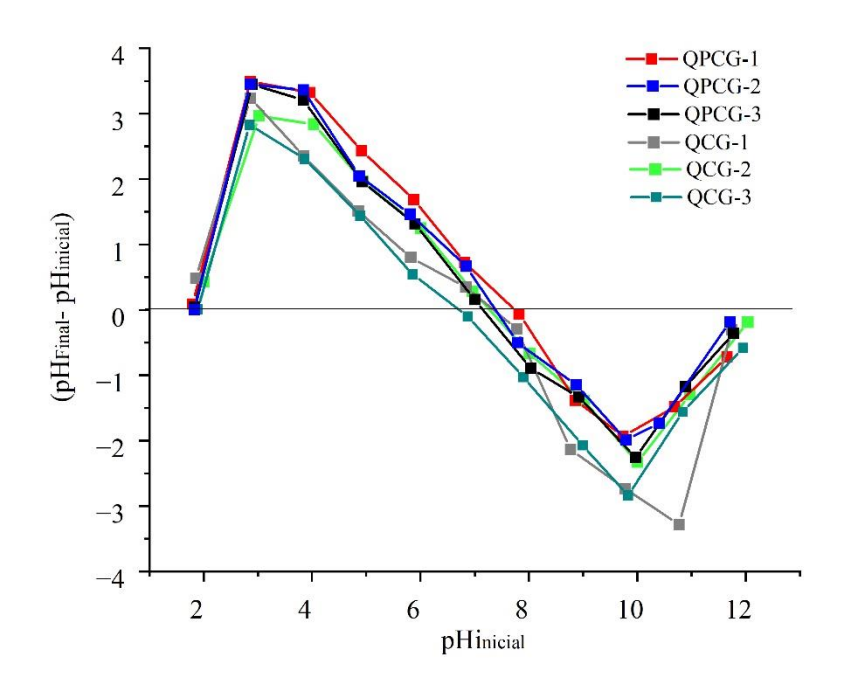
Tabla 15Grado de entrecruzamiento de los quitosanos entrecruzados con glutaraldehído

	QPCG-1	QPCG-2	QPCG-3	QCG-1	QCG-2	QCG-3
Peso inicial (g)	0,4892	0,5009	0,4306	0,4917	0,4881	0,4690
Peso final (g)	0,4492	0,4478	0,3568	0,4341	0,4246	0,3791
% G.E	91,83	89,39	82,87	88,29	86,99	80,83

4.2.11 Análisis de punto de carga cero (pH_{PZC}).

En la figura 41 se muestra el análisis de punto de carga cero para los polímeros de QPCG-1, QPCG-2, QPCG-3, QCG-1, QPCG-2 y QPCG-3 como control.

Figura 41Curvas de pH_{PZC} para los seis polímeros sintetizados



El análisis de punto de carga cero, confirma que los polímeros presentan una carga total positiva cuando se emplean soluciones con valores de pH menores al pH_{PZC} y, por el contrario; los polímeros presentan una carga total negativa cuando se emplean

soluciones con valores de pH mayores al pH_{PZC}. Esto nos ayuda a entender la capacidad de adsorción que tienen los polímeros frente a las soluciones de ⁹⁹Mo en el estudio de la influencia de pH. Se observó una mayor capacidad de adsorción de los polímeros a valores de pH bajos entre 2 a 4 debido a que los grupos -NH₂ del quitosano se protonan hasta -NH₃⁺ y favorecen la interacción electrostática entre la especie cargada negativamente de ⁹⁹MoO₄⁻²; sin embargo, la capacidad de adsorción de los polímeros disminuye a medida que aumenta el pH del medio. Los valores del pH_{PZC} se han resumido en la tabla 16.

Tabla 16Resultados del pH_{PZC} para los polímeros de QPC y QC

Código de polímeros	Concentración de glutaraldehído (%)	pH _{PZC}
QPCG-1	50	8,00
QPCG-2	40	7,61
QPCG-3	25	7,39
QCG-1	50	7,50
QCG-2	40	7,26
QCG-3	25	7,00

En la tabla 16 podemos observar que la concentración de glutaraldehído para la síntesis de los polímeros influye directamente en el pH_{PZC}; se observa que a medida que disminuye la concentración de glutaraldehído desde 50% hasta 25 %, los valores de pH_{PZC} también disminuyen. Los valores obtenidos son coherentes; ya que, el valor reportado del pH_{PZC} para quitosano puro está en el rango de pH de 6,2 a 6,8 (Shameen Hasan, 2019).

4.3. Factores que influyen en el proceso de adsorción de ⁹⁹Mo

Las soluciones radiactivas fueron analizadas en el detector Canberra de Germanio Hiperpuro, el cual nos brinda la información necesaria de la actividad de ⁹⁹Mo presente en las muestras para cada análisis mostrado a continuación. Se ha trabajado con 1 mL de solución radiactiva contenida en viales de 5 mL de capacidad, para cuantificar el porcentaje de adsorción de los polímeros frente a ⁹⁹Mo.

Figura 42Tipo de vial empleado en la cuantificación de actividad de ⁹⁹Mo en el detector Canberra de Germanio Hiperpuro



4.3.1. Estudio del tiempo de contacto y cinética de adsorción

Los tiempos de agitación óptimos para QPCG-1, QPCG-2, QPCG-3, QCG-1, QCG-2 y QCG-3 resultaron ser de 120, 5, 30, 60, 120 y 100 min, respectivamente. Se observa que la cantidad adsorbida de ⁹⁹Mo aumentaba con el tiempo de contacto hasta alcanzar el equilibrio y luego disminuye levemente, este hecho puede deberse a que inicialmente los sitios de adsorción están disponibles para la adsorción de iones MoO₄²⁻; sin embargo, disminuye con la ocupación de los sitios activos manteniéndose casi constante la curva de adsorción para poder cuantificar el porcentaje de adsorción de los polímeros. Las tablas A.2 y A.3 (véase Anexo) exhiben los datos implicados en el cálculo.

Seguidamente, se ha estudiado la cinética de adsorción de los polímeros para conocer el mecanismo de adsorción de $^{99}\text{MoO}_4^{-2}$, que depende en gran medida de la interacción de las moléculas de adsorbato y adsorbente. En la figuras del 43 al 46 se evidencia que la adsorción de los polímeros está influenciada por el modelo cinético de pseudo segundo orden, pues exhibe un coeficiente de correlación $R^2 \sim 1$ como se resume en la tabla 17 y se interpreta que los iones de MoO_4^{-2} se adsorben en la superficie de los polímeros sintetizados mediante quimisorción por enlaces iónicos o electrostáticos (Pandey, 2021). La constante qe es la cantidad de iones de MoO_4^{-2} adsorbidos en el equilibrio en $\mu\text{Ci g}^{-1}$, K_1 y K_2 son las constantes de velocidad, cuyos valores han sido determinados con las ecuaciones 14 y 15.

Figura 43 *Modelo cinético de pseudo primer orden para QPCG-1, QPCG-2 y QPCG-3*

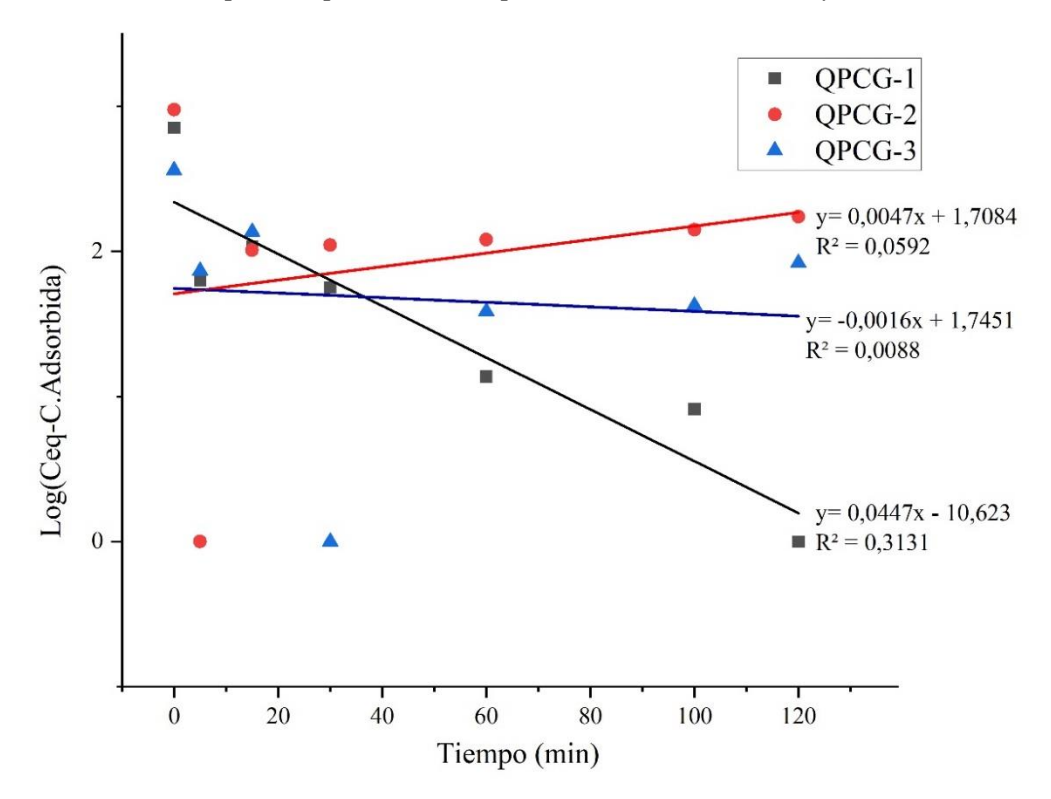


Figura 44

Modelo cinético de pseudo segundo orden para QPCG-1, QPCG-2 y QPCG-3

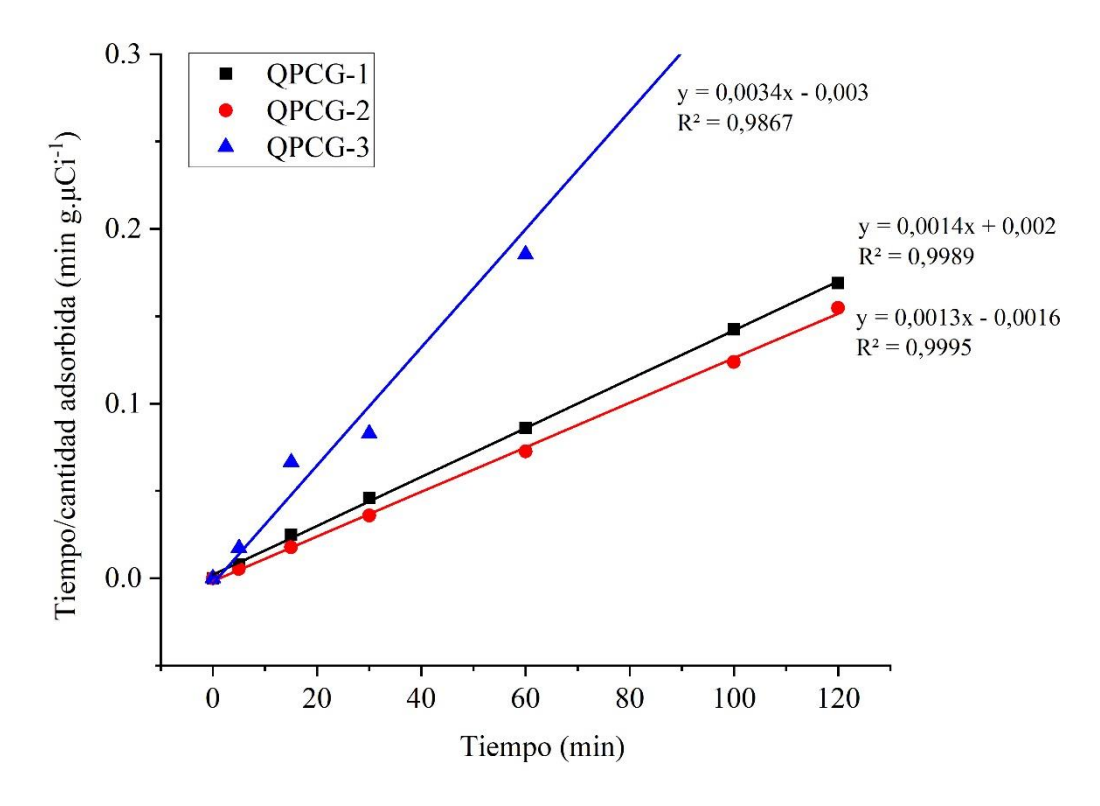


Figura 45 *Modelo cinético de pseudo primer orden para QCG-1, QCG-2 y QCG-3*

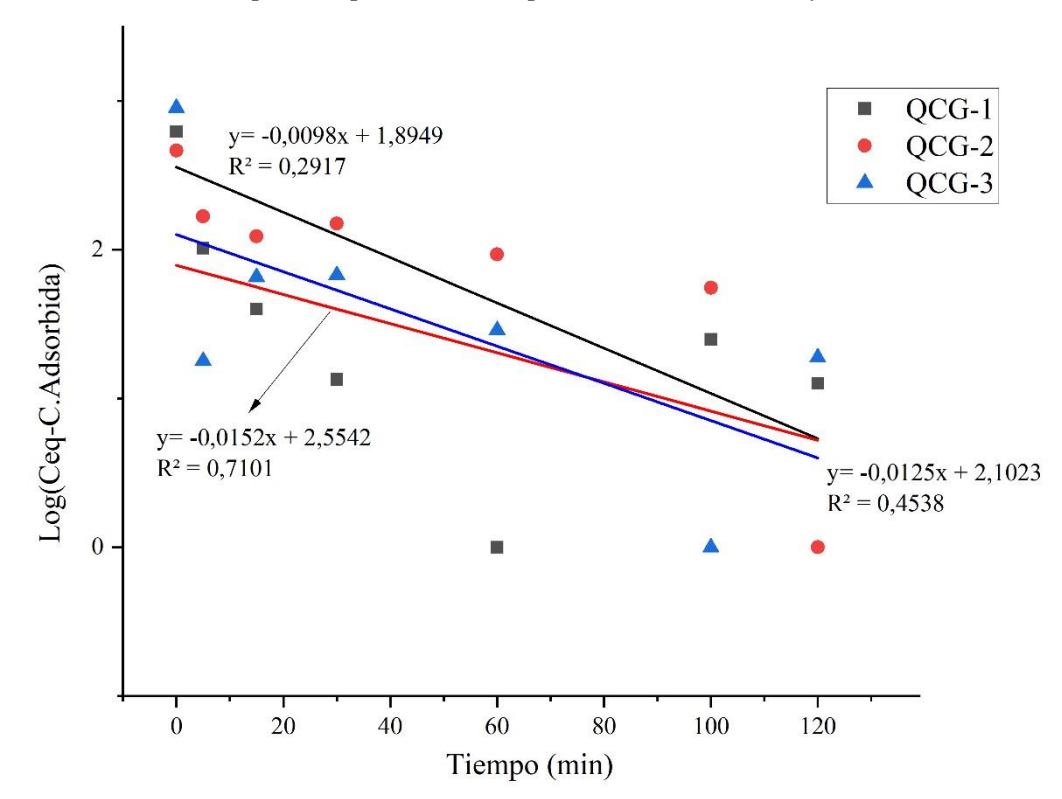
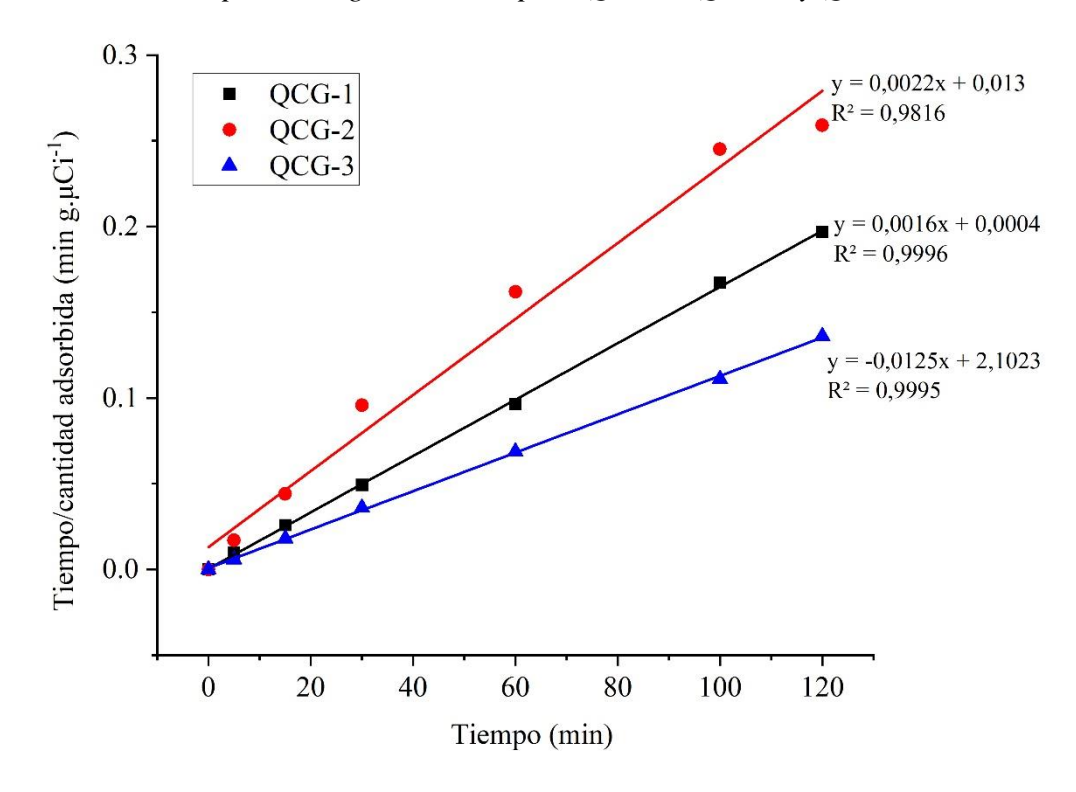


Figura 46Modelo cinético de pseudo segundo orden para QCG-1, QCG-2 y QCG-3



En la tabla 17 se evidencia la mayor adsorción de QCG-3 de 891,91 μCi g⁻¹ y de QPCG-2 de 783,77 μCi g⁻¹ ajustándose al modelo de pseudo segundo orden.

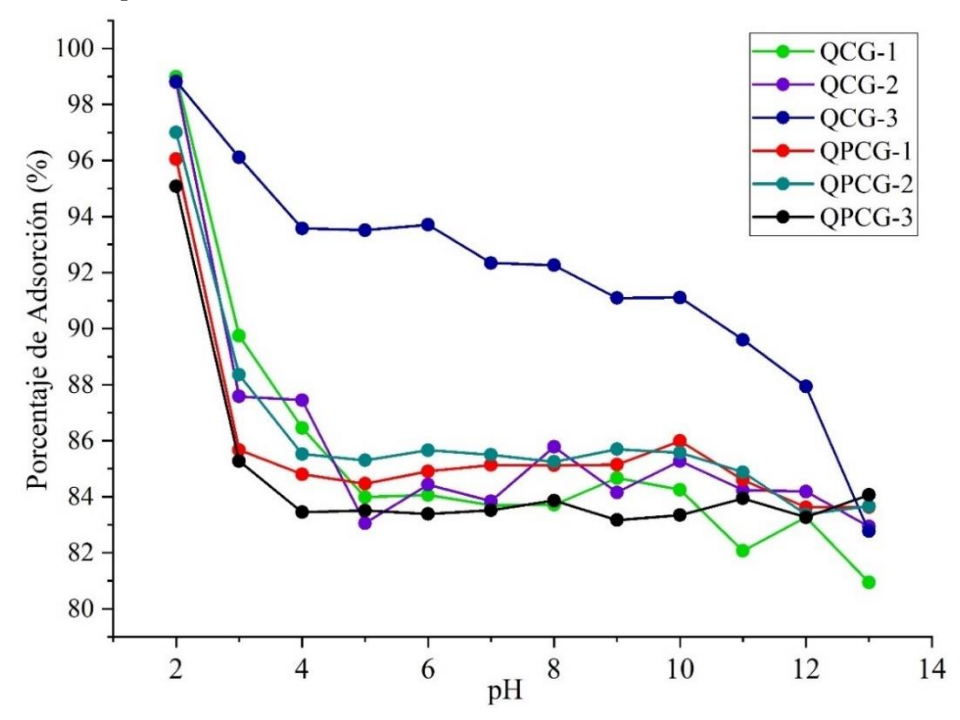
Tabla 17Datos de pseudo primer orden y pseudo segundo orden para QPCG y QCG

C	Cinética de pseudo primer orden			Cinética de pseudo segundo orden		
Código	q _e (μCi g ⁻¹)	K ₁ (min ⁻¹) x10 ⁻²	\mathbb{R}^2	q _e (μCi g ⁻¹)	K_2 (min ⁻¹ g μ Ci ⁻¹) $\times 10^{-2}$	R ²
QPCG-1	218,30	4,11	0,3131	714,51	0,0986	0,9995
QPCG-2	51,09	-1.07	0,0592	783,77	-0.1	0,9989
QPCG-3	55,60	0,37	0,0088	295,83	0,38	0,9867
QCG-1	78,50	2,26	0,2917	608,16	0,71	0,9996
QCG-2	358,23	3,50	0,7101	450,93	0,04	0,9816
QCG-3	126,57	2,88	0,4538	891,91	0,16	0,9995

4.3.2. Estudio del efecto de pH en el proceso de adsorción de 99 Mo

Los polímeros se han agitado según los tiempos optimizados en el estudio de tiempo de contacto de 120, 5 y 30 min para QPCG-1, QPCG-2 y QPCG-3; así como de 60, 120 y 100 min para QCG-1, QCG-2 y QCG-3, respectivamente y se ha calculado la actividad con las ecuaciones del 8 al 10. El pH de la solución es muy importante; ya que, según el punto de carga cero obtenido previamente para los polímeros; estos van a presentar cargas positivas en soluciones de pH menor al pH_{PZC}, pero cargas negativas si el pH de la solución es mayor pH_{PZC} influyendo en la adsorción de especies negativas o positivas respectivamente. En la figura 47 se observa que para los seis polímeros entrecruzados existe un mayor porcentaje de adsorción a pH 2 que son superiores al 95% confirmando la adsorción por interacción electrostática entre los grupos -NH₃⁺ del quitosano en medio ácido y los iones ⁹⁹MoO₄⁻². Estos datos son similares al propuesto por Hasan (2019) quien obtuvo mayores porcentajes de adsorción de ⁹⁹Mo a pH 3 empleando un quitosano comercial entrecruzado con glutaraldehído al 50 %.

Figura 47Influencia del pH en la adsorción del ion ⁹⁹MoO₄-²



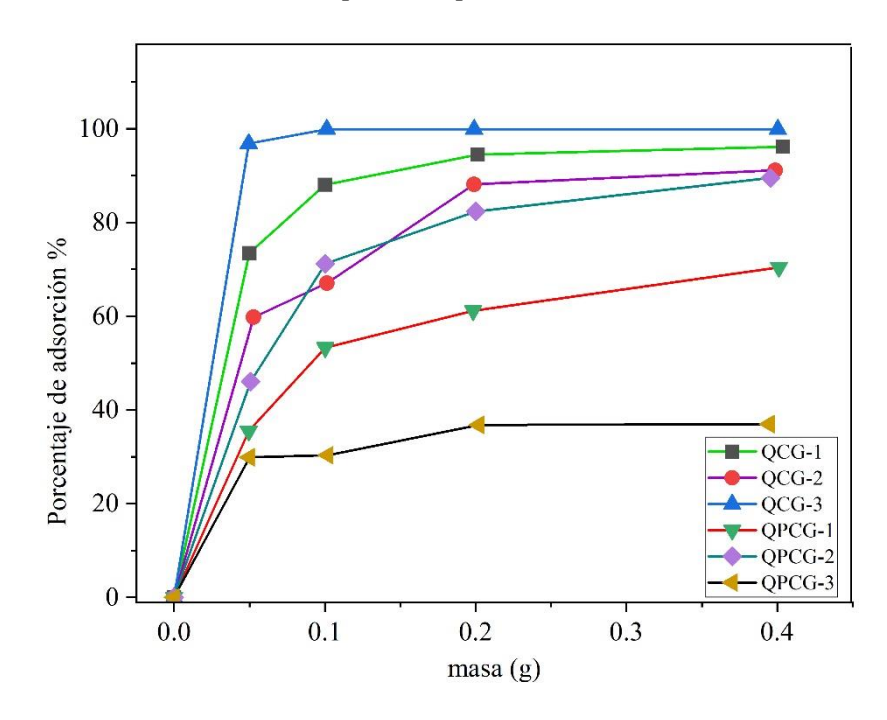
Las tablas A.4 y A.5 (véase Anexo) exhiben los datos implicados en el cálculo donde QPCG_pH_Bk y QCG_pH_Bk corresponden a la actividad inicial de una solución de ⁹⁹MoO₄-2.

4.3.3. Estudio del efecto de la variación de masa del polímero adsorbente sobre ⁹⁹Mo

La figura 48 indica que al incrementar la masa hasta los ~ 0,4 g el porcentaje de adsorción también aumenta para los seis polímeros entrecruzados, respaldado en el hecho que, al existir mayor cantidad de material adsorbente, existirán mayores sitios de interacción con los iones ⁹⁹MoO₄-². Los quitosanos poseen carácter policatiónico en medios ácidos, su capacidad para formar puentes de hidrógeno, de van der Waals e interacciones electrostáticas, lo convierten en un material adsorbente eficiente (da Silva Alves et al., 2021). Este análisis nos ayuda a conocer la relación óptima entre la masa del polímero (adsorbente) y el volumen de la solución de ⁹⁹MoO₄-² (adsorbato) para garantizar la alta adsorción cuando se apliquen en la columna cromatográfica del generador de ⁹⁹Mo/^{99m}Tc.

Figura 48

Influencia de la masa – volumen para los polímeros entrecruzados



Las tablas A.6 y A.7 (véase Anexo) exhiben los datos implicados en el cálculo donde QPCG_BK_MV y QCG_BK_MV corresponden a la actividad inicial de una solución de ⁹⁹Mo. También se ha calculado la actividad resultante en cada muestra filtrada luego del tiempo de agitación óptimo de las masas correspondientes de los polímeros entrecruzados con 10 mL de solución de ⁹⁹MoO₄-². En los polímeros derivados del quitosano natural se tiene mayor porcentaje de adsorción 89,6 % para los ~ 0,4 g de QPCG-2. En el caso de quitosano comercial, la data exhibe valores máximos de adsorción del 99,9% para QCG-3.

4.4. Estudio de la isoterma de adsorción

La tabla 18 muestra los parámetros obtenidos en el estudio de las isotermas de adsorción. Los polímeros siguen un mejor ajuste con el modelo teórico de Langmuir por presentar un R^2 cercano a 1, interpretándose como los iones $^{99}\text{MoO}_4^{-2}$ se adsorben en forma de monocapa sobre la superficie de los polímeros de quitosano entrecruzado con glutaraldehído. La capacidad de adsorción máxima (q_m ,L) para los polímeros sintetizados oscila entre 473,123 hasta 502,964 mg g^{-1} , además los valores de R_L en el rango de $0 < R_L < 1$, indican la adsorción favorable de los iones $^{99}\text{MoO}_4^{-2}$ por los polímeros entrecruzados (Abdel-Halim et al., 2006; Nandiyanto et al., 2020). La figura B.1 (véase

Anexo) muestra los cuatro modelos de isotermas generadas para los seis polímeros entrecruzados.

Tabla 18Resumen de los valores obtenidos en los modelos de isotermas

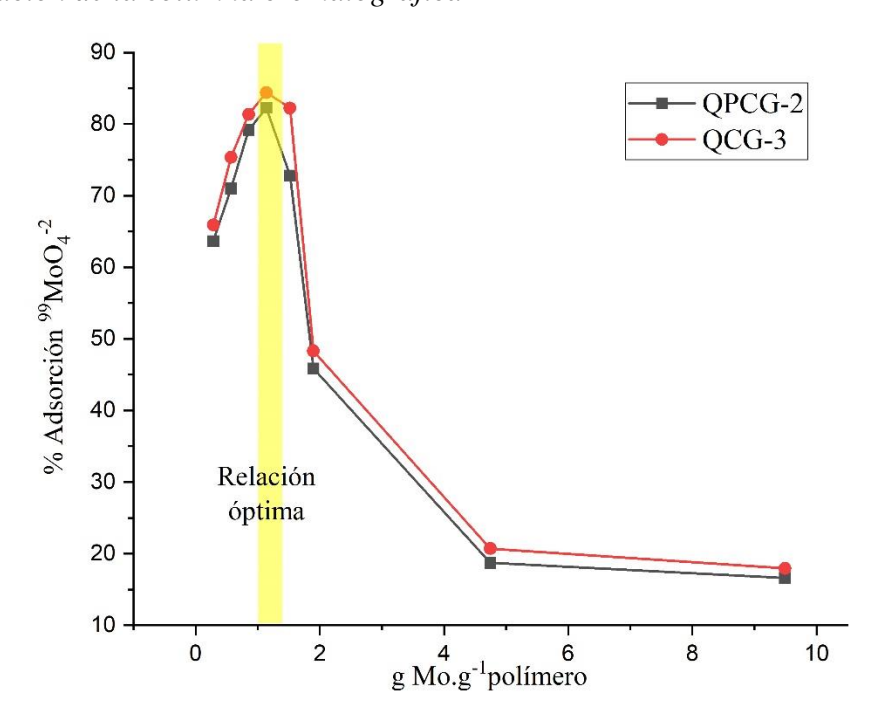
Modelos de			Polímero	s en estudio	0			
Isoterma	Parámetros	Unidad	QPCG-1	QPCG-2	QPCG-3	QCG-1	QCG-2	QCG-3
	\mathbb{R}^2	-	0,976	0,974	0,979	0,983	0,990	0,986
Langmuir	$q_{m,L} \\$	(mg. g ⁻¹)	478,626	482,246	473,479	473,123	496,185	502,964
	K_L	$(L.mg^{-1})$	0,050	0,045	0,044	0,082	0,089	0,066
	R_{L}	-	0,034	0,037	0,037	0,022	0,020	0,027
	\mathbb{R}^2	-	0,878	0,880	0,860	0,897	0,899	0,878
Freundlich	n	-	2,525	2,541	2,387	2,711	2,555	2,546
	K_{f}	$(L.mg^{-1})$	0,705	0,679	0,716	0,723	0,824	0,774
	\mathbb{R}^2	-	0,972	0,966	0,972	0,981	0,988	0,985
Temkin	A	$(L.mg^{-1})$	2,920	2,591	2,018	5,722	4,629	3,606
	В	(J.mol ⁻¹)	60,206	61,227	63,222	56,384	61,804	63,333
	\mathbb{R}^2	-	0,905	0,903	0,884	0,931	0,936	0,909
Dubinin-	$q_{m,D-R}$	(mg. g ⁻¹)	944,083	919,986	988,562	919,861	1052,673	1026,58
Radushkevich	β	$(\text{mol}^2.\text{KJ}^{-2})$	3,85E-09	3,86E-09	4.15E-09	3,45E-09	3,68E-09	3,78E-09
	E	(J.mol ⁻¹)	11397,88	11387,43	10979,76	12031,10	11656,83	11507,58

4.5. Estudios de la columna cromatográfica

4.5.1. Optimización para el ensamblado de la columna cromatográfica

Considerando que en la PPRR trabajan bajo la misma metodología para obtener el Na₂MoO₄ en un proceso estandarizado, validado y reproducible cada semana que se puede seguir se siguió una serie de diluciones para determinar la relación óptima en el ensamblado de la columna, ya que se desconoce la masa inicial. La figura 49 evidencia que a mayores concentraciones el porcentaje de adsorción es del 16,61 % para QPCG-2 y 17,95 % para QCG-3, probablemente a que el sistema está muy saturado y los espacios de monocapa ya están ocupados impidiendo una mayor adsorción del ion ⁹⁹MoO₄-². Sin embargo, a medida que la relación de dilución aumenta hasta el 1,2 mL de solución del ion ⁹⁹Mo en 10 mL se logra el máximo porcentaje de adsorción de 82,26 % y 84,39 % para QPCG-2 y QCG-3, respectivamente. Sin embargo, a menores concentraciones se observa como disminuye la adsorción.

Figura 49Optimización de la columna cromatográfica



4.5.2. Método del ensamblado de la columna cromatográfica

La comparación del análisis del control de calidad de los eluatos de ^{99m}Tc obtenido en los dos métodos de ensamblado, polímero seco o húmedo, se muestran en las tablas 19 y 20. Se empleó un volumen de 5 mL como eluyente. Los análisis exhiben mejores resultados de pureza radionucleídica de 89,82 % y relación radiactiva (⁹⁹Mo/^{99m}Tc) de 0,21 para el método húmedo pasado por alúmina, justificando la elección del método para las pruebas siguientes.

Tabla 19Resultados del análisis del eluato de ^{99m}Tc obtenido por el método seco con alúmina

Ensayo	Especificación	Resultado
Aspecto	Solución límpida e	Solución límpida e
Aspecto	incolora	incolora
pН	4,5 a 7,5	6,5
pureza radioquímica	≥ 95 %	88,97 %
pureza radionucleídica	\geq 99,996 % 99 mTc	75,15 %
Determinación del	≤0,043 µCi de	330,59 μCi de
⁹⁹ Mo	⁹⁹ Mo/mCi de ^{99m} Tc	⁹⁹ Mo/mCi de ^{99m} Tc
Relación radiactiva ⁹⁹ Mo/ ^{99m} Tc	-	0,63

Tabla 20Resultados del análisis del eluato de ^{99m}Tc obtenido por el método húmedo con alúmina

Ensayo	Especificación	Resultado
Aspecto	Solución límpida e	Solución límpida e
	incolora	incolora
pН	4,5 a 7,5	7,0
pureza radioquímica	≥ 95 %	87,67 %
pureza radionucleídica	\geq 99,996 % $^{99\text{m}}$ Tc	89,82 %
Determinación del	≤0,043 µCi de	113,31 μCi de
⁹⁹ Mo	99Mo/mCi de 99mTc	⁹⁹ Mo/mCi de ^{99m} Tc
Relación radiactiva	-	0,21
99Mo/99mTc		

Además, en la tabla 21 se reporta el resultado de análisis del eluato de ^{99m}Tc obtenido por el método húmedo sin pasar por alúmina; es decir, solo a través de la columna con polímero de QPCG-2 como matriz adsorbente. Se observa la disminución de los valores de la tabla 20 con respecto a la tabla 21 observándose mayor porcentaje de ⁹⁹MoO₄-2 en el eluído de ^{99m}TcO₄-. El informe de análisis de las tres muestras se adjunta en la figura B.3 (véase anexo).

Tabla 21Resultados del análisis del eluato de ^{99m}Tc obtenido por el método húmedo sin alúmina

Ensayo	Especificación	Resultado
Agnasta	Solución límpida e	Solución límpida e
Aspecto	incolora	incolora
pН	4,5 a 7,5	6,5
pureza radioquímica	≥ 95 %	79,21 %
pureza radionucleídica	\geq 99,996 % $^{99\text{m}}$ Tc	69,51 %
Determinación del	≤0,043 µCi de	438,56 μCi de
⁹⁹ Mo	⁹⁹ Mo/mCi de ^{99m} Tc	99Mo/mCi de 99mTc
Relación radiactiva ⁹⁹ Mo/ ^{99m} Tc	-	0,86

4.5.3. Adsorción de ⁹⁹Mo y desorción de ^{99m}Tc

La actividad de los radioisótopos es dependiente del tiempo. La tabla 22 muestra la actividad calculada en μ Ci a la fecha del experimento empleando la ecuación 13. La actividad inicial de la solución de 99 MoO₄-2 fue de 27,99 μ Ci y de los filtrados resultó ser de 6,85 μ Ci para QCG-3 y 9,51 μ Ci para QPCG-2. El porcentaje de adsorción del ion

⁹⁹MoO₄-² se calculó mediante la fórmula 10 resultando ser de 80,58 % y 73,04 % para QCG-3 y QPCG-2 respectivamente. Las tablas A.8 y A.9 (véase anexo) involucran el cálculo para determinar el porcentaje de adsorción.

Tabla 22Porcentaje de adsorción de ⁹⁹Mo

Código	Fecha de Medición	Actividad (μCi)	Fecha de experimento	Actividad Experimental (µCi)	Adsorción 99MoO ₄ -2 (%)
⁹⁹ Mo inicial	19/01/2024	13,393	15/01/2024	27,99	
QCG-3	18/01/2024	3,432	15/01/2024	6,85	80,58
QPCG-2	17/01/2024	6,025	15/01/2024	9,51	73,04

Siguiendo la misma metodología de ensamblado y proporciones se estudió la desorción del ^{99m}TcO₄- para dos columnas ensambladas con QCG-3 y QPCG-2 con la misma solución de ⁹⁹MoO₄-² inicial obteniéndose rendimientos superiores al 80 % en los cinco días de elución del ^{99m}TcO₄- con NaCl 0,9 % como se indica en la tabla 23.

Tabla 23Rendimiento de elución del ^{99m}Tc en la columna cromatográfica

Polímero	Elución N°	Tiempo de crecimiento (h)	Actividad esperada de ^{99m} Τc (μCi)	Actividad experimental de ^{99m} Tc (μCi)	Rendimiento de elución (%)
	1	23	287,38	250,03	87,00
	2	23	211,84	192,82	91,02
	3	23	223,46	196,40	87,89
QCG-3	4	23	343,75	293,92	85,50
	5	23	419,78	376,61	89,72
	1	23	479,68	398,72	83,12
	2	23	760,39	610,99	80,35
	3	23	630,32	518,90	82,32
QPCG-2	4	23	369,29	316,79	85,78
	5	23	367,49	305,65	83,17

La tabla 24 y 25 muestran los reportes de análisis de la PPRR para los eluatos de ^{99m}TcO₄⁻. Se trabajó en un sistema de doble columna aplicando 4 mL como eluyente. El eluato obtenido a través del QPCG-2 exhibió una pureza radionucleídica de 80,84 % y de 98,90 % cuando se pasa por los 5 g de alúmina ácida.

La figuras B.4 y B.5 (véase anexo) corresponden al control de calidad de 1 mL del eluato pasado por la matriz de polímero entrecruzado (E1-TC-99m) seguida de la columna de alúmina ácida (E2-TC-99m). La radiactividad obtenida para E1-TC-99m fue de 167,7 μ Ci mL⁻¹ y para E2-TC-99m fue de 63,48 μ Ci mL⁻¹. Esto se interpreta como la matriz polimérica deja pasar trazas de ⁹⁹MoO₄-² incrementando la actividad del E1-TC-99m.

Tabla 24Resultados del análisis del ^{99m}Tc eluído de la matriz polimérica

Ensayo	Especificación	Resultado	
Agnasta	Solución límpida e	Solución límpida e	
Aspecto	incolora	incolora	
pН	4,5 a 7,5	6,5	
pureza radionucleídica	\geq 99,996 % 99m Tc	80,94 %	
Determinación del	\leq 0,043 μ Ci de	235,41 μCi de	
⁹⁹ Mo	99Mo/mCi de 99mTc	⁹⁹ Mo/mCi de ^{99m} Tc	
Relación radiactiva ⁹⁹ Mo/ ^{99m} Tc	-	0,48	
Otros radionúclidos	$\leq 0.02 \ \mu Ci \ mCi^{-1} \ de$	No detectado	
emisores gamma	^{99m} Tc	No detectado	

Tabla 25Resultados del análisis del ^{99m}Tc eluído de la matriz polimérica y pasado por alúmina ácida

Ensayo	Especificación	Resultado
Aspecto	Solución límpida e	Solución límpida e
Aspecto	incolora	incolora
pН	4,5 a 7,5	6,0
pureza radionucleídica	\geq 99,996 % $^{99\text{m}}\text{Tc}$	98,90 %
Determinación del	\leq 0,043 μ Ci de	11,11 μCi de
⁹⁹ Mo	⁹⁹ Mo/mCi de ^{99m} Tc	⁹⁹ Mo/mCi de ^{99m} Tc
Relación radiactiva ⁹⁹ Mo/ ^{99m} Tc	-	-
Otros radionúclidos emisores gamma	$\leq 0.02~\mu Ci~m Ci^{-1}~de$ ^{99m}Tc	No detectado

Por otra parte, para subsanar las observaciones de la figura B.5 (véase anexo) se solicitó ⁹⁹Mo de mayor radiactividad de hasta 10 mCi mL⁻¹ aproximadamente, con la intención de obtener valores de radiación superiores a 1 mCi mL⁻¹ en los eluatos. Posteriormente, se logró obtener eluatos con 2,43 mCi mL⁻¹ (figura B.6, véase anexo); sin

embargo, la alta actividad perjudica al proceso de adsorción del polímero entrecruzado evidenciándose en la disminución de la pureza radionucleídica de 80,94 % (tabla 24) hasta 69,34 % (tabla 26); así como el aumento de la relación radiactiva de 0,48 a 0,80. El reporte de análisis de la PPRR se adjunta en la figura B.6 (véase anexo).

Tabla 26Resultados del análisis del ^{99m}Tc eluído de la matriz polimérica con mayor radiactividad

Ensayo	Especificación	Resultado
Aspecto	Solución límpida e incolora	Solución límpida e incolora
pH pureza radionucleídica	4,5 a 7,5 ≥ 99,996 % ^{99m} Tc	6,5 69,34 %
Determinación del ⁹⁹ Mo	$\leq 0.043 \mu \text{Ci} \text{de}$ $^{99}\text{Mo/mCi} \text{de}$	442,18 μCi de ⁹⁹ Mo/mCi de ^{99m} Tc
Relación radiactiva ⁹⁹ Mo/ ^{99m} Tc	-	0,80
Otros radionúclidos emisores gamma	$\leq 0.02 ~\mu Ci.mCi^{-1} de$	$0{,}004$ $\mu{\rm Ci}$ de Nb92m/mCi de $^{99{\rm m}}{\rm Tc}$

CONCLUSIONES

- Las técnicas de caracterización por FT-IR, MEB-EDS, DRX, TGA, RMN y FT-Raman confirmaron la síntesis de los polímeros de quitosano de *Dosidicus gigas* en medio ácido con glutaraldehído a las concentraciones de 50, 40 y 25 % mediante la formación de las bases de Schiff con grados de entrecruzamiento del ~ 85 %.
- El análisis de pH_{PZC} confirma la carga positiva de los polímeros entrecruzados favoreciendo la mayor capacidad de adsorción del anión ⁹⁹MoO₄-² a valores de pH entre 2 a 4. En los estudios de adsorción del ion ⁹⁹MoO₄-² con los polímeros entrecruzados se determinó la mayor adsorción para QPCG-2 y QCG-3 quienes presentan un porcentaje de adsorción de 97 % y 99,8 %, respectivamente a pH 2.
- Se determinó que la adsorción de los iones ⁹⁹MoO₄-² empleando los polímeros entrecruzados con glutaraldehído sigue un modelo de pseudo segundo orden por presentar un R² cercano a 1 el cual indica que la adsorción es por quimisorción, interpretándose como los iones ⁹⁹MoO₄-² se adsorben fuertemente en la superficie de los polímeros sintetizados mediante enlaces iónicos o electrostáticos a través de la carga negativa del ion ⁹⁹MoO₄-² y las cargas positivas de los grupos -NH₂ en medio ácido de los polímeros de quitosano.
- Con respecto a las isotermas de adsorción de ⁹⁹MoO₄-² se encontró un mejor ajuste con el modelo de Langmuir que se entiende como los iones ⁹⁹MoO₄-² ocupan un espacio en la superficie de los polímeros sintetizados hasta formar una monocapa.
- En los estudios de columna cromatográfica se ha determinado un porcentaje de adsorción de ⁹⁹MoO₄-² de 73,04 % para QPCG-2 y 80,58 % para QCG-3 a pH 2 con rendimientos de elución superiores al 83 % en cinco días consecutivos.
- A medida que se aumenta la radiactividad del ⁹⁹MoO₄-² inicial, el polímero es más sensible y al parecer se degrada; ya que permite el paso de trazas de ⁹⁹Mo en los eluatos de ^{99m}TcO₄- evidenciándose como mayor impureza en los análisis reportados por la PPRR.

RECOMENDACIONES

- Determinar el número de repeticiones máximos de elución para QPCG-2 evitando la disminución del rendimiento de elución de Na^{99m}TcO₄.
- Evaluar el reciclaje del material adsorbente de ⁹⁹Mo luego de su aplicación en la columna cromatográfica, donde el ⁹⁹Mo decae a Ru estable en el tiempo.

BIBLIOGRAFÍA

- Abdel-Halim, E. S., Abou-Okeil, A., & Hashem, A. (2006). Adsorption of Cr (VI) oxyanions onto modified wood pulp. *Polymer Plastics Technology and Engineering*, 45(1), 71–76. https://doi.org/10.1080/03602550500373519
- Abdelmalek, B. E., Sila, A., Haddar, A., Bougatef, A., & Ayadi, M. A. (2017). β-Chitin and chitosan from squid gladius: Biological activities of chitosan and its application as clarifying agent for apple juice. *International Journal of Biological Macromolecules*, 104, 953–962. https://doi.org/10.1016/j.ijbiomac.2017.06.107
- Abhinaya, M., Parthiban, R., Kumar, P. S., & Vo, D. V. N. (2021). A review on cleaner strategies for extraction of chitosan and its application in toxic pollutant removal. *Environmental Research*, 196, 110996. https://doi.org/10.1016/j.envres.2021.110996
- Ahmad, L. O., Permana, D., Wahab, Sabarwati, S. H., Ramadhan, L. O. A. N., & Rianse, U. (2015). Improved Chitosan Production from Tiger Shrimp Shell Waste (Penaeus monodon) by Multistage Deacetylation Method and Effect of Bleaching. *Advances in Environmental and Geological Science and Engineering*, January 2016, 373–378.
- Ahmad, M., Vandegrift, G., & Cristini, P. (2014). Molybdenum-99 (99Mo): Past, Present, and Future. *Science and Technology of Nuclear Installations*, 2014. https://doi.org/10.1155/2014/839369
- Alarcón Barrón, M. (2019). Tesis para obtener el grado de maestria: Efecto del plasma de descarga luminiscente en la capacidad de adsorción del colorante amarillento mediante perlas de quitosano-tripolifosfato de sodio.
- Aljbour, N. D., Beg, M. D. H., & Gimbun, J. (2019). Acid Hydrolysis of Chitosan to Oligomers Using Hydrochloric Acid. *Chemical Engineering and Technology*, 42(9), 1741–1746. https://doi.org/10.1002/ceat.201800527
- Altun, T. (2020). Preparation and application of glutaraldehyde cross-linked chitosan coated bentonite clay capsules: chromium(vi) removal from aqueous solution. *Revista Chil Chem Soc*, 65(2), 1–8.
- Ardean, C., Davidescu, C. M., & Neme, N. S. (2021). Ardean 2021
- Arulmoorthy, M. P., Anbarasi, G., Srinivasan, M., & Vishnupriya, B. (2019). Biosynthesis and characterization of chitosan based hydrogel: A potential in vitro wound healing agent. *Materials Today: Proceedings*, 48, 263–275. https://doi.org/10.1016/j.matpr.2020.07.186
- Baharlouei, P., & Rahman, A. (2022). Chitin and Chitosan: Prospective Biomedical Applications in. *Marine Drugs*, 20(7), 460.
- Bandara, S., Carnegie, C. anne, Johnson, C., Akindoju, F., Williams, E., Swaby, J. M., Oki, A., & Carson, L. E. (2018). Synthesis and characterization of Zinc/Chitosan-Folic acid complex. *Heliyon*, *4*(8), e00737. https://doi.org/10.1016/j.heliyon.2018.e00737
- Barca, C., Griessinger, C. M., Faust, A., Depke, D., Essler, M., Windhorst, A. D., Devoogdt, N., Brindle, K. M., Schäfers, M., Zinnhardt, B., & Jacobs, A. H. (2022). Expanding theranostic radiopharmaceuticals for tumor diagnosis and therapy. *Pharmaceuticals*, *15*(1), 1–20. https://doi.org/10.3390/ph15010013
- Baxter, A., Dillon, M., Anthony Taylor, K. D., & Roberts, G. A. F. (1992). Improved method for i.r. determination of the degree of N-acetylation of chitosan. *International Journal of Biological Macromolecules*, *14*(3), 166–169. https://doi.org/10.1016/S0141-8130(05)80007-8
- Bégin, A., & Van Calsteren, M. R. (1999). Antimicrobial films produced from chitosan.

- International Journal of Biological Macromolecules, 26(1), 63–67. https://doi.org/10.1016/S0141-8130(99)00064-1
- Begum, S., Yuhana, N. Y., Md Saleh, N., Kamarudin, N. H. N., & Sulong, A. B. (2021). Review of chitosan composite as a heavy metal adsorbent: Material preparation and properties. *Carbohydrate Polymers*, *259*(December 2020), 117613. https://doi.org/10.1016/j.carbpol.2021.117613
- Beppu, M. M., Vieira, R. S., Aimoli, C. G., & Santana, C. C. (2007). Crosslinking of chitosan membranes using glutaraldehyde: Effect on ion permeability and water absorption. *Journal of Membrane Science*, 301(1–2), 126–130. https://doi.org/10.1016/j.memsci.2007.06.015
- Bradshaw, M., Zou, J., Byrne, L., Swaminathan Iyer, K., Stewart, S. G., & Raston, C. L. (2011). Pd(ii) conjugated chitosan nanofibre mats for application in Heck cross-coupling reactions. *Chemical Communications*, 47(45), 12292–12294. https://doi.org/10.1039/c1cc14717j
- Brion-Roby, R., Gagnon, J., Nosrati, S., Deschênes, J. S., & Chabot, B. (2018). Adsorption and desorption of molybdenum(VI) in contaminated water using a chitosan sorbent. *Journal of Water Process Engineering*, 23(September 2017), 13–19. https://doi.org/10.1016/j.jwpe.2018.02.016
- Brugnerotto, J., Lizardi, J., Goycoolea, F. M., Argüelles-Monal, W., Desbrières, J., & Rinaudo, M. (2001). An infrared investigation in relation with chitin and chitosan characterization. *Polymer*, 42(8), 3569–3580. https://doi.org/10.1016/S0032-3861(00)00713-8
- Bui, T. H., Lee, W., Jeon, S. B., Kim, K. W., & Lee, Y. (2020). Enhanced Gold(III) adsorption using glutaraldehyde-crosslinked chitosan beads: Effect of crosslinking degree on adsorption selectivity, capacity, and mechanism. *Separation and Purification Technology*, 248(October 2019), 116989. https://doi.org/10.1016/j.seppur.2020.116989
- Bzymek, E., Konefał, A., Orlef, A., Maniakowski, Z., Szewczuk, M., Sokół, M., & Zipper, W. (2016). Test of production of 99Mo/99mTc by means of typical medical linear accelerators used in teleradiotherapy. *Acta Physica Polonica B*, 47(3), 777–782. https://doi.org/10.5506/APhysPoIB.47.777
- Camarotti, A., Batista, D. L., Paiva, W. D. S., Ernesto, F., & Neto, D. S. (2022). Polysaccharides of Microbial Origin. *Polysaccharides of Microbial Origin, March*. https://doi.org/10.1007/978-3-030-42215-8
- Chakravarty, R., Bahadur, J., Lohar, S., Sarma, H. D., Sen, D., Mishra, R., Chakraborty, S., & Dash, A. (2019). Solid state synthesis of mesoporous alumina: A viable strategy for preparation of an advanced nanosorbent for 99Mo/99mTc generator technology. *Microporous and Mesoporous Materials*, 287(April), 271–279. https://doi.org/10.1016/j.micromeso.2019.06.020
- Chattopadhyay, S., Das, S. S., Alam, M. N., & Madhusmita. (2017). Preparation of 99Mo/99mTc generator based on cross-linked chitosan polymer using low-specific activity (n,γ)99Mo. *Journal of Radioanalytical and Nuclear Chemistry*, 313(3), 647–653. https://doi.org/10.1007/s10967-017-5315-x
- Chirinos, A. (2013). Efecto del quitosano sobre la germinación y preservación de la semilla de calabacín (Curcubita pepo) /. September 2014. https://doi.org/10.13140/2.1.3448.2565
- Costa, C. N., Teixeira, V. G., Delpech, M. C., Souza, J. V. S., & Costa, M. A. S. (2015). Viscometric study of chitosan solutions in acetic acid/sodium acetate and acetic acid/sodium chloride. *Carbohydrate Polymers*, *133*, 245–250. https://doi.org/10.1016/j.carbpol.2015.06.094

- Crawford, C. B., & Quinn, B. (2017). Physiochemical properties and degradation. In *Microplastic Pollutants*. https://doi.org/10.1016/b978-0-12-809406-8.00004-9
- Czechowska-Biskup, R., Wach, R. A., Rosiak, J. M., & Ulański, P. (2018). Procedure for determination of the molecular weight of Chitosan by viscometry. *Progress on Chemistry and Application of Chitin and Its Derivatives*, 23, 45–54. https://doi.org/10.15259/PCACD.23.04
- da Silva Alves, D. C., Healy, B., Pinto, L. A. d. A., Cadaval, T. R. S., & Breslin, C. B. (2021). Recent developments in Chitosan-based adsorbents for the removal of pollutants from aqueous environments. *Molecules*, 26(3). https://doi.org/10.3390/molecules26030594
- Dash, A., Knapp, F. F., & Pillai, M. R. A. (2013). Industrial radionuclide generators: A potential step towards accelerating radiotracer investigations in industry. *RSC Advances*, *3*(35), 14890–14909. https://doi.org/10.1039/c3ra41639a
- de Alvarenga, E. S., Pereira de Oliveira, C., & Roberto Bellato, C. (2010). An approach to understanding the deacetylation degree of chitosan. *Carbohydrate Polymers*, 80(4), 1155–1160. https://doi.org/10.1016/j.carbpol.2010.01.037
- Dong, Y., Xu, C., Wang, J., Wang, M., Wu, Y., & Ruan, Y. (2001). Determination of degree of substitution for N-acylated chitosan using IR spectra. *Science in China, Series B: Chemistry*, 44(2), 216–224. https://doi.org/10.1007/BF02879541
- Forsgren, J., Frykstrand, S., Grandfield, K., Mihranyan, A., & Strømme, M. (2013). A Template-Free, Ultra-Adsorbing, High Surface Area Carbonate Nanostructure. *PLoS ONE*, 8(7), 1–8. https://doi.org/10.1371/journal.pone.0068486
- Fu, Y., Sun, Y., Zheng, Y., Jiang, J., Yang, C., Wang, J., & Hu, J. (2021). New network polymer functionalized magnetic-mesoporous nanoparticle for rapid adsorption of Hg(II) and sequential efficient reutilization as a catalyst. *Separation and Purification Technology*, 259(October 2020), 118112. https://doi.org/10.1016/j.seppur.2020.118112
- Galan, J., Trilleras, J., Zapata, P. A., Arana, V. A., & Grande-Tovar, C. D. (2021). Optimization of chitosan glutaraldehyde-crosslinked beads for reactive blue 4 anionic dye removal using a surface response methodology. *Life*, *11*(2), 1–20. https://doi.org/10.3390/life11020085
- Gallardo, M. G. C., Barbosa, R. C., Fook, M. V. L., & Sabino, M. A. (2019). Synthesis and characterization of a novel biomaterial based on chitosan modified with amino acids. *Revista Materia*, 24(3). https://doi.org/10.1590/s1517-707620190003.0710
- Gilmore, G. R. (2008). Practical gamma-ray spectrometry. In *Spectrochimica Acta Part A: Molecular and Biomolecular Spectroscopy* (2nd ed., Vol. 52, Issue 3). https://doi.org/10.1016/s0584-8539(96)90113-0
- Giraldo, J. (2015). Propiedades, obtención, caracterización y aplicaciones del quitosano. *University of Concepcion*, *MAY*. https://doi.org/10.13140/RG.2.1.3350.9287
- Gumiela, M. (2018). Cyclotron production of 99mTc: Comparison of known separation technologies for isolation of 99mTc from molybdenum targets. *Nuclear Medicine and Biology*, 58, 33–41. https://doi.org/10.1016/j.nucmedbio.2017.11.001
- Hasan, S., & Prelas, M. A. (2020). Molybdenum-99 production pathways and the sorbents for 99Mo/99mTc generator systems using (n, γ) 99Mo: a review. *SN Applied Sciences*, 2(11). https://doi.org/10.1007/s42452-020-03524-1
- Hemalatha, T., Krithiga, G., Charannya Sozheesvari, S., Krishnakumar, S., & Sastry, T. (2014). International Journal of Pharmacy Practice. *International Journal of Pharmacy Practice*, 5(2), 76–82. https://www.researchgate.net/profile/sadia-shakeel/publication/259933991_fixed_dose_combination_understanding_of_imminent_pharmacist/links/0a85e52e9f65f8fb66000000/fixed-dose-combination-

- understanding-of-imminent-pharmacist.
- Hermiyati, I., Iswahyuni, I., & Juhana, S. (2019). Synthesis of Chitosan from the Scales of Starry Trigger Fish (Abalistes Stelaris). *Oriental Journal of Chemistry*, 35(1), 377–383. https://doi.org/10.13005/ojc/350147
- Hirschl, C., Biebl-Rydlo, M., Debiasio, M., Mühleisen, W., Neumaier, L., Scherf, W., Oreski, G., Eder, G., Chernev, B., Schwab, W., & Kraft, M. (2013). Determining the degree of crosslinking of ethylene vinyl acetate photovoltaic module encapsulants A comparative study. *Solar Energy Materials and Solar Cells*, *116*, 203–218. https://doi.org/10.1016/j.solmat.2013.04.022
- Hodoroaba, V. D. (2019). Energy-dispersive X-ray spectroscopy (EDS). In *Characterization of Nanoparticles: Measurement Processes for Nanoparticles* (Issue X). Elsevier Inc. https://doi.org/10.1016/B978-0-12-814182-3.00021-3
- Huang, Y. L., & Tsai, Y. H. (2020). Extraction of chitosan from squid pen waste by high hydrostatic pressure: Effects on physicochemical properties and antioxidant activities of chitosan. *International Journal of Biological Macromolecules*, *160*, 677–687. https://doi.org/10.1016/j.ijbiomac.2020.05.252
- Hussain, M. R., Iman, M., & Maji, T. K. (2013). Determination of Degree of Deacetylation of Chitosan and Their Effect on The Release Behavior of Essential Oil from Chitosan and Chitosan-Gelatin Complex Microcapsules. *International Journal of Advanced Engineering Applications*, 2(4), 4–12. https://www.researchgate.net/publication/284503182
- Islam, M. A., Sabar, S., Benhouria, A., Khanday, W. A., Asif, M., & Hameed, B. H. (2017). Nanoporous activated carbon prepared from karanj (Pongamia pinnata) fruit hulls for methylene blue adsorption. *Journal of the Taiwan Institute of Chemical Engineers*, 74, 96–104. https://doi.org/10.1016/j.jtice.2017.01.016
- Jawad, R. J., Halim, M., Ismail, S., & Siajam, S. I. (2016). Removal of Residual Oil from Palm Oil Mill Effluent by Novel Adsorbent of Alginate and Mangrove Composite Beads Coated by Chitosan. *Iranica Journal of Energy and Environment*, 7(4), 393–400. https://doi.org/10.5829/idosi.wasj.2016.34.9.200
- Karava, A., Lazaridou, M., Nanaki, S., Michailidou, G., Christodoulou, E., Kostoglou, M., Iatrou, H., & Bikiaris, D. N. (2020). Chitosan derivatives with mucoadhesive and antimicrobial properties for simultaneous nanoencapsulation and extended ocular release formulations of dexamethasone and chloramphenicol drugs. *Pharmaceutics*, *12*(6), 1–29. https://doi.org/10.3390/pharmaceutics12060594
- Kasaai, M. R. (2007). Calculation of Mark-Houwink-Sakurada (MHS) equation viscometric constants for chitosan in any solvent-temperature system using experimental reported viscometric constants data. *Carbohydrate Polymers*, 68(3), 477–488. https://doi.org/10.1016/j.carbpol.2006.11.006
- Khan, T. A., Peh, K. K., & Ch'ng, H. S. (2002). Reporting degree of deacetylation values of chitosan: The influence of analytical methods. *Journal of Pharmacy and Pharmaceutical Sciences*, *5*(3), 205–212.
- Khapre, M. A., Pandey, S., & Jugade, R. M. (2021). Glutaraldehyde-cross-linked chitosan–alginate composite for organic dyes removal from aqueous solutions. *International Journal of Biological Macromolecules*, *190*(September), 862–875. https://doi.org/10.1016/j.ijbiomac.2021.09.026
- Levy, M. A., Tsai, Y. H., Reaume, A., & Bray, T. M. (2001). Cellular response of antioxidant metalloproteins in Cu/Zn SOD transgenic mice exposed to hyperoxia. *American Journal of Physiology Lung Cellular and Molecular Physiology*, 281(1 25-1), 172–182. https://doi.org/10.1152/ajplung.2001.281.1.1172
- Li, B., Shan, C. L., Zhou, Q., Fang, Y., Wang, Y. L., Xu, F., Han, L. R., Ibrahim, M.,

- Guo, L. B., Xie, G. L., & Sun, G. C. (2013). Synthesis, characterization, and antibacterial activity of cross-linked chitosan-glutaraldehyde. *Marine Drugs*, *11*(5), 1534–1552. https://doi.org/10.3390/md11051534
- López-Cervantes, J., Sánchez-Machado, D. I., Sánchez-Duarte, R. G., & Correa-Murrieta, M. A. (2018). Study of a fixed-bed column in the adsorption of an azo dye from an aqueous medium using a chitosan–glutaraldehyde biosorbent. *Adsorption Science and Technology*, 36(1–2), 215–232. https://doi.org/10.1177/0263617416688021
- Ma, C., & et al. (2022). Adsorption of molybdenum on Zr-based MOFs for potential application in the 99Mo/99mTc generator. *Applied Surface Science*, 572(August 2021), 151340. https://doi.org/10.1016/j.apsusc.2021.151340
- Ma, C., Wolterbeek, H. T., Denkova, A. G., & Crespo, P. S. (2022). Porphyrinic metalorganic frameworks as molybdenum adsorbents for the 99Mo/99mTc generator. *Inorganic Chemistry*, 11. https://doi.org/10.1039/d2qi01919a
- Mahmoudian, M. H., Fazlzadeh, M., Niari, M. H., Azari, A., & Lima, E. C. (2020). A novel silica supported chitosan/glutaraldehyde as an efficient sorbent in solid phase extraction coupling with HPLC for the determination of Penicillin G from water and wastewater samples. *Arabian Journal of Chemistry*, *13*(9), 7147–7159. https://doi.org/10.1016/j.arabjc.2020.07.020
- Malhotra, I., & Basir, S. F. (2020). Application of Invertase Immobilized on Chitosan Using Glutaraldehyde or Tris(Hydroxymethyl)Phosphine as Cross-Linking Agent to Produce Bioethanol. *Applied Biochemistry and Biotechnology*, *191*(2), 838–851. https://doi.org/10.1007/s12010-019-03162-3
- Marlina, Lestari, E., Abidin, Hambali, Saptiama, I., Febriana, S., Kadarisman, Awaludin, R., Tanase, M., Nishikata, K., & Tsuchiya, K. (2020). Molybdenum-99 (99Mo) adsorption profile of zirconia-based materials for 99Mo/99mTc generator application. *Atom Indonesia*, 46(2), 91–97. https://doi.org/10.17146/aij.2020.914
- Martínez-Mejía, G., Vázquez-Torres, N. A., Castell-Rodríguez, A., del Río, J. M., Corea, M., & Jiménez-Juárez, R. (2019). Synthesis of new chitosan-glutaraldehyde scaffolds for tissue engineering using Schiff reactions. *Colloids and Surfaces A: Physicochemical and Engineering Aspects*, 579. https://doi.org/10.1016/j.colsurfa.2019.123658
- Mathaba, M., & Daramola, M. O. (2020). Effect of chitosan's degree of deacetylation on the performance of pes membrane infused with chitosan during amd treatment. *Membranes*, 10(3). https://doi.org/10.3390/membranes10030052
- Mincke, S., Asere, T. G., Verheye, I., Folens, K., Vanden Bussche, F., Lapeire, L., Verbeken, K., Van Der Voort, P., Tessema, D. A., Fufa, F., Du Laing, G., & Stevens, C. V. (2019). Functionalized chitosan adsorbents allow recovery of palladium and platinum from acidic aqueous solutions. *Green Chemistry*, 21(9), 2295–2306. https://doi.org/10.1039/c9gc00166b
- Mirzaei B., E., Ramazani, A., Shafiee, M., & Danaei, M. (2013). Studies on glutaraldehyde crosslinked chitosan hydrogel properties for drug delivery systems. *International Journal of Polymeric Materials and Polymeric Biomaterials*, 62(11), 605–611. https://doi.org/10.1080/00914037.2013.769165
- Monteiro, A. ., & Airoldi, C. (1999). Some studies of crosslinking chitosan—glutaraldehyde interaction in a homogeneous system. *International Journal of Biological Macromolecules*, 26, 119–128. https://doi.org/10.1016/S0141-8130(99)00068-9
- Moreno, M. (2019). Aseguramiento de los resultados obtenidos en el proceso: "Separación de Ru-103 y I-131 de Molibdeno-99 producto de fisión" utilizando

- espectrometría gamma.
- Mourya, V. K., Inamdar, N. N., & Choudhari, Y. M. (2011). Chitooligosaccharides: Synthesis, characterization and applications. *Polymer Science Series A*, *53*(7), 583–612. https://doi.org/10.1134/S0965545X11070066
- Moussout, H., Ahlafi, H., Aazza, M., & Bourakhouadar, M. (2016). Kinetics and mechanism of the thermal degradation of biopolymers chitin and chitosan using thermogravimetric analysis. *Polymer Degradation and Stability*, *130*, 1–9. https://doi.org/10.1016/j.polymdegradstab.2016.05.016
- Mukiza, J., Byamukama, E., Sezirahiga, J., Ngbolua, K. N., & Ndebwanimana, V. (2018). A review on technetium and rhenium based radiopharmaceuticals for diagnostic imaging and therapeutic nuclear medicine. *Rwanda Medical Journal*, 75(1), 14–22.
- Munir, M., Sriyono, Abidin, Sarmini, E., Saptiama, I., Kadarisman, & Marlina. (2020). Development of mesoporous γ-alumina from aluminium foil waste for 99Mo/99mTc generator. *Journal of Radioanalytical and Nuclear Chemistry*, *326*(1), 87–96. https://doi.org/10.1007/s10967-020-07288-1
- Nandiyanto, A. B. D., Girsang, G. C. S., Maryanti, R., Ragadhita, R., Anggraeni, S., Fauzi, F. M., Sakinah, P., Astuti, A. P., Usdiyana, D., Fiandini, M., Dewi, M. W., & Al-Obaidi, A. S. M. (2020). Isotherm adsorption characteristics of carbon microparticles prepared from pineapple peel waste. *Communications in Science and Technology*, 5(1), 31–39. https://doi.org/10.21924/cst.5.1.2020.176
- Pandey, L. M. (2021). Surface engineering of nano-sorbents for the removal of heavy metals: Interfacial aspects. *Journal of Environmental Chemical Engineering*, 9(1), 104586. https://doi.org/10.1016/j.jece.2020.104586
- Pavoni, J. M. F., dos Santos, N. Z., May, I. C., Pollo, L. D., & Tessaro, I. C. (2021). Impact of acid type and glutaraldehyde crosslinking in the physicochemical and mechanical properties and biodegradability of chitosan films. *Polymer Bulletin*, 78(2), 981–1000. https://doi.org/10.1007/s00289-020-03140-4
- Pei, P., Liu, T., Shen, W., Liu, Z., & Yang, K. (2021). Biomaterial-mediated internal radioisotope therapy. *Materials Horizons*, 8(5), 1348–1366. https://doi.org/10.1039/d0mh01761b
- Pighinelli, L., & Kucharska, M. (2013). Chitosan-hydroxyapatite composites. *Carbohydrate Polymers*, 93(1), 256–262. https://doi.org/10.1016/j.carbpol.2012.06.004
- Pimlott, S. L., & Sutherland, A. (2011). Molecular tracers for the PET and SPECT imaging of disease. *Chemical Society Reviews*, 40(1), 149–162. https://doi.org/10.1039/b922628c
- Pires, C. T. G. V. M. T., Vilela, J. A. P., & Airoldi, C. (2014). The Effect of Chitin Alkaline Deacetylation at Different Condition on Particle Properties. *Procedia Chemistry*, 9, 220–225. https://doi.org/10.1016/j.proche.2014.05.026
- Poon, L., Wilson, L. D., & Headley, J. V. (2014). Chitosan-glutaraldehyde copolymers and their sorption properties. *Carbohydrate Polymers*, 109, 92–101. https://doi.org/10.1016/j.carbpol.2014.02.086
- Priyadarshi, R., & Rhim, J. W. (2020). Chitosan-based biodegradable functional films for food packaging applications. *Innovative Food Science and Emerging Technologies*, 62(April), 102346. https://doi.org/10.1016/j.ifset.2020.102346
- Queiroz, M. F., Melo, K. R. T., Sabry, D. A., Sassaki, G. L., & Rocha, H. A. O. (2015). Does the use of chitosan contribute to oxalate kidney stone formation? *Marine Drugs*, *13*(1), 141–158. https://doi.org/10.3390/md13010141
- Rafiee, F., & Rezaee, M. (2021). Different strategies for the lipase immobilization on the chitosan based supports and their applications. *International Journal of Biological*

- Macromolecules, 179, 170–195. https://doi.org/10.1016/j.ijbiomac.2021.02.198
- Ramasubramaniam, S., Govindarajan, C., Nasreen, K., & Sudha, P. N. (2014). Removal of cadmium (II) ions from aqueous solution using chitosan/starch polymer blend. *Composite Interfaces*, 21(2), 95–109. https://doi.org/10.1080/15685543.2013.834199
- Rathmann S., Ahmad, Z., & S, S. (2019). Radiopharmaceutical chemistry. *Applied Radiology*, 4(5). https://doi.org/10.1007/978-3-319-98947-1
- Raut, A. V., Satvekar, R. K., Rohiwal, S. S., Tiwari, A. P., Gnanamani, A., Pushpavanam, S., Nanaware, S. G., & Pawar, S. H. (2016). In vitro biocompatibility and antimicrobial activity of chitin monomer obtain from hollow fiber membrane. *Designed Monomers and Polymers*, 19(5), 445–455. https://doi.org/10.1080/15685551.2016.1169379
- Rawat, S., & Maiti, A. (2021). Facile preparation of iron oxyhydroxide—biopolymer (Chitosan/Alginate) beads and their comparative insights into arsenic removal. Separation and Purification Technology, 272(February), 118983. https://doi.org/10.1016/j.seppur.2021.118983
- Reghioua, A., Barkat, D., Jawad, A. H., Abdulhameed, A. S., Rangabhashiyam, S., Khan, M. R., & ALOthman, Z. A. (2021). Magnetic Chitosan-Glutaraldehyde/Zinc Oxide/Fe3O4 Nanocomposite: Optimization and Adsorptive Mechanism of Remazol Brilliant Blue R Dye Removal. *Journal of Polymers and the Environment*, 29(12), 3932–3947. https://doi.org/10.1007/s10924-021-02160-z
- Rico Rodriguez, F. (2013). Estudio de la aplicación de recubrimientos comestibles de quitosano y su combinación con aceites esenciales sobre la vida útil del mango (mangifera indica l.). *Universidad Nacional de Colombia*, 115.
- Rondón Millán, J. J. (2013). Estudios con películas de quitosano y ácidos carboxílicos obtenidos de fuentes naturales. *Researchgate.Net*, *June 2013*. http://www.researchgate.net/publication/242650503_Estudios_con_pelculas_de_quitosano_y_cidos_carboxlicos_obtenidos_de_fuentes_naturales/file/60b7d51d47183 de5d7.pdf
- Saheed, I. O., Oh, W. Da, & Suah, F. B. M. (2021). Chitosan modifications for adsorption of pollutants A review. *Journal of Hazardous Materials*, 408, 124889. https://doi.org/10.1016/j.jhazmat.2020.124889
- Sahoo, T. R., & Prelot, B. (2020). Adsorption processes for the removal of contaminants from wastewater: The perspective role of nanomaterials and nanotechnology. In *Nanomaterials for the Detection and Removal of Wastewater Pollutants*. Elsevier Inc. https://doi.org/10.1016/B978-0-12-818489-9.00007-4
- Saita, K., Nagaoka, S., Shirosaki, T., Horikawa, M., Matsuda, S., & Ihara, H. (2012). Preparation and characterization of dispersible chitosan particles with borate crosslinking and their antimicrobial and antifungal activity. *Carbohydrate Research*, 349, 52–58. https://doi.org/10.1016/j.carres.2011.12.017
- Salehi, N., Moghimi, A., & Shahbazi, H. (2022). Preparation of cross-linked magnetic chitosan with methionine-glutaraldehyde for removal of heavy metals from aqueous solutions. *International Journal of Environmental Analytical Chemistry*, *102*(10), 2305–2321. https://doi.org/10.1080/03067319.2020.1753718
- Sánchez-Machado, D. I., López-Cervantes, J., Correa-Murrieta, M. A., Sánchez-Duarte, R. G., Cruz-Flores, P., &, & la Mora-López, G. S. (2018). *Chitosan* (In Nonvita).
- Santoso, J., Adiputra, K. C., Soerdirga, L. C., & Tarman, K. (2020). Effect of acetic acid hydrolysis on the characteristics of water soluble chitosan. *IOP Conference Series:* Earth and Environmental Science, 414(1). https://doi.org/10.1088/1755-1315/414/1/012021

- Saptiama, I., Lestari, E., Sarmini, E., Lubis, H., Marlina, & Mutalib, A. (2016). Development of 99Mo/99mTc generator system for production of medical radionuclide 99mTc using a neutron-activated 99Mo and zirconium based material (ZBM) as its adsorbent. *Atom Indonesia*, 42(3), 115–121. https://doi.org/10.17146/aij.2016.531
- Saptiama, I., Nurmanjaya, A., Rindiantono, F., Marlina, Lestari, A. M., Nugraheni, N. F., & Mujamilah. (2021). Synthesis and characterization of mesoporous gamma-alumina by glucose as soft-template for molybdenum-99 adsorption: High and low molar ratio of water to aluminium isopropoxide effect. *IOP Conference Series:* Earth and Environmental Science, 927(1), 2–8. https://doi.org/10.1088/1755-1315/927/1/012005
- Sarathchandiran, I., Koumaravelou, K., & Selvasudha, N. (2019). Interaction pattern and in vitro, in vivo release behavior of simvastatin-loaded chitosan nanoformulation. *Drug Development and Industrial Pharmacy*, 45(11), 1725–1739. https://doi.org/10.1080/03639045.2019.1656225
- Sarkodie, A. A. (2020). Assessment of the quality and suitability of radiopharmaceutical cold kits and 99Mo/ 99mTc generator used at the nuclear medicine unit, Korle-Bu teaching Hospital, Accra. *Effects of Social Media Use on the Academic Performance of Students of Public Tertiary Institutions in Ghana*, 10206539, 1–13.
- Schio, R. da R., da Boit Martinello, K., Netto, M. S., Silva, L. F. O., Mallmann, E. S., & Dotto, G. L. (2022). Adsorption performance of Food Red 17 dye using an ecofriendly material based on Luffa cylindrica and chitosan. *Journal of Molecular Liquids*, *349*, 118144. https://doi.org/10.1016/j.molliq.2021.118144
- Sehmi, S. K., Allan, E., MacRobert, A. J., & Parkin, I. (2016). The bactericidal activity of glutaraldehyde-impregnated polyurethane. *MicrobiologyOpen*, *5*(5), 891–897. https://doi.org/10.1002/mbo3.378
- Shameen Hasan. (2019). Patente hassan actualizada 2019-US10500564.pdf.
- Shavandi, A., Bekhit, A. E. D. A., Sun, Z., & Ali, M. A. (2016). Bio-scaffolds produced from irradiated squid pen and crab chitosan with hydroxyapatite/β-tricalcium phosphate for bone-tissue engineering. *International Journal of Biological Macromolecules*, *93*, 1446–1456. https://doi.org/10.1016/j.ijbiomac.2016.04.046
- Singha, A. S., & Thakur, V. K. (2008). Mechanical properties of natural fibre reinforced polymer composites. *Bulletin of Materials Science*, 31(5), 791–799. https://doi.org/10.1007/s12034-008-0126-x
- Son, Y., Hwang, I., Nho, C., Kim, S., & Kim, S. (2021). Determination of Carbohydrate Composition in Mealworm. *Foods*, *10*(640).
- Suzuki, Y., Kitagawa, T., Namekawa, Y., Matsukura, M., Nishikata, K., Mimura, H., & Tsuchiya, K. (2018). Molybdenum Adsorption and Desorption Properties of Alumina with Different Surface Structures for ⁹⁹Mo/⁹⁹ ^mTc Generators. *Transactions of the Materials Research Society of Japan*, 43(2), 75–80. https://doi.org/10.14723/tmrsj.43.75
- Uzunov, N., Yordanova, G., Salim, S., Stancheva, N., Mineva, V., Meléndez-Alafort, L., & Rosato, A. (2018). Quality assurance of Mo-99/Tc-99m radionuclide generators. *Acta Scientifica Naturalis*, *5*(1), 40–47. https://doi.org/10.2478/asn-2018-0006
- Vallejos-Sologuren, C. S., Aguilar-Cartagena, A., & Flores-Flores, C. J. (2020). Situacion de cáncer en el Perú. *Diagnóstico*, 59(2), 77–85. http://142.44.242.51/index.php/diagnostico/article/view/221/225
- Velempini, T., Pillay, K., Mbianda, X. Y., & Arotiba, O. A. (2019). Carboxymethyl cellulose thiol-imprinted polymers: Synthesis, characterization and selective Hg(II) adsorption. *Journal of Environmental Sciences* (China), 79(Ii), 280–296.

- https://doi.org/10.1016/j.jes.2018.11.022
- Vijayalakshmi, BM, D., & PN, S. (2016). Synthesis, Characterization and Applications of Nanochitosan/Sodium Alginate/Microcrystalline Cellulose Film. *Journal of Nanomedicine* & *Nanotechnology*, 07(06). https://doi.org/10.4172/2157-7439.1000419
- Wadhwa, S., Paliwal, R., Rai Paliwal, S., & P. Vyas, S. (2010). Chitosan and its Role in Ocular Therapeutics. *Mini-Reviews in Medicinal Chemistry*, *9*(14), 1639–1647. https://doi.org/10.2174/138955709791012292
- Wang, F., Hu, S., Shi, F., Huang, K., & Li, J. (2020). A non-enzymatic sensor based on fc-chit/cnt@cu nanohybrids for electrochemical detection of glucose. *Polymers*, 12(10), 1–12. https://doi.org/10.3390/polym12102419
- Wegrzynowska-Drzymalska, K., Grebicka, P., Mlynarczyk, D. T., Chelminiak-Dudkiewicz, D., Kaczmarek, H., Goslinski, T., & Ziegler-Borowska, M. (2020). Crosslinking of chitosan with dialdehyde chitosan as a new approach for biomedical applications. *Materials*, *13*(15), 1–27. https://doi.org/10.3390/ma13153413
- Yasmeen, S., Kabiraz, M., Saha, B., Qadir, M., Gafur, M., & Masum, S. (2016). Chromium (VI) Ions Removal from Tannery Effluent using Chitosan-Microcrystalline Cellulose Composite as Adsorbent. *International Research Journal of Pure and Applied Chemistry*, 10(4), 1–14. https://doi.org/10.9734/irjpac/2016/23315
- Yuan, Y., Chesnutt, B. M., Haggard, W. O., & Bumgardner, J. D. (2011). Deacetylation of chitosan: Material characterization and in vitro evaluation via albumin adsorption and pre-osteoblastic cell cultures. *Materials*, *4*(8), 1399–1416. https://doi.org/10.3390/ma4081399
- Zargar, V., Asghari, M., & Dashti, A. (2015). A Review on Chitin and Chitosan Polymers: Structure, Chemistry, Solubility, Derivatives, and Applications. *ChemBioEng Reviews*, 2(3), 204–226. https://doi.org/10.1002/cben.201400025
- Zwanziger, J. W., & Spiess, H. W. (2005). Nuclear magnetic resonance spectroscopy techniques | solid-state. *Encyclopedia of Analytical Science*, V6-358-V6-366. https://doi.org/10.1016/B0-12-369397-7/00416-7

ANEXOS

Tabla A.1Datos implicados en la optimización de la columna cromatográfica

Código	Área 739 KeV (Mo)	Actividad (μCi)	Adsorción 99MoO ₄ -2 (%)	
Mo99_10en25	24202	0,969		
Mo99_10en25_F	28898,39	0,808	16,60	
Mo99_5en25	18183,87	0,502		
Mo99_5en25_F	14786,45	0,408	18,72	
Mo99_2en25	7516,2	0,205		
Mo99_2en25_F	4019,57	0,111	45,97	
Mo99_1,6en25	1478,57	0,169		
Mo99_1,6en25_F	363,30	0,046	72,92	
Mo99_1,2en25	1271,16	0,141		
Mo99_1,2en25_F	225,84	0,025	82,00	
Mo99_0,9en25	2103,40	0,095		
Mo99_0,9en25_F	571,55	0,020	78,94	
Mo99_0,6en25	493,18	0,069		
Mo99_0,6en25_F	167,70	0,020	71,44	
Mo99_0,3en25	1271,81	0,044		
Mo99_0,3en25_F	314,54	0,016	63,14	

Tabla A.2Datos implicados en el estudio de tiempo de contacto y cinética de adsorción de QPCG

Código	Tiempo	de Actividad itación ⁹⁹ Mo (μCi)	Cantidad adsorbida (μCi.g ⁻¹)	Log (C _{eq} - C _{adsorbida})	Tiempo/ Cantidad	Adsorción 99MoO4-2
	agitación				adsorbida	(%)
	(min)				(min.g.µCi ⁻¹)	(70)
QPCG-1-BK	0	12,003	0	2,852	0	0
QPCG-1-Mo-5	5	5,533	647,747	1,799	0,008	53,90
QPCG-1-Mo-15	15	5,988	603,296	2,031	0,025	50,11
QPCG-1-Mo-30	30	5,486	654,252	1,751	0,046	54,29
QPCG-1-Mo-60	60	5,081	696,912	1,137	0,086	57,67
QPCG-1-Mo-100	100	5,024	702,461	0,912	0,142	58,15
QPCG-1-Mo-120	120	4,904	710,631	0	0,169	59,15
QPCG-2-BK	0	12,003	0	2,977	0	0
QPCG-2-Mo-5	5	2,563	948,672	0	0,005	78,65
QPCG-2-Mo-15	15	3,561	846,585	2,009	0,018	70,33
QPCG-2-Mo-30	30	3,624	837,954	2,044	0,036	69,81
QPCG-2-Mo-60	60	3,757	827,959	2,082	0,072	68,70
QPCG-2-Mo-100	100	3,948	807,980	2,148	0,124	67,11
QPCG-2-Mo-120	120	4,265	775,443	2,239	0,155	64,47
QPCG-3-BK	0	12,003	0	2,559	0	0
QPCG-3-Mo-5	5	9,128	288,997	1,866	0,017	23,96
QPCG-3-Mo-15	15	9,760	226,193	2,134	0,066	18,69
QPCG-3-Mo-30	30	8,397	362,370	0	0,083	30,04
QPCG-3-Mo-60	60	8,774	323,807	1,586	0,185	26,90
QPCG-3-Mo-100	100	8,801	320,135	1,626	0,312	26,68
QPCG-3-Mo-120	120	9,219	279,019	1,921	0,430	23,20

Tabla A.3Datos implicados en el estudio de tiempo de contacto y cinética de adsorción de QCG

Código	Tiempo de agitación (min)	Actividad 99Mo (μCi)	Cantidad adsorbida (µCi.g ⁻¹)	Log (Ceq- Cadsorbida)	Tiempo/ Cantidad adsorbida (min.g.µCi ⁻¹)	Adsorción 99MoO4 ⁻² (%)
QCG-1-BK	0	6,585	0	2,794	0	0
QCG-1-Mo-5	5	1,857	519,843	2,011	0,010	71,86
QCG-1-Mo-15	15	1,219	582,456	1,600	0,026	81,53
QCG-1-Mo-30	30	1,082	608,858	1,128	0,049	83,62
QCG-1-Mo-60	60	0,546	622,297	0	0,096	91,73
QCG-1-Mo-100	100	0,726	597,338	1,397	0,167	89,00
QCG-1-Mo-120	120	0,564	609,675	1,101	0,197	91,46
QCG-2-BK	0	10,06	0	2,666	0	0
QCG-2-Mo-5	5	6,777	295,424	2,225	0,017	17,02
QCG-2-Mo-15	15	6,769	340,291	2,090	0,044	41,02
QCG-2-Mo-30	30	6,427	313,593	2,175	0,096	45,14
QCG-2-Mo-60	60	5,825	370,302	1,968	0,162	42,04
QCG-2-Mo-100	100	5,449	407,908	1,743	0,245	40,13
QCG-2-Mo-120	120	5,082	463,254	0	0,259	53,99
QCG-3-BK	0	8,257	0	2,954	0	0
QCG-3-Mo-5	5	0,019	882,404	1,253	0,006	99,77
QCG-3-Mo-15	15	0,008	834,805	1,816	0,018	99,89
QCG-3-Mo-30	30	0,015	832,947	1,828	0,036	99,81
QCG-3-Mo-60	60	0,009	871,493	1,460	0,069	99,88
QCG-3-Mo-100	100	0,008	900,318	0	0,111	99,90
QCG-3-Mo-120	120	0,009	881,382	1,277	0,136	99,88

Tabla A.4Datos implicados en el estudio del efecto de pH de QPCG

Código	Tiempo de agitación (min)	Masa de polímero (g)	Concentración actividad (μCi mL ⁻¹)	Cantidad adsorbida (µCi g ⁻¹ polímero)	Adsorción ⁹⁹ MoO ₄ -2 (%)
QPCG-1_pH_Bk	0	0	7,628	0	0
QPCG-1_pH_2	120	0,09926	0,301	738,192	96,05
QPCG-1_pH_3	120	0,09810	1,093	666,213	85,67
QPCG-1_pH_4	120	0,09790	1,159	660,783	84,80
QPCG-1_pH_5	120	0,09632	1,185	668,948	84,46
QPCG-1_pH_6	120	0,09860	1,151	656,911	84,91
QPCG-1_pH_7	120	0,09994	1,134	649,816	85,13
QPCG-1_pH_8	120	0,09990	1,135	650,006	85,12
QPCG-1_pH_9	120	0,09661	1,133	672,305	85,14
QPCG-1_pH_10	120	0,09870	1,069	664,611	85,99
QPCG-1_pH_11	120	0,09787	1,175	659,418	84,60
QPCG-1_pH_12	120	0,09760	1,249	653,609	83,62
QPCG-1_pH_13	120	0,09590	1,249	665,271	83,63
QPCG-2_pH_Bk	0	0	7,628	0	0
QPCG-2_pH_2	5	0,09740	0,229	759,725	97,00
QPCG-2_pH_3	5	0,09770	0,888	689,883	88,36
QPCG-2_pH_4	5	0,09870	1,104	661,018	85,52
QPCG-2_pH_5	5	0,09674	1,122	672,616	85,30
QPCG-2_pH_6	5	0,09620	1,094	679,281	85,66
QPCG-2_pH_7	5	0,09840	1,106	662,838	85,50
QPCG-2_pH_8	5	0,09670	1,125	672,514	85,25
QPCG-2_pH_9	5	0,09694	1,091	674,377	85,70
QPCG-2_pH_10	5	0,09670	1,101	675,050	85,57
QPCG-2_pH_11	5	0,09941	1,154	651,311	84,88
QPCG-2_pH_12	5	0,09900	1,269	642,412	83,37
QPCG-2_pH_13	5	0,09752	1,246	654,463	83,66
QPCG-3_pH_Bk	0	0	7,628	0	0
QPCG-3_pH_2	30	0,09730	0,376	745,414	95,08
QPCG-3_pH_3	30	0,09692	1,123	671,184	85,27
QPCG-3_pH_4	30	0,09660	1,263	658,981	83,45
QPCG-3_pH_5	30	0,09690	1,258	657,419	83,51
QPCG-3_pH_6	30	0,09844	1,267	646,210	83,39
QPCG-3_pH_7	30	0,09815	1,257	649,115	83,52
QPCG-3_pH_8	30	0,09858	1,231	648,959	83,86
QPCG-3_pH_9	30	0,09650	1,284	657,465	83,17
QPCG-3_pH_10	30	0,09850	1,271	645,466	83,34
QPCG-3_pH_11	30	0,09847	1,225	650,284	83,94
QPCG-3_pH_12	30	0,09730	1,277	652,822	83,27
QPCG-3_pH_13	30	0,09672	1,216	663,030	84,06

Tabla A.5Datos implicados en el estudio del efecto de pH de QCG

Código	Tiempo de agitación (min)	Masa de polímero (g)	Concentración actividad (μCi mL ⁻¹)	Cantidad adsorbida (µCi g ⁻¹ polímero)	Adsorción 99MoO ₄ -2 (%)
QCG-1_pH_Bk	0	0	6,824	0	0
QCG-1_pH_2	60	0,11713	0,069	576,988	98,99
QCG-1_pH_3	60	0,09069	0,700	675,644	89,75
QCG-1_pH_4	60	0,10750	0,925	549,085	86,46
QCG-1_pH_5	60	0,09770	1,093	586,894	83,99
QCG-1_pH_6	60	0,11372	1,088	504,657	84,06
QCG-1_pH_7	60	0,11907	1,113	479,910	83,70
QCG-1_pH_8	60	0,10937	1,112	522,554	83,71
QCG-1_pH_9	60	0,10536	1,047	548,638	84,67
QCG-1_pH_10	60	0,10576	1,075	543,870	84,25
QCG-1_pH_11	60	0,10534	1,224	531,894	82,07
QCG-1_pH_12	60	0,10483	1,142	542,313	83,27
QCG-1_pH_13	60	0,10246	1,301	539,355	80,94
QCG-2_pH_Bk	0	0	6,824	0	0
QCG-2_pH_2	120	0,10085	0,080	668,768	98,79
QCG-2_pH_3	120	0,10643	0,845	561,803	87,58
QCG-2_pH_4	120	0,09577	0,854	623,406	87,45
QCG-2_pH_5	120	0,09289	1,154	610,462	83,06
QCG-2_pH_6	120	0,10757	1,060	535,861	84,43
QCG-2_pH_7	120	0,09035	1,100	633,550	83,84
QCG-2_pH_8	120	0,09332	0,968	627,583	85,78
QCG-2_pH_9	120	0,09565	1,079	600,672	84,15
$QCG-2_pH_10$	120	0,09156	1,002	635,845	85,27
QCG-2_pH_11	120	0,10236	1,073	561,843	84,24
QCG-2_pH_12	120	0,11666	1,077	492,665	84,18
QCG-2_pH_13	120	0,09063	1,162	624,782	82,94
QCG-3_pH_Bk	0	0	6,824	0	0
QCG-3_pH_2	100	0,09389	0,080	718,623	98,83
QCG-3_pH_3	100	0,09118	0,197	727,131	97,11
QCG-3_pH_4	100	0,09788	0,097	687,586	98,58
QCG-3_pH_5	100	0,09525	0,238	691,777	96,51
QCG-3_pH_6	100	0,11004	0,225	599,990	96,71
QCG-3_pH_7	100	0,11343	0,181	585,898	97,34
QCG-3_pH_8	100	0,09320	0,241	706,646	96,47
QCG-3_pH_9	100	0,09232	0,308	706,171	95,49
QCG-3_pH_10	100	0,09779	0,269	670,691	96,07
QCG-3_pH_11	100	0,09231	0,369	699,675	94,60
QCG-3_pH_12	100	0,09457	0,892	627,604	86,94
QCG-3_pH_13	100	0,09947	1,245	561,221	81,77

Tabla A.6Datos implicados en el estudio de la variación de masa de QPCG

Código	Masa del polímero (g)	Tiempo de agitación (min)	Actividad (μCi)	Cantidad adsorbida (µCi g-1 polímero)	Adsorción 99MoO4-2 (%)
QPCG-1_BK_MV	0	0	5,747	0	0
QPCG-1_1	0,04950	120	3,706	41,250	35,527
QPCG-1_2	0,10019	120	2,684	30,577	53,303
QPCG-1_3	0,19833	120	2,231	17,732	61,188
QPCG-1_4	0,40110	120	1,700	10,090	70,415
QPCG-2_BK_MV	0	0	5,747	0	0
QPCG-2_1	0,0507	5	3,101	52,205	46,052
QPCG-2_2	0,1003	5	1,654	40,809	71,217
QPCG-2_3	0,2001	5	1,014	23,656	82,359
QPCG-2_4	0,3956	5	0,600	13,012	89,563
QPCG-3_BK_MV	0	0	5,747	0	0
QPCG-3_1	0,05000	30	4,029	34,376	29,906
QPCG-3_2	0,10210	30	4,003	17,087	30,.355
QPCG-3_3	0,20220	30	3,631	10,467	36,825
QPCG-3_4	0,39480	30	3,621	5,385	36,992

Tabla A.7Datos implicados en el estudio de la variación de masa de QCG

Código	Masa del polímero (g)	Tiempo (min)	Actividad (μCi)	Cantidad adsorbida (µCi g ⁻¹ polímero)	Adsorción ⁹⁹ MoO ₄ -2 (%)
QCG-1_BK_MV	0	60	2,394	0	0
QCG-1_1	0,0499	60	0,635	35,235	73,461
QCG-1_2	0,1000	60	0,286	21,079	88,052
QCG-1_3	0,2013	60	0,132	11,235	94,486
QCG-1_4	0,4038	60	0,092	5,702	96,172
QCG-2_BK_MV	0	120	2,358	0	0
QCG-2_1	0,0527	120	0,948	26,763	59,809
$QCG-2_2$	0,1014	120	0,776	15,608	67,089
QCG-2_3	0,1990	120	0,279	10,450	88,159
QCG-2_4	0,3987	120	0,209	5,391	91,136
QCG-3_BK_MV	0	100	2,144	0	0
QCG-3_1	0,0495	100	0,068	41,954	96,832
QCG-3_2	0,1012	100	0,002	21,165	99,889
QCG-3_3	0,1990	100	0,002	10,764	99,886
QCG-3_4	0,4004	100	0,002	5,349	99,892

Tabla A.8Cálculo para determinar la actividad en el día de experimento a partir de la actividad calculada en el equipo Gamma a 185 mm.

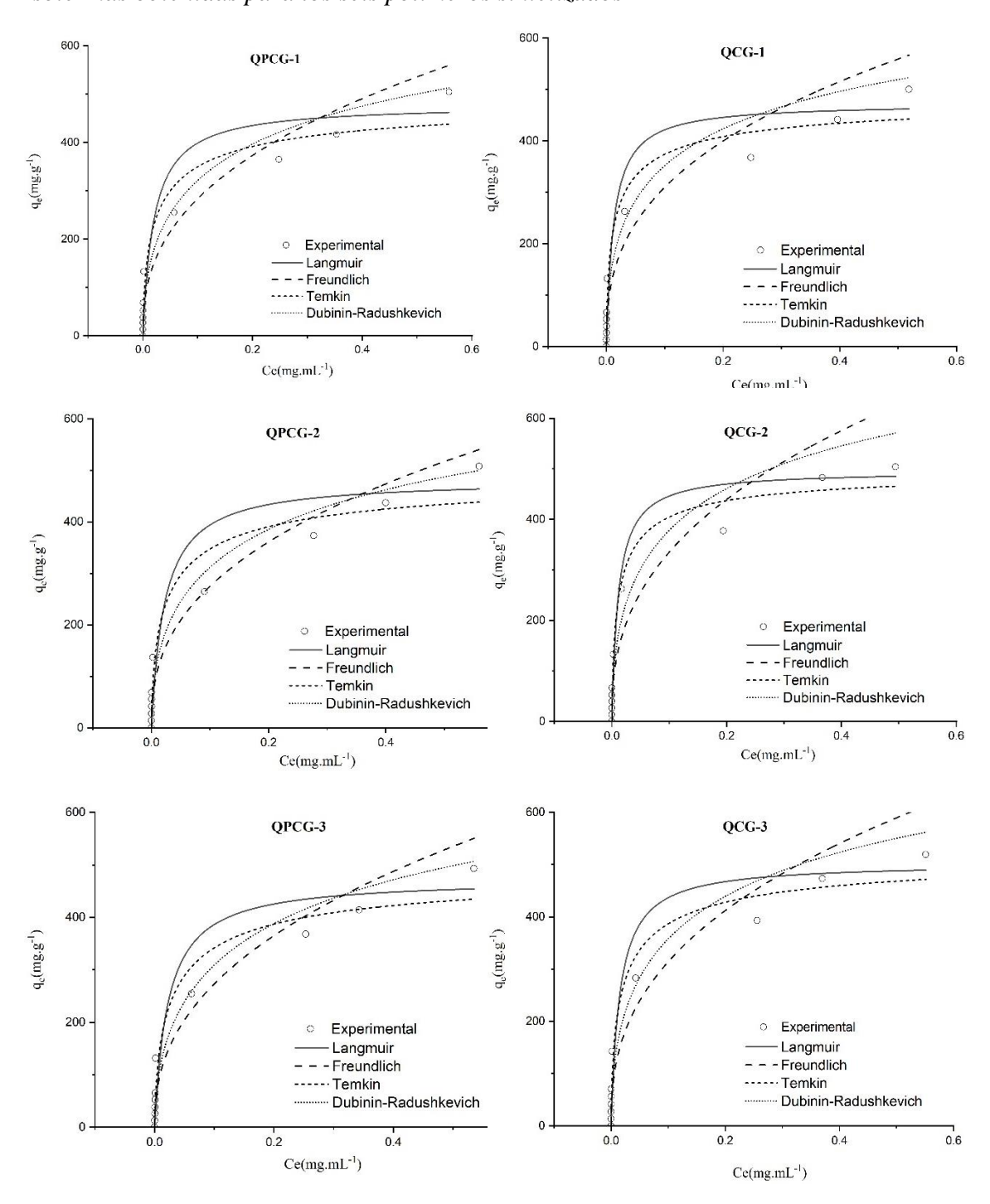
Descripción	Medición gamma	Experimental
Hora	10:31:33 a. m.	14:00:00 p. m.
Fecha	19/01/2024	15/01/2024
Actividad (µCi)	13,393	35,25
Tiempo		319214,13

- ✓ Cálculo de la actividad inicial experimental con la ecuación 13 de decaimiento
 - Tiempo de semidesintegración (h) = 66,192
 - Tiempo de semidesintegración (s) = 238291,2
 - Constante de semidesintegración (s⁻¹) = $\frac{LN(2)}{238291,2}$ = 2,9088E-06
- = (Fecha 1 Fecha 2) x 23 x 3600 + (Hora 1 Hora 2) x 23 x 3600
- = $(19/01/2024 15/01/2024) \times 23 \times 3600 + (10:31:33 \text{ a.m} 14:00:00 \text{ p.m}) \times 23 \times 3600$
- = 319214,13

Tabla A.9Cálculo para determinar la adsorción de ⁹⁹MoO₄-² en el día del experimento

Polímero	Descripción	⁹⁹ Mo Inicial- Armado	Medición gamma	Experimento	Adsorción ⁹⁹ MoO4 ⁻² (%)
	Hora	2:00:00 p. m.	11:26:02 a. m.	2:00:00 p. m	
	Fecha	15/01/2024	17/01/2024	15/01/2024	
	Actividad (µci)	35,25	6,025	9,51	73,04
	Tiempo	319214,13	-	156746,92	75,04
QPCG-2	Act. empaquetada (μci)	25,75			
	Hora	2:00:00 p. m.	10:48:11 a. m.	2:00:00 p. m.	
	Fecha	15/01/2024	18/01/2024	15/01/2024	
	Actividad (µci)	35,25	3,432	6,85	80,58
	Tiempo	319214,13		237370,54	00,50
QCG-3	Act. empaquetada				
	(µci)	28,41			

Figura B.1 *Isotermas obtenidas para los seis polímeros sintetizados*



Parámetros evaluados para el control de calidad de los eluatos de Na 99mTcO4

SOLICITUD DE ANÁLISIS

RE051-CC00-PPRR VERSION: 02

1. PROCEDENCIA

a. Remitente : MSc. Victor Raul Poma Llantoy

b. Área : Laboratorio de Técnicas Analíticas (TEAN) - INDE

c. Responsable : Pablo Mendoza

d. Fecha de recepción: 19/03/2024 Hora: 10:30:00 am

2. DATOS DE LA MUESTRA

a. Identificación : M1-Tc-99m

b. N° de unidades 01

c. Tipo de envase : Vidrio borosilicato

d. Cantidad : 1 mL

e. Descripción : Eluato de tecnecio 99 metaestable

3. ANÁLISIS SOLICITADOS:

- a. Físicos-químicos:
 - i. Aspecto
 - ii. pH
 - iii. Determinación de Al+3
 - iv. Determinación de MEC
 - v. Pureza radioquímica
 - vi. Control de agua destilada
- vii. Control de agua bidestilada
- viii. Control de agua potable.
- ix. Otros

b. Nucleares:

- i. Identificación radionucleídica
- ii. Pureza radionucleídica
- iii. Determinación de Mo 99
- iv. Relación radioactiva Mo 99 / Tc 99m
- v. Otros radionúclidos emisores gamma
- vi. Valoración de radioactividad
- vii. Medición radioactiva de filtros
- viii. Otros

c. Biológicos:

- i. Esterilidad
- ii. Endotoxinas bacterianas
- iii. Recuento microbiano
- iv. Control microbiológico de área
- v. Otros

4. Observaciones:

LLANTOY Victor Raul FAU 20131371293 soft Motivo: Soy el autor del documento Fecha: 18.03.2024 11:10:28 -05:00

Nombre y firma Jefe del Departamento o Área Nombre y firma

de la persona que recibe la muestra

SISCALIDAD \ RE051-CC00-PPRR

Prohibido su reproducción total o parcial sin autorización de la PPRR - IPEN.

1/1

112-24

Informe de análisis del Na 99mTcO4 en la elección del método de ensamblado

6. RESULTADOS:

1. M1-TC-99m

a. Fisicoquímicos:

FECHA	ENSAYO	ESPECIFICACIÓN	RESULTADO	CONDICIÓN
23-04-24	Aspecto	Solución acuosa límpida e incolora		Conforme
23-04-24	pH	4,5 a 7,5	6,5	Conforme
23-04-24	Pureza radioquímica	≥ 95 %	79,21%	No conforme

		res

		1	THE RESERVE TO STATE OF THE PARTY OF THE PAR	T T
FECHA	ENSAYO	ESPECIFICACIÓN	RESULTADO	CONDICIÓN
23-04-24	Pureza radionucleídica	≥ 99,996 % Tc99m	69,.51 %	No conforme
23-04-24	Determinación de Mo99	≤ 0,043 µCi de Mo99/mCi de Tc99m	438,56 µCi de Mo99/mCi de Tc99m	No Conforme
23-04-24	Relación radioactiva Mo99/Tc99m		0,86	-

2. M2-TC-99m

a. Fisicoquímicos

FECHA	ENSAYO	ESPECIFICACIÓN	RESULTADO	CONDICIÓN
23-04-24	Aspecto	Solución acuosa límpida e incolora	-	Conforme
23-04-24	pH	4,5 a 7,5	7,0	Conforme
23-04-24	Pureza radioquímica	≥ 95 %	87,67 %	No conforme

b. Nucleares:

FECHA	ENSAYO	ESPECIFICACIÓN	RESULTADO	CONDICIÓN
23-04-24	Pureza radionucleídica	≥ 99,996 % Tc99m	89,82 %	No conforme
23-04-24	Determinación de Mo99	≤ 0,043 µCi de Mo99/mCi de Tc99m	113,31 µCi de Mo99/mCi de Tc99m	No Conforme
23-04-24	Relación radioactiva Mo99/Tc99m		0,21	*********

3. M3-TC-99m

a. Fisicoquímicos:

FECHA	ENSAYO	ESPECIFICACIÓN	RESULTADO	CONDICIÓN
23-04-24	Aspecto	Solución acuosa límpida e incolora	-	Conforme
23-04-24	pH	4,5 a 7,5	6,5	Conforme
23-04-24	Pureza radioquímica	≥ 95 %	88,97 %	No conforme

b. Nucleares:

1140104100		T		r
FECHA	ENSAYO	ESPECIFICACIÓN	RESULTADO	CONDICIÓN
23-04-24	Pureza radionucleídica	≥ 99,996 % Tc99m	75,15 %	No conforme
23-04-24	Determinación de Mo99	≤ 0,043 µCi de Mo99/mCi de Tc99m	330,59 µCi de Mo99/mCi de Tc99m	No Conforme
23-04-24	Relación radioactiva Mo99/Tc99m		0,63	

Informe de análisis del Na 99mTcO4 en la matriz polimérica

INFORME DE ANÁLISIS

RE052-CC00-PPRR VERSION: 01

N° 128-24

- 1. RE051-CC00-PPRR N°: 12824
- 2. Remitente: TEAN-INDE
- 3. Fecha de recepción de la muestra: 09-04-24

4. DATOS DE LA MUESTRA

a. Identificación: E1-Tc-99m, E2-Tc-99m

b. N° de unidades: 02

c. Tipo de envase: Vidrio borosilicato d. Cantidad: 1 mL c/u Eluato de Tc99m e. Descripción:

5. ANÁLISIS SOLICITADOS:

a Fisicoquímicos:

- i. Aspecto
- ii. pH
- iv. Pureza radioquímica
- v. Determinación de Aluminio (+3)

b. Nucleares:

- i. Identificación radionucleídica
- ii. Pureza radionucleídica
- iii. Determinación de Mo99
- iv. Relación radioactiva Mo99/Tc99m
- v. Otros radionúclidos emisores gamma
- vi. Valoración de radioactividad

6. RESULTADOS:

1. Muestra E1-TC-99m

a. Fisicoguímicos:

ioiooquiiiii				
FECHA	ENSAYO	ESPECIFICACIÓN	RESULTADO	CONDICIÓN
09-04-24	Aspecto	Solución acuosa límpida e incolora	•	Conforme
09-04-24	pH	4,5 a 7,5	6,5	Conforme
09-04-24	Determinación de Al (+3)	≤ 10 ppm	> 20 ppm	No Conforme

b. Nucleares:

Nucleares				
FECHA	ENSAYO	ESPECIFICACIÓN	RESULTADO	CONDICIÓN
09-04-24	Identificación radionucleídica	0,140 ± 0.0025 MeV	0,14044 MeV	Conforme
09-04-24	Pureza radionucleídica	≥ 99,996 % Tc99m	80,94 %	No conforme
09-04-24	Determinación de Mo99	≤ 0,043 µCi de Mo99/mCi de Tc99m	235.41 µCi de Mo99/mCi de Tc99m	No Conforme
09-04-24	Relación radioactiva Mo99/Tc99m		0,48	
09-04-24	Otros radionúclidos emisores gamma	≤ 0,02 µCi/mCi de Tc99m	No detectado	Conforme

Informe de análisis del Na 99mTcO4 en la columna de alúmina ácida

INFORME DE ANÁLISIS

RE052-CC00-PPRR VERSION: 01

2. Muestra E2-TC-99m

a. Fisicoquímicos

FECHA	ENSAYO	ESPECIFICACIÓN	RESULTADO	CONDICIÓN
09-04-24	Aspecto	Solución acuosa límpida e incolora	-	Conforme
09-04-24	pH	4,5 a 7,5	6,0	Conforme
09-04-24	Determinación de Al (+3)	≤ 10 ppm	10 ppm	Conforme

b. Nucleares:

FECHA	ENSAYO	ESPECIFICACIÓN	RESULTADO	CONDICIÓN
09-04-24	Identificación radionucleídica	0,140 ± 0.0025 MeV	0,14038 MeV	Conforme
09-04-24	Pureza radionucleídica	≥ 99,996 % Tc99m	98.90 %	No conforme
09-04-24	Determinación de Mo99	≤ 0,043 µCi de Mo99/mCi de Tc99m	11,11 µCi de Mo99/mCi de Tc99m	No Conforme
09-04-24	Otros radionúclidos emisores gamma	≤ 0,02 µCi/mCi de Tc99m	No detectable	Conforme

7. OBSERVACIONES:

Con respecto a la muestra E1-Tc-99m:

- La radiactividad de la muestra recibida fue de 167,7 µCi/mL de Tc99m Hora: 11:30 h
- No se realizó la Pureza radioquímica por tener radiactividad menor a 1mCi/mL
- La valoración de radioactividad no aplica.

Con respecto a la muestra E2-Tc-99m:

- La radiactividad de la muestra recibida fue de 63,48 µCi/mL de Tc99m
- No se realizó la Pureza radioquímica por tener radiactividad menor a 1mCi/mL
- La valoración de radioactividad no aplica.
- La relación radioactiva Mo99/Tc99m no aplica

RECOMENDACIÓN: Para la determinación de Pureza Radioquímica, se requiere contar con una muestra cuya concentración de radiactividad sea ≥ de 1mCi/mL.

8. FECHA: 10-03-24

Jefe del Doto.

Nombre y firma Jefe del Dpto. de Control de Calidad

Q.F Eleazar Aliaga Rojos C Q.F.P. Nº 16120

> Nombre y firma Persona que recibe el informe

Informe de análisis del Na 99mTcO4 con mayor radiactividad

6. RESULTADOS:

1. Muestra E3-TC-99m

a. Fisicoquímicos:

FECHA	ENSAYO	ESPECIFICACIÓN	RESULTADO	CONDICIÓN
10-04-24	Aspecto	Solución acuosa límpida e incolora		Conforme
10-04-24	pH	4,5 a 7,5	6,5	Conforme
10-04-24	Determinación de Al(+3)	≤ 10 ppm	>>> 20ppm	No conforme
10-04-24	Pureza radioquímica	. ≥ 95 %	83,21 ± 2.45%	No conforme

b. Nucleares:

FECHA	ENSAYO	ESPECIFICACIÓN	RESULTADO	CONDICIÓN
10-04-24	Identificación radionucleídica	0,140 ± 0.0025 MeV	0,14046 MeV	Conforme
10-04-24	Pureza radionucleídica	≥ 99,996 % Tc99m	69.34 %	No conforme
10-04-24	Determinación de Mo99	≤ 0,043 µCi de Mo99/mCi de Tc99m	442,18 µCi de Mo99/mCi de Tc99m	No Conforme
10-04-24	Relación radioactiva Mo99/Tc99m	*****	0,80	*******
10-04-24	Otros radionúclidos emisores gamma	≤ 0,02 µCi/mCi de Tc99m	0,004 µCi de Nb92m /mCi de Tc99m	Conforme

7. OBSERVACIONES:

Con respecto a la muestra E3-Tc-99m:

La radiactividad de la muestra recibida fue de 2,43 mCi/mL de Tc99m Hora: 11:00 h

Artículo publicado en la revista Results in Chemistry

Results in Chemistry 12 (2024) 101858



Contents lists available at ScienceDirect

Results in Chemistry

journal homepage: www.sciencedirect.com/journal/results-in-chemistry



Chitosan extracted from the feather of Dosidicus gigas crosslinked with glutaraldehyde for use as a 99Mo adsorbent



Erika Bardales-Abanto a, Erick Zevallos-Mendoza , Victor Poma Llantoy , Anais Adauto , Ana Cecilia Valderrama Negrón a,*, Pablo Mendoza b, Joshelyn Paredes-Zavala

ARTICLE INFO

Keywords: Biopolymer Adsorption 99MoO4 ion Sould feather

ABSTRACT

The production of Technetium-99 m (99mTc) is important for cancer diagnosis. The solvent extraction is the most widely used method to obtain 93mTc; however, due to the evaporation of the polluting solvent into the envi-ronment, a radiochemical separation using a chromatographic column system based on adsorbent materials would be cleaner and more efficient.

In this study, squid feather (Dosidicus gigas) chitosan (SPC) polymers have been synthesized and crosslinked with glutaraldehyde solutions at concentrations of 50, 40 and 25 % to study the adsorption of ⁹⁹Mo with the aim of test a promising material to produce ^{99m}Tc in the chromatographic column of the ⁹⁹Mo/^{90m}Tc generator. Likewise, the same methodology of synthesis was performed using a commercial chitosan (CC) as a control. Deacetylation degree was measured obtaining 74.15 % and 77.65 % for the SFC and CC polymers, respectively. The molecular weight obtained was 990.72 kDa for SFC and 722.72 kDa for CC and the characterization of the biopolymers was performed with FTIR, SEM, XRD, TGA y FT Raman techniques. Equilibrium time, adsorbent mass and pH effect were evaluated as factors that influence the adsorption process of 99MoO₄². The zero load point (pH_{PZC}) analysis confirmed the positive charge of the crosslinked polymers, improving the adsorption capacity of $^{69}MoO_4^2$ at low pH values between 2 and 4, following a pseudo-first order model. With respect to the adsorption isotherms, they exhibit maximum values of 99MoO4 of 482 mg g 1 SFCG40 and 502 mg g 1 CCG25 with a better fit to the Langmuir theoretical model.

Introduction

99mTc is the most used radioisotope in nuclear medicine for diagnostic purposes due to its nuclear and chemical characteristics which allow the synthesis of a variety of radiopharmaceuticals for application in clinical imaging procedures in various organs and tissues of interest

[1,2].

90mTc is produced in nuclear research reactors, such as the RACSO nuclear center at the Peruvian Institute of Nuclear Energy (IPEN), where through neutron activation reaction ^{98}Mo (n, $\gamma)$ ^{99}Mo , ^{99m}Tc is generated by negative beta decay. Although the specific activity of ⁹⁹Mo achieved is relatively low, the ^{99m}Tc activity obtained partially covers the demand

of the medical centers in the city of Lima, while at the regional level, the demand of $^{99\text{m}}\text{Tc}$ is covered by imported $^{99}\text{Mo}/^{99\text{m}}\text{Tc}$ generators. To improve the availability of $^{99\text{m}}\text{Tc}$, an automatic prototype for $^{99\text{m}}\text{Tc}$ production was developed using liquid-liquid extraction as a separation method of 99 Mo/ 99m Tc using methyl ethyl ketone (MEK) as a solvent. However, as part of the process, the evaporation of MEK is required, generating volatile chemical residues. Therefore, an alternative solution to these limitations is to change the separation method to column chromatography using a matrix with higher adsorption capacity [3]. There is a wide range of adsorbents, from the use of mesoporous alumina [4] to zirconium MOFs (metal-organic framework) compounds, known as UIO-66 [3.5].

E-mail addresses: erika.bardales.a@uni.pe (E. Bardales-Abanto), erick.zevallos.m@uni.pe (E. Zevallos-Mendoza), vpoma@ipen.gob.pe (V.P. Llantoy), a en.gob.pe (A. Adauto), ana.valderrama.n@uni.edu.pe (A.C. Valderrama Negrón), pmendoza@ipen.gob.pe (P. Mendoza), jparedesz@ucsm.edu.pe (J. Paredes-Zavala).

Received 15 August 2024; Accepted 10 October 2024 Available online 22 October 2024

2211-7156/© 2024 The Author(s). Published by Elsevier B.V. This is an open access article under the CC BY-NC license (http://creativecommons.org/licenses/by-

^a Faculty of Sciences, National University of Engineering, Av. Tupac Amaru 210, Rimac, Lima, Peru
^b Laboratory of Analytical Techniques. Peruvian Institute of Nuclear Energy. Oscar Miró Quesada de la Guerra Nuclear Center, Av. José Saco Km. 13, Carabayllo, Lima,

^c Faculty of Pharmaceutical, Biochemical and Biotechnological Sciences, Catholic University of Santa María, Urb. San José, San José s/n, Yanahuara, Arequipa, Peru

^{*} Corresponding author.

Presentación de poster en el Congreso SILAE realizado en Octubre del 2023







XXX Peruvian Congress of Chemistry XXX Italian-Latin American Congress of Ethnomedicine October 16th-20th, 2023, Lima, Peru "Breaking Barriers in Sciences"

07, September, 2023

ACCEPTANCE LETTER

Dears Erika Julisa Bardales Abanto, Ana Cecilia Valderrama Negrón, Victor Raúl Poma Llantoy

Your abstract entitled: Separación selectiva de 99Mo utilizando una matriz de quitosano modificado con glutaraldehído en columna cromatográfica

WAS ACCEPTED

as a presentation at the XXX Peruvian Congress of Chemistry and XXX Italian-Latin American Congress of Ethnomedicine that will be held in Lima (Peru) on October 16th-20th, 2023

Prof. Luca Rastrelli SILAE General Secretary and Scientific International Committee

Sur Refl

Presentación oral en el Congreso Internacional de Energía Nuclear (CIEN) realizado en Enero del 2025.



"Decenio de la Igualdad de Oportunidades para Mujeres y Hombres" "Año del Bicentenario, de la consolidación de nuestra Independencia y de la conmemoración delas heroicas batallas de Junín y Ayacucho"



Con fecha 26 de diciembre 2024, el Comité Editor del Congreso Internacional de Energía Nuclear da la conformidad para su presentación oral del trabajo adjunto luego de concluir con la revisión por pares respectiva. Se agradece a los autores.

Aplicación de polímeros de quitosano (extraído de pluma de *Dosidicus gigas*) entrecruzado con glutaraldehído como potencial adsorbente de ⁹⁹Mo: Aprovechamiento en economía circular

Bardales-Abanto, E.1, Poma, V.2

¹ Laboratorio de Investigación de Biopolímeros y Metalofármacos, Escuela Profesional de Química, Universidad Nacional de Ingeniería.

² Laboratorio de Técnicas Analíticas de la Dirección de Investigación y Desarrollo, Centro Nuclear Óscar Miró Quesada – Racso (IPEN).

erika.bardales.a@uni.pe

Código ORCID: https://orcid.org/0000-0001-7541-5225.

Resumen

Introducción: El tecnecio 99 metaestable (99m/Tc), el radioisótopo descendiente del Molibdeno 99 (99Mo), es el radioisótopo más utilizado en el diagnóstico de cáncer mediante imágenes de Tomografía Computarizada por Emisión de Fotón Único (SPECT). Usualmente, la separación radioquímica de 99m/Tc se realiza utilizando MEK como solvente; el cual genera residuos químicos volátiles que perjudica el ambiente, sin embargo, un método alternativo para producción de 99mTc es la columna cromatográfica basada en materiales con alta capacidad de adsorción. El quitosano es conocido por su buena capacidad de adsorción y que se puede obtener de fuentes naturales como la pluma de Dosidicus gigas, con la finalidad de aprovechar y otorgar un valor agregado un residuo marino aportando a la economía circular. Objetivo: Evaluar la capacidad de adsorción de 99MoO₄-2 de los polímeros de quitosano de pluma de Dosidicus gigas entrecruzado con glutaraldehído para su aplicación en columna cromatográfica. Metodología: El quitosano se obtuvo de la pluma de Dosidicus gigas (QPC) proveniente del puerto de Pucusana de Lima-Perú, ha sido modificado químicamente con glutaraldehído para emplearlo como material adsorbente de 99MoO4-2. Para ello, se pretende entrecruzar los grupos -NH2 del quitosano con los grupos -CHO del glutaraldehído mediante reacciones de Schiff. Resultados: El QPC fue entrecruzado con glutaraldehído empleando concentraciones de 50 % (QPCG-1), 40 % (QPCG-2), y 25 % (QPCG-3) con sus análogos de quitosano comercial (QC). Las técnicas de caracterización mediante FT-IR, SEM, DRX, TGA, RMN y FT-Raman confirmaron el entrecruzamiento de los polímeros mediante la formación de las bases de Schiff con grados de entrecruzamiento cercanos al 85 %. Durante el proceso de adsorción del 99MoO₄-2 se analizó la influencia de tiempo de contacto y el pH; obteniéndose un porcentaje de remoción de 97 % y 99,8% con los materiales QPCG-2 y QCG-3, respectivamente, evaluado a los 5 min de agitación y a un pH=2. Se observó que la isoterma de Langmuir se ajustó mejor a los datos de adsorción y los procesos de adsorción siguieron la cinética de pseudo-segundo orden. Discusión y conclusiones: El modelo de pseudo segundo orden y Langmuir indican que la etapa que controla la reacción global es la adsorción por quimisorción, interpretándose como los iones 99MoO4-2 interactúan fuertemente en la superficie del polímero con los grupos -NH2 del quitosano en un medio ácido formando una monocapa. Los ensayos empleando columna cromatográfica han evidenciado una adsorción de 99MoO4-2 del 73,04 % para QPCG-2 y 80,58 % para QCG-3 a pH 2, con rendimientos de elución superiores al 80 % en 5 días consecutivos. Adicionalmente, a medida que se incrementa la concentración de actividad del 99MoO4-2 inicial, el polímero se vuelve más sensible

Presentación de poster en el International Atomic Energy Agency (IAEA) realizado en Polonia en Setiembre del 2024, como parte de la difusión de investigación en el IPEN

